

บทที่ 2

ทฤษฎีและงานวิจัยที่เกี่ยวข้อง

2.1 ความสำคัญของการวัดค่าความชื้นไม้

ค่าความชื้นเป็นตัวบ่งชี้ปริมาณน้ำในเนื้อวัสดุซึ่งเป็นตัวแปรที่สำคัญที่ต้องการวัดเพื่อนำไปใช้ประโยชน์ เพราะความชื้นมีผลต่อคุณสมบัติของวัสดุทั้งการยึดหยุ่น ความคงทนต่อสภาพแวดล้อม ในอุตสาหกรรมอาหารความชื้นเป็นตัวแปรสำคัญที่บ่งชี้คุณภาพของผลิตภัณฑ์ ระยะเวลาในการเก็บรักษา ทางการเกษตรความชื้นมีส่วนสำคัญต่อการเก็บรักษาผลผลิต การด้านทานเชื้อราในเมล็ดพืช อัตราการออกของเมล็ดพืชรวมถึงความชื้นในคินก์มีส่วนต่อการเจริญเติบโตของพืชด้วย ทางอุตุนิยมวิทยาการวัดความชื้นของบรรจุภัณฑ์มีความจำเป็นสำหรับการพยากรณ์สภาพภูมิอากาศ และเป็นตัวแปรในการกำหนดสภาพอากาศในแต่ละพื้นที่ ในอุตสาหกรรมป้าไม้ความชื้นเป็นตัวกำหนดคุณสมบัติของไม้ การหาตัวและพองตัวของไม้ ความด้านทานต่อแมลง ความคงทนต่อสภาพแวดล้อม ซึ่งจำเป็นจะต้องทราบความชื้นของไม้ก่อนที่จะนำไปใช้ประโยชน์ ในห้องปฏิบัติการความชื้นเป็นตัวแปรหนึ่งที่จะต้องทำการวัดเพื่อค่าความชื้นจะมีผลต่อการศึกษาคุณสมบัติและใช้ประกอบกับข้อมูลอื่นๆ เพื่อที่จะศึกษาคุณสมบัติ พฤติกรรม การเปลี่ยนแปลง โดยเฉพาะในทางเคมีและชีวิทยา ด้านล่างแสดงเครื่องวัดความชื้นที่ใช้วัดความชื้นในเนื้อไม้



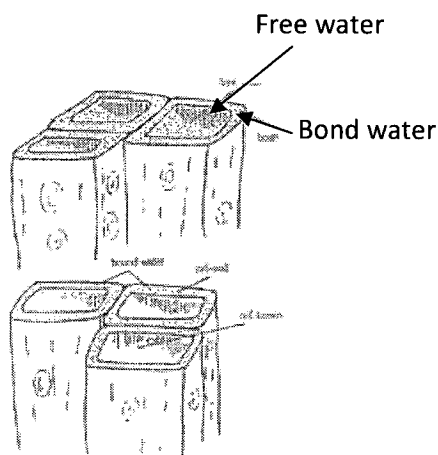
ภาพที่ 2.1 ตัวอย่างเครื่องวัดความชื้นในไม้

2.1.2 คุณสมบัติของไม้ (Wood properties)

การที่จะนำไม้ไปใช้ประโยชน์จะต้องทราบคุณสมบัติของไม้เพื่อจะเลือกใช้ไม้ให้ถูกต้องและมีประสิทธิภาพ เหมาะสมกับงานแต่ละประเภทซึ่งคุณสมบัติของไม้ประกอบด้วย

- ความหนาแน่น (Density) หมายถึงมวลของไนต์อ卜ปริมาตร ค่าโดยปกติค่าความหนาแน่นของไนจัชวัดที่ความชื้นเท่ากับ 12 เปอร์เซ็นต์

- ค่าความถ่วงจำเพาะ (Specific gravity) หมายถึง น้ำหนักอุบแห้งของเนื้อไม้หารด้วยน้ำหนักของน้ำที่มีปริมาตรเท่ากับปริมาตรของไนเมื่ออบแห้งแล้วหรือเมื่อไม่สด มีผลลัพธ์จัดที่ทำให้ไม่มีความหนาแน่นและความถ่วงจำเพาะไม่เท่ากันได้แก่ สภาพภูมิอากาศที่ไม่เจริญเติบโต สภาพภูมิประเทศ ชนิดของไม้ ความชื้น อุณหภูมิ ระยะที่และแก่น อัตราการเจริญเติบโต สารแทรก เป็นต้น ความชื้น (Moisture content) ความชื้นในเนื้อไม้ถือว่าเป็นปัจจัยสำคัญในการนำไปใช้ประโยชน์ความชื้นในเนื้อไม้แบ่งได้เป็น 2 ส่วนคือน้ำที่อยู่ในผนังเซลล์ (Bound water) และน้ำที่อยู่ภายในช่องว่างภายในเซลล์(Free water) การแห้งตัวของไม้จะเริ่มจากน้ำในช่องว่างภายในเซลล์จะลดลงก่อนปริมาณความชื้นในไม้จะที่ผนังเซลล์ยังมีน้ำอึมคืออยู่แต่น้ำที่ช่องว่างภายในเซลล์แห้งหมดแล้วเรียกว่าจุดหมาย (Fiber saturation point ,FSP) ซึ่งเป็นจุดที่สำคัญ เพราะเมื่อน้ำในช่องว่างภายในเซลล์แห้งหมดแล้วน้ำที่มีผลต่อน้ำหนักของไม้แต่น้ำในผนังเซลล์จะมีผลต่อการหดตัวและพองตัวของไม้จุดหมายของไม้จะมีค่าความชื้นอยู่ระหว่าง 20-30 เปอร์เซ็นต์ ด้านล่างแสดงน้ำภายในเซลล์และน้ำที่ผนังเซลล์



ภาพที่ 2.2 น้ำภายในเซลล์และน้ำที่ผนังเซลล์

2.1.3 การพิจารณาค่าความชื้นในไม้

ค่าความชื้นในไม้จะพิจารณาจากปริมาณน้ำในเนื้อไม้ขณะเปรียบเทียบกับปริมาณน้ำในเนื้อไม้ขณะที่แห้งแล้วโดยทั่วไปนิยมวัดน้ำหนักโดยค่าที่วัดได้จะเป็นร้อยละเปรียบเทียบกับน้ำหนักแห้งของ

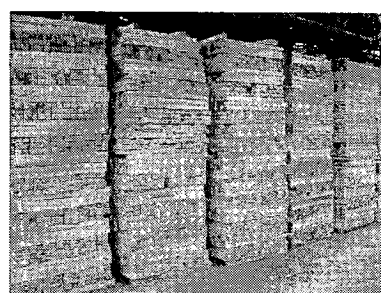
ไม่ปัจจุบันมีเครื่องมือที่สามารถความชี้นของไม้โดยสามารถบอกค่าอกมาเป็นเปอร์เซ็นต์ความชื้นต่อน้ำหนักแห้ง ซึ่งโดยธรรมชาติของไม้แล้วจะมีน้ำอยู่ภายในเซลล์เพื่อหล่อเลี้ยงต้น ไม่ซึ่งน้ำหนักของน้ำภายในเซลล์เหล่านี้อาจมากกว่าน้ำหนักของเซลล์ไม้ หลังจากตัดต้น ไม้มาใช้งาน ไม้จะเริ่มสูญเสียน้ำออกมาจากเซลล์โดยจะมีการขยายตัวของไม้ย่างรวดเร็วในตอนแรกและจะค่อยๆลดอัตราหายน้ำลง ซึ่งหากปล่อยให้ไม้แห้งลงตามธรรมชาติอาจจะต้องใช้เวลามากกว่าจะสามารถนำไปผลิตเป็นผลิตภัณฑ์ได้โดยการหดตัวของไม้จะเริ่มนิ่มเมื่อไม้มีความชื้นประมาณ 25-30 เปอร์เซ็นต์และจะเริ่มหดตัว จนกว่าจะไม่มีความชื้นภายในไม้เลยในทางอุตสาหกรรมจึงนิยมนำไม้มาอบเพื่อลดความชื้นและให้ทนต่อความต้องการในการใช้งาน มีการทำอุตสาหกรรมไม้กันอย่างกว้างขวาง มีผลิตภัณฑ์หลายชนิดที่ทำจากไม้โดยมูลค่าของผลิตภัณฑ์จากไม้พบว่ามีอัตราการเติบโตที่สูงโดยจะสังเกตได้จากข้อมูลทางสถิติ

ลำดับ	สินค้า	2541	2542	2543	2544
1.	เฟอร์นิเจอร์ไม้	17,766.1	21,682.1	27,833.2	20,240.0
2.	ผลิตภัณฑ์ไม้	11,976.4	12,301.6	14,130.5	11,047.8
	2.1 เครื่องใช้ทำด้วยไม้	3,731.8	3,574.3	3,574.3	3,426.7
	2.2 กรอบไม้	207.2	208.0	223.6	153.7
	2.3 รูปแกะสลัก,เครื่องประดับ	136.0	141.3	169.0	205.0
	2.4 อุปกรณ์ก่อสร้างทำด้วยไม้	468.9	691.4	4,851.6	635.7
3.	ไม้และผลิตภัณฑ์ไม้แผ่น	4,513.3	6,880.6	9,294.4	7,525.4
	3.1 ไม้ประรูปเป็นแผ่นหนาเกิน 6 มิลลิเมตร	472.4	1,418.8	2,211.5	1,638.7
	3.2 แผ่นไม้วีเนียร์	471.5	374.1	336.1	289.2
	3.3 ไม้และไม้แผ่นอื่นๆ	1,908.3	3,163.8	4,397.5	3,499.7
	รวม	41,651.9	50,435.7	63,934.2	48,661.9
4.	กระดาษเยื่อกระดาษและผลิตภัณฑ์	16,346.0	15,691.4	17,603.7	14,523.6
	รวม	57,997.9	66,397.1	81,537.9	63,135.5

ตารางที่ 2.1 สถิติการส่งออกอุตสาหกรรมที่ใช้ไม้เป็นวัสดุคิด

2.1.4 อุตสาหกรรมการแปรรูปไม้ (Lumber recovery)

การแปรรูปไม้เป็นการนำไม้มาผ่านกระบวนการเพื่อให้ได้ขนาด คุณสมบัติตามที่ต้องการเพื่อนำไปใช้ประโยชน์ โรงงานแปรรูปไม้จะรับไม้ท่อนเข้าสู่กระบวนการผลิตโดยทำการซั่งน้ำหนักหรือวัดปริมาตรของไม้ก่อน โดยพิจารณาจากไม้ 1 ตันจะมีปริมาตรเท่ากับ 1.30 ลบ.ม. เมื่อไม้เข้าสู่โรงงานจะแปรรูปและนำไม้เข้าอัดน้ำยาและสารเคมีป้องกันแมลงและเชื้อรากโดยใช้น้ำยาพอกบอร์ตหรือโนรอนอัดเข้าเนื้อไม้แบบเต็มเซลล์ก่อนทำการอบไม้ในการอัดน้ำยาจะใช้น้ำยาพอก Timbor , Boric, Borax, Cellbor ใช้เวลาในการอัดน้ำยา 1-2 ชั่วโมงโดยใช้ความดัน 150-200 ปอนต์ต่อตารางนิว หลังจากผ่านการอบน้ำยา มาแล้วจะนำไม้เข้าเตาอบซึ่งส่วนใหญ่จะเป็นเตาอบแบบไอน้ำโดยจะอบไม้ให้ความชื้น 8-12 เปอร์เซ็นต์เวลาในการอบประมาณ 7-15 วันซึ่งจะขึ้นกับความหนา ขนาดเตาและความชื้นของไม้ก่อนเข้าเตาอบ ขณะทำการอบจะมีการวัดความชื้นของไม้ด้วยหลังจากผ่านกระบวนการอบและรักษาเนื้อไม้แล้วจะถูกใส่พิวน้ำให้เรียบก่อนการนำไปผลิตเป็นเฟอร์นิเจอร์จำเป็นที่จะต้องมีการตรวจสอบคุณภาพไม้เพื่อทดสอบประสิทธิภาพของการอัดน้ำยาเคมีเข้าไปในเนื้อไม้ให้ได้ปริมาณตามมาตรฐานและเพียงพอในการป้องกันเชื้อรากและแมลงทำลายเนื้อไม้ในการทดสอบจะทดสอบสารเคมี Chrome Azurol S powder, Anhydrous ,Sodium Acetate และน้ำกลั่นบริสุทธิ์ลายให้เข้ากันจากนั้นจะทำการใส่พิวน้ำไม้ที่จะทำการทดสอบแล้วใช้น้ำยาเคมีทาตรงบริเวณพิวน้ำไม้ที่ใส่จากนั้นทิ้งไว้แล้วสังเกตสีที่เปลี่ยนแปลงค่าความเข้มของสีจะเป็นตัวบ่งบอกถึงปริมาณน้ำยาเคมีที่เราอัดเข้าไปในเนื้อไม้ยิ่งความเข้มมากแสดงว่า�้ำยาเคมีที่เราอัดซึ่มเข้าไปในเนื้อไม้ได้ดีหลังจากผ่านกระบวนการอบแห้งและวัดความชื้นแล้วไม้ก็จะถูกนำไปใช้งานเพื่อสร้างเป็นผลิตภัณฑ์ เช่น เฟอร์นิเจอร์ ผลิตภัณฑ์ไม้ เช่นกรอบรูป เครื่องใช้ ไม้แผ่น ของเล่นเด็ก เชือเพลิง เยื่อกระดาษ ฯลฯ



ภาพที่ 2.3 อุตสาหกรรมการแปรรูปไม้

2.1.5 ผลของค่าความชื้นต่อกลุ่มสมบัติของไม้

- กลุ่มสมบัติของไม้จะเพิ่มขึ้นเมื่อความชื้นของไม้ลดลง กลุ่มบัติได้แก่ ค่าความแข็ง ความถ่วงจำเพาะ ความหนืดจาก การตัด ด้านล่างแสดงค่ากลุ่มสมบัติของไม้แต่ละชนิด

	ชนิดของไม้	ความชื้น (%)	ความถ่วงจำเพาะ	ความแข็งแรง			ความตื้อ x100	ความหนืดจากการเคาะ	ความแข็ง กก.	
				การตัด	การบีบ	การเชือด				
1.	ตะเคียนทอง	(Hopea odorata Roxb.)	12	0.80	1,172	520	148	1,202	4.70	649
2.	พนอง	(Shorea hypochra Hance)	14	0.59	940	489	138	1,026	2.90	443
3.	ยาง	(Dipterocarpus sp.)	13	0.70	888	394	164	902	2.14	470
4.	สยาชา	(Shorea Leprosula Miq.)	12	0.51	846	428	106	992	4.02	336
5.	สยาแดง	(Shorea curtisii Dyer)	11.8	0.41	817	429	74	668	1.71	222
6.	ตะเคียนขาว	(Hopea minutiflora Fisch.)	10.2	0.62	958	513	159	922	1.55	474
7.	ยางเสียน	(Dipterocarpus costatus)	12	0.83	1,440	661	177	1,333	4.03	772
8.	พันจ่า	(Vatica cinerea King)	12	1.06	1,960	866	258	1,853	4.92	1270
9.	หลง	(Dipterocarpus tuberculatus Roxb.)	12	0.86	1,297	552	152	1,319	3.34	734
10.	รัง	(Pentaclea suavis A.DC.)	12	1.00	1,352	621	126	1,431	3.42	755
11.	เตียง	(Dipterocarpus obtusifolius Teijsm.)	12	0.90	1,200	580	131	1,355	3.00	716
12.	แองก	(Shorea glauca King)	13	0.78	1,497	532	151	1,370	4.80	723
13.	ตะเคียนทราย	(Shorea gratissima Dyer.)	12.4	0.76	1,243	560	-	1,243	3.46	744
14.	ยุง	(Dipterocarpus grandiflorus Bl.)	13	0.76	1,150	490	176	1,120	2.88	555
15.	ขันผู้	(Hopea recopae Pierre)	47.4	1.23	1,226	518	133	1,260	5.47	586
16.	หงอนไก่หลังขาว	(Hopea helferi Brandis)	20.3	0.97	1,162	526	205	1,200	6.74	787
17.	กะบาก	(Anisoptera oblonga Dyer)	12	0.60	656	384	96	1,061	3.57	336
18.	ไนเปี้ยนา	(Parashorea stellata Kurz)	12	0.54	909	459	105	1,136	1.98	382

19.	เดียง	(Cotylelobium lanceolatum Craib)	12	0.91	1,489	707	196	1,489	4.01	992
20.	เดียงคนอง	(Shorea sericeiflora Fisch & Hutch.)	12	0.72	1,438	602	158	1,434	4.02	683
21.	ขัน	(Shorea thorelii Pierre)	12	0.84	1,341	630	149	1,623	4.37	687
22.	ตะเคียนขัน ตามา	(Balanocarpus heimii King)	12	0.90	1,753	760	180	1,784	4.34	830
23.	ตะเคียนราก	(Hopea avellanea Heim)	12	0.70	1,166	584	186	1,296	3.13	646
24.	ตะเคียนพิน	(Hopea ferrea Pierre)	12	0.98	1,609	679	191	1,650	3.25	1142
25.	เต็ง	(Shorea obtusa Wall.)	12	1.05	1,732	723	143	1,751	6.10	964
26.	พะยอม	(Shorea talura Roxb.)	9.74	0.84	1,170	682	193	1,581	3.76	667

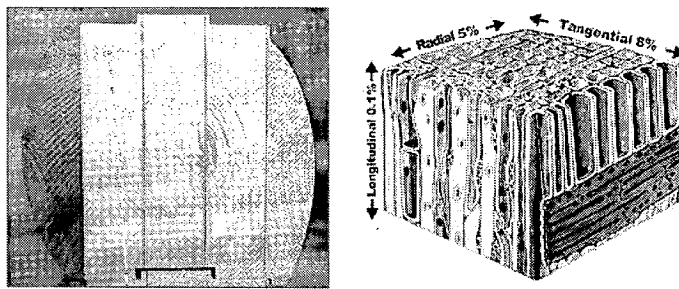
ตารางที่ 2.2 ค่ากลสมบัติของไม้แต่ละชนิด

- ความทนทานต่อแมลงและเห็ดราจะมีค่าเพิ่มขึ้นเมื่อความชื้นลดลงโดยทั่วไปไม้ที่มีความชื้นน้อยจะมีความทนทานต่อสภาพแวดล้อมดีกว่าไม้ที่ชื้นมากแมลงจะเข้าทำลายไม้ได้ยาก เพราะไม้มีความแข็งเพิ่มขึ้นอีกประการหนึ่งเมื่อไม้มีความชื้นน้อยจะทำให้สภาพของไม้ไม่เหมาะสมสำหรับการเจริญเติบโตของเห็ดการทำให้เกิดราได้ยากขึ้น

- ค่าการติดกาวจะดีขึ้น เมื่อค่าความชื้นของไม้ลดลงเนื่องจากกาวส่วนใหญ่ที่ใช้เป็นกาวที่อาศัยการแพร่กระจายไปบนผิวของไม้ก็ต้องทำการติดกาวจะเกิดขึ้นจากการระเหยหรือสูญเสียตัวทำละลายออกจากแนวกาว ดังนั้นเมื่อไม้มีความชื้นสูงจะต้องใช้เวลาในการติดกาวนานเพร lange น้ำในแนวกาวจะถูกดูดซึมเข้าสู่เนื้อไม้ได้ช้าลงและทำให้เนื้อกาวในแนวกาวเข้าสู่เนื้อไม้มากขึ้นทำให้เนื้อกาวในแนวกาวมีน้อยเกิดรอยต่อไม่แน่น

- การหดตัวและพองตัวเมื่อไม้มีการสูญเสียน้ำจากผนังเซลล์จะทำให้ไมหดตัว ในทางตรงกันข้ามเมื่อไม้มีปริมาณน้ำในผนังเซลล์เพิ่มขึ้นในระดับที่ต่ำกว่าจุดหมายไม้ก็จะเกิดการพองตัวการหดตัวและพองตัวของจะเกิดขึ้นจากการเปลี่ยนแปลงความชื้นของเนื้อไม้ในช่วงที่ต่ำกว่าจุดหมาย การหาค่าการหดตัวและพองตัวของเนื้อไม้หาได้จาก

$$\text{การหดตัว , การพองตัว (เปอร์เซ็นต์) = } \frac{\text{ขนาดหรือปริมาตรที่เปลี่ยนแปลง}}{\text{ขนาดหรือปริมาตรที่เริ่มต้น}} \times 100$$



ภาพที่ 2.4 การหดตัวและพองตัวของไม้ค้านต่างๆ

การหดตัวเฉลี่ยของไม้ของไม้แต่ละชนิดตั้งแต่ไม้ส่วนนึง ไม่ทิ่อมแห้งจะพิจารณาการหดตัว 3 ด้าน คือ การหดตัวตามรัศมี การหดตัวตามเส้นสัมผัสอัตราส่วนของการหดตัวทั้ง 2 แนว ตารางที่ 3 แสดงข้อมูลการหดตัวของไม้

Wood Species	% Radial Shrinkage	% Tangential Shrinkage	Tangential/Radial
Alder, Red	4.4	7.3	1.7
Ash, Black	5.0	7.8	1.6
Ash, Blue	3.9	6.5	1.7
Ash, Green	4.6	7.1	1.5
Ash, Oregon	4.1	8.1	2.0
Ash, White	4.9	7.8	1.6
Aspen, Bigtooth	3.3	7.9	2.4
Aspen, Quaking	3.5	6.7	1.9
Basswood	6.6	9.3	1.4
Beech, American	5.5	11.9	2.2

ตารางที่ 2.3 ตัวอย่างการหดตัวเฉลี่ยของไม้แต่ละชนิด

- ค่าความชื้นสมดุล เมื่อไม้ถูกปล่อยให้อยู่ในสภาพของอากาศไม้ก็จะปรับตัวให้ความชื้นมีค่าสมดุลกับความชื้นในบรรยากาศปริมาณนี้เป็นความชื้นสมดุลในการที่จะลดการเปลี่ยนแปลงความชื้นของเนื้อไม้ให้น้อยที่สุดซึ่งจะทำให้ลดการเปลี่ยนแปลงขนาดของไม้ที่เกิดขึ้นเนื่องจากการหดตัวและพองตัวของไม้

จึงต้องพิจารณาความชื้นสมดุลประกอบกันด้วย โดยประเทศไทยจะมีความชื้นสมดุลอยู่ในช่วง 8-12 เปอร์เซ็นต์ในการเลือกใช้ไม้กับงานในสภาพพื้นที่ที่แตกต่างกันนั้นจะมีการพิจารณาค่าความชื้นของไม้ประกอบกันด้วย ดังข้อมูลที่แสดงค่าความชื้นของไม้ที่ใช้งานเพอร์เซ็นต์ในแต่ละสถานที่ เช่น บริเวณภายนอกอาคารค่าความชื้นโดยเฉลี่ยจะอยู่ที่ 16-20 เปอร์เซ็นต์ ภายในอาคารจะอยู่ที่ 12-15 เปอร์เซ็นต์ และในพื้นที่อากาศแห้งแล้งความชื้นจะลดลง 11-12 เปอร์เซ็นต์ค่าความชื้นจะต้องไม่เกินค่าที่กำหนดเกินกว่า 4 เปอร์เซ็นต์

2.1.6 การหาค่าความชื้นของเนื้อไม้

สามารถหาได้ 2 วิธี คือ

- การอบแห้ง (Overdry Method) ทำโดยการนำไม้มาซึ่งน้ำหนักก่อนแล้วบันทึกค่าไว้จากนั้นก็จะนำไปอบแห้งแล้วนำออกมาซึ่งน้ำหนักอีกรังสีเพื่อเปรียบเทียบแล้วนำผลที่ได้ไปคำนวณหาค่าความชื้น

$$MC = \left(\frac{W_m - W_0}{W_0} \right) \times 100$$

เมื่อ MC คือ ปริมาณความชื้นมีหน่วยเป็นเปอร์เซ็นต์

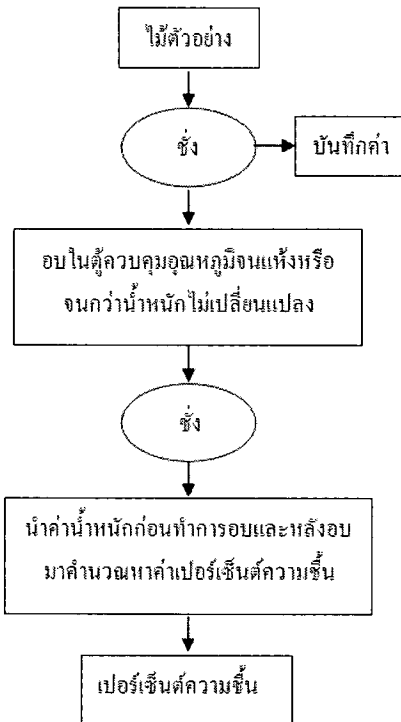
W_m คือ น้ำหนักของไม้ที่มีความชื้น

W_0 คือ น้ำหนักแห้งของไม้

- การใช้เครื่องวัดความชื้น เครื่องวัดความชื้นมีหลายแบบทั้งแบบที่มีชี้วัดบน 2 อันสำหรับกล่องไปในเนื้อไม้ และแบบที่ต้องสัมผัสกับผิวไม้ แบบที่ไม่ต้องสัมผัสผิว เป็นต้น

2.1.7 หลักการของเครื่องวัดค่าความชื้นในไม้

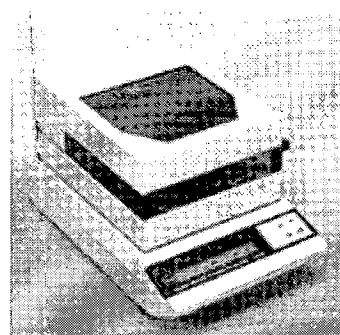
การวัดค่าความชื้นทางตรงจะอาศัยการอบแล้วพิจารณาค่าน้ำหนักก่อนอบและหลังอบเพื่อนำมาใช้คำนวณหาเปอร์เซ็นต์ความชื้น เนื่องจากความชื้นเป็นปริมาณน้ำหนักของน้ำต่อหน้าหนักของไม้ ทั้งหมดการวัดค่าความชื้นสามารถทำได้ดังนี้



ภาพที่ 2.5 ขั้นตอนการหาค่าความชื้นโดยการอบแห้ง

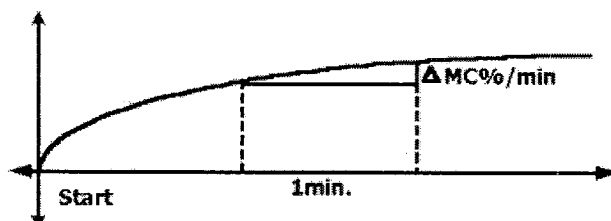
ตัวเครื่องวัดความชื้นแบบโดยตรงนี้จะออกแบบให้สามารถวัดค่าและความคุณปัจจัยที่เกี่ยวข้องได้โดยจะประกอบด้วย

1. เครื่องซึ่งละเอียด
2. อุปกรณ์ให้ความร้อนที่สามารถควบคุมอุณหภูมิให้คงที่ได้
3. วงจรอิเล็กทรอนิกส์ที่ทำหน้าที่ควบคุมอุณหภูมิ ตั้งเวลา ประมวลผลการทำงาน แสดงค่าความชื้นและอุณหภูมิขณะเครื่องวัดค่า



ภาพที่ 2.6 เครื่องวัดความชื้นโดยตรง

กระบวนการทำงานเมื่อใส่ตัวอย่างที่บดละเอียดแล้วลงไปในตัวเครื่องจะทำการซั่งน้ำหนักแล้วระบบประมวลผลจะทำการบันทึกค่าน้ำหนักเริ่มต้นไว้จากนั้นวงจรควบคุมจะเริ่มให้ความร้อนอุปกรณ์ให้ความร้อนนี้ได้แก่ หลอดอินฟราเรด หลอดชาโลเจนหรือคลื่นไมโครเวฟ การเพิ่มอุณหภูมนี้สามารถกำหนดได้หลายแบบทั้งแบบที่เพิ่มอุณหภูมิให้ถึงค่าที่กำหนดแบบรวดเร็วและแบบที่ค่อยๆ เพิ่มอุณหภูมิจนกว่าจะถึงจุดที่กำหนด หรือเพิ่มความร้อนขึ้นเป็นแบบขั้นบันได เมื่อเริ่มให้ความร้อนกับตัวอย่างน้ำหนักของตัวอย่างจะเริ่มลดลงตลอดเวลาส่วนประมวลผลจะทำการเก็บค่าน้ำหนักที่ลดลงเปรียบเทียบกับน้ำหนักที่ซั่งได้ในตอนแรกและคิดคำนวณอุกมาเป็นค่าความชื้นต่อเวลา เมื่อเวลาเพิ่มขึ้นค่าความชื้นที่วัดได้จะมีค่าเพิ่มขึ้นในช่วงแรกอัตราการเพิ่มขึ้นของเปอร์เซ็นต์ความชื้นจะมีอัตราเพิ่มขึ้นอย่างรวดเร็วเมื่อตัวอย่างเริ่มแห้งอัตราการเพิ่มขึ้นของเปอร์เซ็นต์ความชื้นจะเพิ่มขึ้นช้าลงและคงที่ในที่สุดเมื่อตัวอย่างแห้งสนิท ตัวเครื่องสามารถเลือกฟังก์ชันการทำงานให้หยุดทำงานเมื่อค่าเปอร์เซ็นต์ความชื้นเปลี่ยนแปลงน้อยกว่าค่าที่กำหนดเพื่อลดระยะเวลาในการทดสอบ



ภาพที่ 2.7 ค่าเปอร์เซ็นต์ความชื้นเมื่อเวลาเพิ่มขึ้น

ข้อดีของเครื่องวัดความชื้นแบบวัดได้โดยตรง

1. ใช้เวลาในการทดสอบน้อย
2. สามารถวัดค่าเปอร์เซ็นต์ความชื้นได้สะดวก
3. ใช้พลังงานน้อย

ข้อเสีย

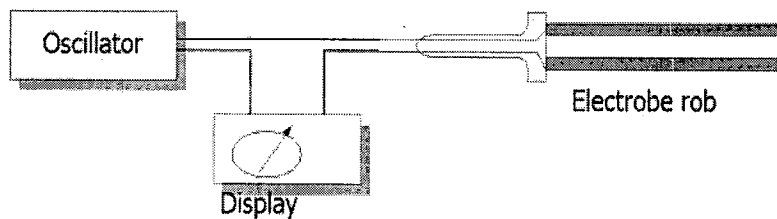
1. สามารถทดสอบตัวอย่างได้เพียงครั้งละตัวอย่างเท่านั้น

2. ตัวอย่างที่จะใช้ทดสอบต้องทำการบดก่อนเข้าเครื่อง
3. การใช้งานจะต้องระมัดระวังเนื่องจากมีส่วนประกอบของเครื่องซึ่งละเอียดรวมอยู่ด้วย
4. มีราคาแพง

2.1.8 การวัดค่าความชื้นโดยอ้อม

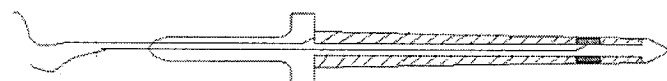
- การวัดค่าความชื้นโดยใช้หลักการค่าความนำไฟฟ้า ประกอบด้วยวงจรกำเนิดความถี่ที่มีค่าความถี่และแรงดันไฟฟ้าคงที่ ป้อนให้กับขั้วโลหะ 2 ขั้วที่มีระยะห่างคงที่ เมื่อนำขั้วโลหะทั้งสองมาสัมผัสกับไม้สัมภูณ์ไฟฟ้าจะไหพล่านไม่ได้มากถ้ามีความชื้นมาก จะนำไฟฟ้าได้ดี ถ้ามีความชื้นน้อยกระแสไฟฟ้าจะไหพล่านได้น้อยลง ปริมาณของกระแสหรือแรงดันไฟฟ้าจะแปรผันโดยตรงกับค่าความชื้นของไม้จะนำค่าแรงดันหรือกระแสไฟฟ้านี้มาทดสอบปรับเทียบเป็นค่าเปอร์เซ็นต์ความชื้น ได้เครื่องแบบนี้จะแบ่งตามชนิดของข้าวอิเล็กโทรดได้ 3 แบบคือ

1. แบบแท่งอิเล็กโทรดแยกกัน ขั้วไฟฟ้าทั้งสองจะเป็นแท่งโลหะไร้สนิมยาวประมาณ 30 เซนติเมตร วางห่างกันประมาณ 2 - 3 เซนติเมตร มีด้ามจับทำด้วยฉนวนไฟฟ้า เวลาใช้จะแทงหรือเสียบแท่งอิเล็กโทรดทั้งสองเข้าไปในเนื้อวัสดุตัวอย่างที่ต้องการวัด



ภาพที่ 2.8 ส่วนประกอบเครื่องวัดความชื้นแบบอิเล็กโทรดแยก

2. แบบแท่งอิเล็กโทรดร่วม ใช้งานเหมือนแบบ แท่งอิเล็กโทรดแยกแต่มีข้อเสียกว่าคือแท่งจะโตกว่าเสียงเข้าไปในวัสดุตัวอย่างที่จะทดสอบยากและเกิดรูใหญ่กว่า



ภาพที่ 2.9 ส่วนประกอบเครื่องวัดความชื้นแบบอิเล็กโทรดร่วม

3. แบบวัดค่าความชื้นของไม้โดยอาศัยหลักการค่าไดอิเล็กทริกของสาร

เมื่อนำแผ่นโลหะ 2 แผ่นมาวางใกล้กัน จะทำให้เกิดเป็นอุปกรณ์ไฟฟ้าที่เรียกว่าตัวเก็บประจุ เมื่อนำแบตเตอรี่มาแตะที่แผ่นโลหะทั้งสองประจุไฟฟ้าจากแบตเตอรี่จะมาสะสมที่แผ่นโลหะและเมื่อเอาแบตเตอรี่ออกไป แผ่นโลหะทั้งสองก็ยังมีประจุไฟฟ้าสะสมอยู่ แผ่นโลหะทั้งสองที่วางใกล้กันนี้จึงกลายเป็นอุปกรณ์ไฟฟ้าที่เราเรียกว่าตัวเก็บประจุ ความสามารถในการเก็บประจุไฟฟ้าของแผ่นโลหะทั้งสอง จะได้มากหรือน้อยขึ้นอยู่กับขนาดของแผ่นโลหะ ระยะห่างระหว่างแผ่นโลหะและค่าไดอิเล็กทริกของโลหะทั้งสอง

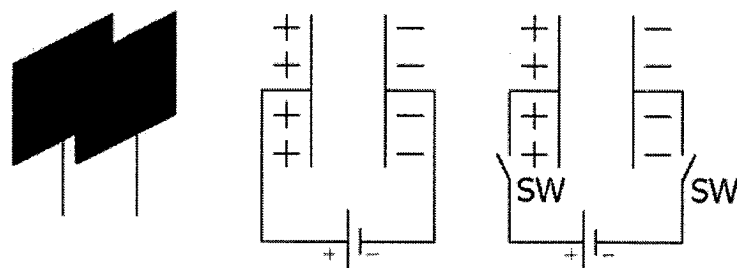
$$C = \epsilon_0 \frac{A}{d}$$

เมื่อ C คือค่าความจุไฟฟ้า

ϵ_0 คือค่าไดอิเล็กทริกอากาศ

A คือพื้นที่หน้าตัดของแผ่นโลหะ

d คือระยะห่างระหว่างแผ่นโลหะ



ภาพที่ 2.10 แบบโครงสร้างหัวโพรบวัดค่าไดอิเล็กทริก

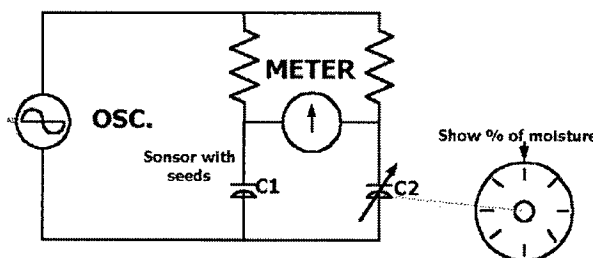
เมื่อเรานำตัวอย่างที่จะทดสอบใส่ลงระหว่างแผ่นโลหะทั้งสอง จะได้ตัวเก็บประจุที่มีตัวอย่างที่จะทดสอบเป็นไดอิเล็กทริกแทนที่อากาศและเราพบว่าถ้า ตัวอย่างมีความชื้นมากค่าไดอิเล็กทริกจะเพิ่มขึ้นหรือค่าความจุของตัวเก็บประจุจะเพิ่มขึ้น จากหลักการนี้ เราสามารถนำมาออกแบบเป็นเครื่องมือวัดความชื้นได้

ส่วนประกอบของเครื่องจะประกอบด้วย

1. วงจรกำเนิดความถี่สูง

2. ขั้วโลหะที่เป็นแผ่นตัวนำไฟฟ้า

3. ส่วนวงจรอิเล็กทรอนิกส์เพื่อการแสดงผล



ภาพที่ 2.11 ตัวอย่างวงจรเครื่องวัดความชื้นอย่างง่าย

C1 คือตัวเก็บประจุที่จะเกิดจากการนำเอาตัวอย่างที่จะทดสอบวางไว้ระหว่างแผ่นเพลทตัวนำทั้งสองค่าของตัวเก็บประจุจะเปลี่ยนตรงกับค่าความชื้นในวัสดุ C2 คือตัวเก็บประจุอีกด้วยหนึ่งที่ปรับเพิ่มค่าความชื้นไฟฟ้าหรือลดค่าความชื้นไฟฟ้าได้ ใช้สำหรับเปรียบเทียบค่าความชื้นไฟฟ้ากับ C1 ถ้า C1 และ C2 มีค่าความชื้นไฟฟ้าเท่ากันเข้มข่อง มิเตอร์จะชี้อยู่ตรงกลาง แต่ถ้าค่าความชื้นไฟฟ้าของตัวเก็บประจุ C1 จะเพิ่มหรือลดตามความชื้นของตัวอย่างทดสอบเข้มมิเตอร์จะไม่ชี้ตรงกลางเราจะปรับค่าความชื้นของตัวเก็บประจุ C2 ให้มีค่าเพิ่ม หรือลดเท่ากับตัวเก็บประจุ C1 เมื่อค่าความชื้นไฟฟ้าเท่ากันเข้มมิเตอร์จะชี้ตรงกลางเหมือนเดิมที่แกนหมุนของตัวเก็บประจุ C2 จะต่อ กับ หน้าปัดแสดงตัวเลขปรับเทียบแสดงค่าเป็นความชื้นเมล็ดพืชได้ เครื่องวัดความชื้นแบบตัวเก็บประจุนี้ มีข้อดีตรงที่ว่าสามารถวัดความชื้นได้รวดเร็ว ตัวอย่างทดสอบไม่เสียหาย

2.1.9 ผลกระทบของอุณหภูมิที่มีผลต่อความแม่นยำในการวัดความชื้น

เนื่องจากเครื่องที่วัดหาค่าปริมาณความชื้นของตัวอย่างทดสอบได้โดยอ้อมนั้นมากใช้การวัดคุณสมบัติทางไฟฟ้าของตัวอย่างทดสอบนั้นๆ มาเทียบกับค่าความชื้นที่ควรวัดได้ โดยปกติแล้วคุณสมบัติทางไฟฟ้าของตัวอย่างทดสอบนั้นจะเปลี่ยนไปตาม อุณหภูมิที่เปลี่ยนไป ไม่ว่าจะอาศัยคุณสมบัติทาง

ไฟฟ้าเดาตัวอย่างนั้นก็ตาม เช่น ถ้าอุณหภูมิของตัวอย่างสูงขึ้นจะทำให้ตัวอย่างนั้นมีความนำไฟฟ้าสูงขึ้น หรือมี ความต้านทานต่ำลง และมีค่าไดอิเล็กตริกสูงขึ้น เช่น กัน ดังนั้นเครื่องวัดความชื้นที่คิดจะต้องมีส่วนที่ทำหน้าที่ดูซึ่งค่าความชื้นที่ อ่าน ได้อันเนื่องจากอุณหภูมิที่เปลี่ยนไปด้วย

2.2 กฎภูมิสิ่งสนานาไฟฟ้า

2.2.1 สมการกฎของคูลомн์

พื้นฐานทางด้านไฟฟ้าและจากการวิเคราะห์เควเตอร์เพื่อการวิเคราะห์และอธิบายปรากฏการณ์ทางไฟฟ้าจากทฤษฎีของสنانาไฟฟ้าสถิตย์ที่อยู่ภายใต้ในที่ว่างอิสระสนาสเหล่านี้สามารถพบได้ในธรรมชาติซึ่งสามารถนำเอาไปประยุกต์ใช้ประโยชน์กับอาชีวะและบรรยายกาศของการชนิดอื่นๆ จากการที่คูลомн์บีได้ค้นพบว่าแรงกระทำระหว่างวัตถุ 2 ชิ้นที่อยู่ในสุญญากาศหรือในที่ว่างสุญญากาศที่ว่างอยู่ห่างกันในระยะที่มากกว่าขนาดของวัตถุทั้งสองนี้มากอาจจะมีค่าแรงดึงดูดที่ทางวัตถุทั้งสองและแรงดึงดูดที่ทางวัตถุทั้งสองยกกำลังสอง ตามสมการ

$$F = k \frac{Q_1 Q_2}{R^2}$$

เมื่อ Q_1 และ Q_2 คือค่าประจุของประจุทั้งสองส่วน R คือระยะห่างระหว่างประจุทั้งสอง k เป็นค่าคงที่ Q มีหน่วยเป็นคูลомн์และ R มีหน่วยเป็นเมตร แรงจะมีหน่วยเป็นนิวตัน ค่าคงที่ของ k มีค่าเท่ากับ

$$k = \frac{1}{4\pi\epsilon_0}$$

ค่า ϵ_0 เป็นค่าความยินยอมทางไฟฟ้าของที่ว่างอิสระ มีค่าเท่ากับ $\epsilon_0 = 8.854 \times 10^{-12}$

และจากกฎของคูลомн์จะทำให้ได้ค่าของสมการเป็น

$$F = \frac{Q_1 Q_2}{4\pi\epsilon_0 R^2}$$

2.2.2 ความเข้มสنانาไฟฟ้า

เมื่อพิจารณาประจุที่ว่างอยู่ ณ ตำแหน่งที่แน่นอนกำหนดให้ประจุนี้เป็น Q_1 เมื่อเคลื่อนประจุที่สองเข้าไปใกล้ๆ กับประจุตัวแรกจะเกิดแรงที่กระทำต่อประจุที่สองตลอดทุกทิศทางที่ประจุเคลื่อนที่ไป

อาจกล่าวได้ว่าประจุตัวที่สองเป็นตัวทดสอบสนามของแรงที่ปรากฏอยู่ ซึ่งจะทำให้สามารถหาแรงที่ประจุทดสอบโดยกฎของคูลอมบ์ได้

$$F_t = \frac{Q_1 Q_t}{4\pi\epsilon_0 R_{1t}^2} a_{1t}$$

$$\frac{F_t}{Q_t} = \frac{Q}{4\pi\epsilon_0 R_{1t}^2} a_{1t}$$

ทางด้านซ้ายของสมการจะเป็นพังค์ชั่นของ Q_1 มีทิศทางเดียวกับเส้นเชื่อมระหว่างประจุ Q_1 กับประจุ Q_t ทดสอบสมการข้างต้นเป็นการอธิบายถึงเวกเตอร์สนามเรียกว่าความเข้มของสนามไฟฟ้า(Electric Field Intensity)

ความเข้มสนามไฟฟ้าคือเวกเตอร์ของแรงต่อหน่วยประจุทดสอบที่ไม่ได้ทำการวัดจากการทดลองโดยหาค่าของแรงที่กระทำต่อประจุทดสอบขนาด 1 คูลอมบ์

สมการของสนามไฟฟ้าคือ

$$E = \frac{F_t}{Q_t}$$

$$E = \frac{Q_1}{4\pi\epsilon_0 R_{1t}^2} a_{1t}$$

สมการความสัมพันธ์ของความเข้มสนามไฟฟ้าเป็นความสัมพันธ์ของความเข้มสนามไฟฟ้านี้จากประจุแบบจุดเดียว Q_1 ที่วางในสุญญากาศ ในการหาค่าความสัมพันธ์ของความเข้มสนามไฟฟ้าสำหรับประจุรูปแบบอื่นๆสามารถแยกพิจารณาได้แตกต่างออกໄไป ในกรณีของประจุแบบจุดเดียวจะได้

$$E = \frac{Q}{4\pi\epsilon_0 R^2} a_r$$

เมื่อ R คือขนาดของเวกเตอร์ R ซึ่งเป็นเวกเตอร์ที่ชี้ตรงจากจุดที่วางประจุ Q_1 ไปถึงตำแหน่งหรือจุดที่พิจารณาหาค่าสนามไฟฟ้า E และ a_r คือเวกเตอร์หนึ่งหน่วยในทิศทางของเวกเตอร์ R เริ่มต้นการวิเคราะห์ด้วยการวางประจุ Q_1 ไว้ที่จุดกำเนิดของพิกัดทรงกลมเวกเตอร์หนึ่งหน่วย a_r จะเป็นเวกเตอร์หนึ่งหน่วยในแนวรัศมี a_r และ R คือรัศมี r ของรูปทรงกลม ดังนั้น

$$E = \frac{Q}{4\pi\epsilon_0 r^2} a_r$$

หรือ

$$E_r = \frac{Q}{4\pi\epsilon_0 r^2}$$

จะพบว่ามีส่วนประกอบสนามในแนวรัศมีเพียงอย่างเดียวเพื่อให้เข้าใจเราจะใช้ความสัมพันธ์ของกำลังสองผกผัน(Inverse-square law) สามารถเขียนสมการความสัมพันธ์ของประจุ Q ที่จุดกำเนิดอยู่ในระบบพิกัด kartic เขียนได้เป็น

$$R = r = xa_x + ya_y + za_z \text{ และ } a_r = a_r = (xa_x + ya_y + za_z) / \sqrt{x^2 + y^2 + z^2}$$

ดังนั้น

$$E = \frac{Q}{4\pi\epsilon_0(x^2 + y^2 + z^2)} \left(\frac{x}{\sqrt{x^2 + y^2 + z^2}} a_x + \frac{y}{\sqrt{x^2 + y^2 + z^2}} a_y + \frac{z}{\sqrt{x^2 + y^2 + z^2}} a_z \right)$$

หากไม่มีการวิเคราะห์ทางเวคเตอร์แล้ว ข้อมูลข้างต้นในสมการจำเป็นที่จะต้องแยกออกเป็น 3 สมการซึ่งแต่ละสมการจะใช้สำหรับแต่ละส่วนประกอบ เพื่อให้ได้สมการจะต้องแยกความเข้มสนามไฟฟ้าออกเป็น 3 ส่วนประกอบ โดยการหาพานาเมียของขนาดสนามในแต่ละแกนด้วยความสัมพันธ์ทางเวคเตอร์ หากพิจารณาประจุที่ไม่ได้วางที่จุดกำเนิดของระบบพิกัดใดๆ สนามจะไม่เป็นรูปทรงกลมสมมาตร(หรือไม่เป็นรูปทรงกรวยของสมมาตร ถ้าไม่ได้ใส่ประจุเชิงเส้นบนแกน z) เราสามารถใช้ระบบ kartic เขียนสำหรับประจุ Q ที่วางไว้ที่ตำแหน่ง $r = x a_x + y a_y + z a_z$ ดังแสดงในรูปจะพบว่าตำแหน่งใดๆ ที่จุด $r = x a_x + y a_y + z a_z$ หากได้โดยการแทน R ด้วย $r - r'$ จะได้

$$\begin{aligned} E(r) &= \frac{Q}{4\pi\epsilon_0 |r - r'|^2} \frac{r - r'}{|r - r'|} = \frac{Q(r - r')}{4\pi\epsilon_0 |r - r'|^3} \\ &= \frac{Q[(x - x')a_x] + (y - y')a_y + (z - z')a_z]}{4\pi\epsilon_0 [(x - x')^2 + (y - y')^2 + (z - z')^2]^{3/2}} \end{aligned}$$

เราได้กำหนดเวคเตอร์ของสนามเป็นฟังก์ชันเวคเตอร์ของเวคเตอร์ตำแหน่งซึ่งจะเน้นโดยการให้เป็นสัญญาณ์ในข้อกำหนดด้วย $E(r)$ สมการข้างต้นจึงกลายเป็นกรณีพิเศษซึ่ง $x' = y' = z' = 0$ เนื่องจากแรงคูโอลอนบีเป็นเชิงเส้น ความเข้มสนามไฟฟ้านี้จะจากประจุแบบจุด 2 ประจุ Q_1 ที่วางอยู่ที่ตำแหน่ง r_1 และ Q_2 ที่วางอยู่ที่ตำแหน่ง r_2 คือผลรวมของแรงกระทำโดยลำพังของประจุทั้งสอง Q_1 ที่ได้รับจากประจุ Q_2 กับ Q_2 หรือ

$$E(r) = \frac{Q_1}{4\pi\epsilon_0 |r - r_1|^2} a_1 + \frac{Q_2}{4\pi\epsilon_0 |r - r_2|^2} a_2$$

เมื่อ a_1 และ a_2 เป็นเวกเตอร์หนึ่งที่พื้นที่ทิศทางของ $(r - r_1)$ และ $(r - r_2)$ ตามลำดับ หากมีการใส่ประจุในตำแหน่งอื่นๆเพิ่มเข้าไปอีกค่าความเข้มสนามไฟฟ้าที่เกิดจากประจุนั้นจะมีค่าตามสมการ

$$E(r) = \frac{Q_1}{4\pi\epsilon_0 |r - r_1|^2} a_1 + \frac{Q_2}{4\pi\epsilon_0 |r - r_2|^2} a_2 + \dots + \frac{Q_n}{4\pi\epsilon_0 |r - r_n|^2} a_n$$

สมการสามารถเขียนให้สั้นลงด้วยวิธีการใช้เครื่องหมาย Σ สำหรับการบวกและจำนวนเต็มในการบวกเริ่มตั้งแต่ $m=1$ เทอมเปลี่ยนแปลงไปจนกระทั่งถึง n เทอมดังนี้

$$E(r) = \sum_{m=1}^n \frac{Q_m}{4\pi\epsilon_0 |r - r_m|^2} a_m$$

2.2.3 สนามเนื่องจากประจุที่กระจายอย่างสม่ำเสมอในปริมาตรหนึ่ง

หากพิจารณาความหนาแน่นประจุเชิงปริมาตร (Volume charge density) ซึ่งค่าความหนาแน่นนี้เปรียบเสมือนการพิจารณาความหนาแน่นของน้ำ ที่ประกอบด้วยอะตอมและไมเดกูลกับอนุภาคที่เป็นส่วนประกอบ ในการพิจารณานั้นมักต้องการผลลัพธ์คือค่ากระแส ศักย์ไฟฟ้า ประจุในอุปกรณ์ไฟฟ้า เราแทนค่าความหนาแน่นประจุเชิงปริมาตรด้วย ρ_v มีหน่วยเป็นคูลومบ์ต่อลูกบาศก์เมตร (C/m^3) เมื่อพิจารณาประจุขนาดเล็ก ΔQ ภายในปริมาตรเล็กๆ Δv จะได้

$$\Delta Q = \rho_v \Delta v$$

สามารถนิยามค่า ρ_v ในทางคณิตศาสตร์ได้ด้วยการใส่ขอบเขตจำกัดหรือลิมิต(Limiting process)ลงไว้ในสมการได้เป็น

$$\rho_v = \lim_{\Delta v \rightarrow 0} \frac{\Delta Q}{\Delta v}$$

ดังนั้นค่าประจุรวมภายในปริมาตรที่แน่นอนค่าหนึ่งสามารถหาได้จากการอินทิเกรตปริมาตรนั้นๆ

$$Q = \int \rho_v d\nu$$

2.2.4 สนามสำหรับเส้นประจุ(Field of line charge)

ประจุที่มีการกระจายปริมาตรเป็นเส้นเล็กๆ โดยเส้นประจุมีขนาดเส้นผ่านศูนย์กลางเล็กมากเรา
กำหนดให้ประจุเหล่านี้อยู่ในประเภทที่มีการกระจายเป็นประจุซึ่งเส้นที่มีความหนาแน่นประจุต่อความ
ยาวเป็น $\rho_z C/m$ การวิเคราะห์ประจุที่มีการกระจายแบบเชิงเส้นโดยสมมติให้ประจุเส้นตรงยาวอยู่ใน
แนวแกน z ในพิกัดทรงกระบอกเส้นประจุมีความยาวจาก $-\infty$ จนถึง ∞ ดังแสดงในรูปและสมมติให้
สนามไฟฟ้า E ที่เกิดจากประจุเส้นนี้แผ่ออกมารอบๆ โดยเป็นสนามที่ที่ได้จากประจุเส้นยาวอย่าง
สม่ำเสมอ มีความหนาแน่นต่อหน่วยความยาวเป็น ρ_z ข้อแรกเราจะพิจารณาความสมมาตรเพื่อใช้เป็น
แนวทางในการคำนวณซึ่งจะมีส่วนประกอบเฉพาะ 2 ประการคือ(1) ด้วยพิกัดที่ใช้อยู่สนามจะมีค่าไม่
เปลี่ยนแปลงที่ระยะพิกัดคงที่(2) สนามในบางส่วนประกอบนั้นจะไม่มีค่า คำตوبของสองปัญหาจะเป็น
ตัวบวกว่าส่วนประกอบของสนามในพิกัดใดบ้างที่มีค่าและเปลี่ยนแปลงหรือเป็นศูนย์ หากสมมติเรา
เคลื่อนไหวไปรอบเส้นประจุโดยหมุนตามมุน φ ขณะที่รักษาระยะให้ r และ z คงที่จะมองเห็นเส้นประ
จุปรากฏอย่างเดิมในทุกๆ มุนที่เปลี่ยนค่าไป หรือกล่าวได้ว่ามีความสมมาตรตามแนวตั้งแสดงว่าไม่มี
สนามใดๆ แปรตามมุน φ เมื่อทำซ้ำโดยการเปลี่ยนการเคลื่อนที่ให้ r และ $φ$ เป็นค่าคงที่บ้างแต่มีการ
เคลื่อนที่ขึ้นและลงตามแนวแกน z ผลที่ได้พบว่าเมื่อก้มกับครึ่งแรก ถ้ากำหนดให้ $φ$ และ z คงที่แต่
ให้มีการเคลื่อนที่ตามแนว r จะพบว่าค่าที่ได้เปลี่ยนแปลงไปสนามมีค่าลดลงเมื่อระยะตามแนว r มีค่า
เพิ่มขึ้นซึ่งเป็นไปตามการคาดคะเนตามกฎของคูลอมบ์ ดังนั้นจึงใช้วิธีการกำหนดตัวแปรที่ไม่จำเป็น
ออกไป ด้วยเหตุผลที่ว่าสนามแปรค่าตามแนว r เท่านั้น เมื่อพิจารณาต่อไปว่าการเพิ่มความยาวของ
เส้นประจุทุกๆ หน่วยความยาวเล็กๆ เปรียบเสมือนเป็นการวางประจุแบบจุดแต่ละประจุที่วางต่อๆ กันไปมี
ผลทำให้การกระจายความเข้มสนามไฟฟ้ามีค่าเพิ่มขึ้นไปตามจำนวนประจุที่วางต่อๆ กันนั้น (โดยสมมติว่า
เป็นประจุซึ่งเส้นแบบประจุวน梧) ไม่มีส่วนใดๆ ของประจุที่ทำให้ได้ส่วนประกอบสนามตามแนวแกน φ
ดังนั้น E_z จึงมีค่าเป็นศูนย์แต่อย่างไรก็ตามส่วนของเส้นประจุเล็กๆ ทั้งที่อยู่ด้านหนึ่งและด้านใต้ของจุดกำเนิดที่ระยะห่าง
จากจุดกำเนิดเท่าๆ กันทำให้เกิดความเข้มสนาม E_z ที่ตำแหน่งใดๆ รวมกันมีค่าหักล้างกันหมดไป เราจะ
พบว่ามีเพียงส่วนประกอบ E_r เท่านั้นที่เหลืออยู่และแบรคต์ไปตาม r จากนั้นจึงหาค่าส่วนประกอบของ
สนามนี้เพียงอย่างเดียว เราเลือกจุด $P(0,y,0)$ บนแกน y ในการหาค่าสนามเพราะจุดนี้เป็นจุดที่ใช้เป็น
ตำแหน่งที่ว่าไปได้อย่างสมบูรณ์แบบ การสังเกตการณ์เปลี่ยนแปลงของสนามตามแนว y และ z เมื่อใช้
สมการหาค่าการเพิ่มขึ้นของสนามที่จุด P เนื่องมาจากการเพิ่มขึ้นของชั้นส่วนของประจุ $dQ = \rho_z dz'$ จะได้

$$dE = \frac{\rho_z dz' (r - r')}{4\pi\epsilon_0 |r - r'|^{3/2}}$$

เมื่อ

$$r = ya_y = \rho a_p$$

$$r' = z' a_z$$

ดังนั้น

$$dE = \frac{\rho_L dz' (\rho a_p - z' a_z)}{4\pi\epsilon_0 (\rho^2 + z'^2)^{3/2}}$$

เนื่องจากว่ามีเพียงส่วนประกอบของ E_p เท่านั้นที่เหลืออยู่เราจึงทำการให้ง่ายขึ้นได้เป็น

$$dE_p = \frac{\rho_L \rho dz'}{4\pi\epsilon_0 (\rho^2 + z'^2)^{3/2}}$$

$$E_p = \int_{-\infty}^{\infty} \frac{\rho_L \rho dz'}{4\pi\epsilon_0 (\rho^2 + z'^2)^{3/2}}$$

เมื่ออินทิเกรตโดยการใช้ตารางหรือโดยการเปลี่ยนตัวแปร $z' = \rho \cot \theta$ หากได้เป็น

$$E_p = \frac{\rho_L}{4\pi\epsilon_0} \rho \left[\frac{1}{\rho^2} \frac{z'}{\sqrt{\rho^2 + z'^2}} \right]_{-\infty}^{\infty}$$

$$E_p = \frac{\rho_L}{2\pi\epsilon_0 \rho}$$

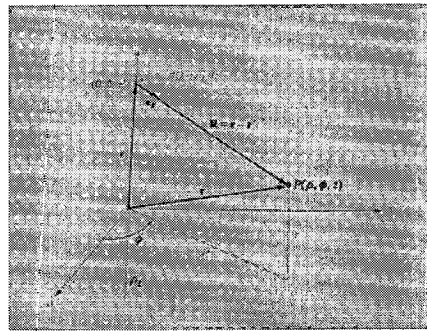
เมื่อใช้การแปลงตัวแปรที่มีอยู่เป็นมุม θ เพื่ออินทิเกรตโดยให้ $z' = \rho \cot \theta$ ด้วยวิธีการแทนค่านี้จะได้ค่าต่างๆ ได้เป็น

$dz' = -\rho \csc^2 \theta d\theta$ ดังนั้น $R = \rho \csc \theta$ เพื่อให้เป็นรูปแบบอินทิกรัลอย่างง่ายดังนี้

$$dE_p = \frac{\rho_L \rho dz'}{4\pi\epsilon_0 R^2} \sin \theta = \frac{-\rho_L \sin \theta d\theta}{4\pi\epsilon_0 \rho}$$

$$E_p = \frac{\rho_L}{4\pi\epsilon_0 \rho} \int_{\pi}^{0} \sin \theta d\theta = \frac{\rho_L}{4\pi\epsilon_0 \rho} \cos \theta \Big|_{\pi}^{0}$$

$$= \frac{\rho_L}{2\pi\epsilon_0 \rho}$$



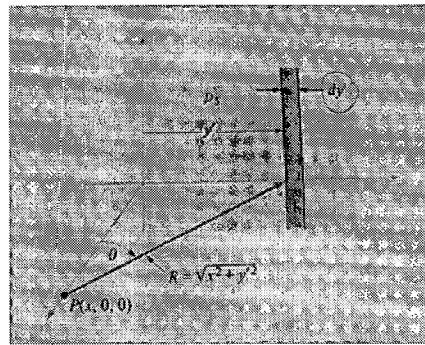
ภาพที่ 2.12 การอินทิเกรตโดยไม่คำนึงถึงปริมาตร

สำหรับเส้นประจุที่มีความยาวอนันต์

สนามที่แพร่ออกไปทั่วบริเวณห่างจากเส้นประจุ เมื่อเทียบกับประจุแบบจุดที่มีค่าลดลงกับระยะทางยกกำลังสอง จะพบว่าที่ระยะห่างที่เท่ากันสนามที่เกิดจากเส้นประจุจะมีค่ามากกว่าสนามเนื่องจากจุดของประจุ หลังจากวิเคราะห์สนามที่เกิดจากเส้นประจุจะพบว่าไม่มีเส้นประจุใดๆ วางไว้ที่แกน z เพียงที่เดียวเสมอไป

2.2.5 สนามเนื่องจากประจุชนิดแผ่น(Field of Sheet of Charge)

ประจุแบบพื้นฐานอิกชนิดหนึ่งคือแผ่นประจุขนาดกว้างยาวอนันต์ มีการกระจายความหนาแน่นประจุต่อหน่วยพื้นที่เป็น $\rho_s \text{ C/m}^2$ ตัวอย่างเช่นการประมาณค่าประจุที่อยู่ที่ผิวของตัวนำ จะพบว่าประจุคงที่ปรากฏอยู่บนผิwtัวนำแต่ไม่ปรากฏอยู่ภายในเนื้อตัวนำ ดังนั้น ρ_s จึงรักกันโดยทั่วไปว่าเป็นความหนาแน่นประจุเชิงพื้นผิวทำให้รูปแบบความหนาแน่นประจุมีกันครบชุดซึ่งได้แก่ประจุแบบจุด แบบเชิงเส้น ประจุแบบเชิงพิว และแบบเชิงปริมาตรหรือ Q ρ_s ρ_v และ ρ_r ตามลำดับ ต่อไปเราจะใส่แผ่นประจุในระบบ yz และทำการพิจารณาความสมมาตรอิกเช่นเดียวกันกับครั้งที่แล้วตามรูปจะเห็นว่าสนามไม่เปลี่ยนแปลงตาม y และ z จากนั้นจะพบว่าส่วนของประจุเชิงอนุพันธ์ที่อยู่ในตำแหน่งที่สมมาตรกันนั้นจะทำให้สนามที่เป็นส่วนประกอบของแกน y กับ z จากนั้นจะพบว่าส่วนของประจุเชิงอนุพันธ์ที่อยู่ในตำแหน่งที่สมมาตรกันนั้นจะทำให้สนามที่เป็นส่วนประกอบของแกน y กับ z จากนั้นจะพบว่าส่วนของประจุเชิงอนุพันธ์ที่อยู่ในตำแหน่งที่สมมาตรกันนั้นจะทำให้สนามที่เป็นส่วนประกอบของแกน y และ z มีค่าหักล้างกันหมดไปจึงเหลือเฉพาะสนาม E_x เท่านั้นที่ต้องหาค่า และในส่วนประกอบของสนามนี้เป็นฟังก์ชันของ x เท่านั้น จากนั้นจึงทำการหาค่าส่วนประกอบที่ว่า



ภาพที่ 2.13 ประจุแผ่นขนาดกว้างยาวอนันต์วางบนระนาบ yz จุด P ใดๆ อยู่บนแกน x และเส้นประจุมีความกว้างเชิงอนุพันธ์ใช้สำหรับเป็นชิ้นส่วนประจุเพื่อการคำนวณสนามที่จุด P

แผ่นประจุขนาดกว้างยาวอนันต์วางอยู่ในระนาบ yz จุด P ใดๆ อยู่บนแกน x และเส้นประจุมีความกว้างเชิงอนุพันธ์ใช้สำหรับเป็นชิ้นส่วนของประจุเพื่อคำนวณหาสนามที่จุด P โดยที่

$$dE = \rho_s dy' a_R / (2\pi\epsilon_0 R)$$

สนามที่คำนวณมาได้จากเส้นประจุโดยการแบ่งส่วนของแผ่นประจุเป็นเส้นประจุที่มีความกว้างเชิงอนุพันธ์คั่งแสดงในรูปความหนาแน่นประจุเชิงเส้นหรือความหนาแน่นประจุต่อหน่วยความยาวเป็น $\rho_L = \rho_s dy'$ และระยะห่างจากประจุเส้นถึงจุด P ใดๆ บนแกน x มีค่าเป็น $R = \sqrt{x^2 + y'^2}$ ปริมาณส่วนหนึ่งของ E_x ที่หาได้จากแผ่นประจุที่แบ่งเป็นเส้นอนุพันธ์เล็กๆ นี้จึงกลายเป็น

$$dE_x = \frac{\rho_s dy'}{2\pi\epsilon_0 \sqrt{x^2 + y'^2}} \cos\theta = \frac{\rho_s}{2\pi\epsilon_0} \frac{xdy'}{x^2 + y'^2}$$

เมื่อรวมผลที่ได้จากแผ่นเส้นประจุเชิงอนุพันธ์เล็กๆ ทั้งหมด ได้เป็น

$$dE_x = \frac{\rho_s}{2\pi\epsilon_0} \int_{-\infty}^{\infty} \frac{xdy'}{x^2 + y'^2} = \left[\frac{\rho_s}{2\pi\epsilon_0} \tan^{-1} \frac{y'}{x} \right]_{-\infty}^{\infty} = \frac{\rho_s}{2\epsilon_0}$$

ถ้าทำการเลือกจุด P ที่ตำแหน่งด้านบนแกน x มีค่าลบ จะได้

$$E_x = -\frac{\rho_s}{2\epsilon_0}$$

เพื่อลดความซับซ้อนในการใส่เครื่องหมายให้สนามและมักจะหาสนามจากประจุที่มีค่าเป็นบวกโดยกำหนดไปด้วยเวคเตอร์หนึ่งหน่วย a_N ซึ่งเป็นเวคเตอร์ที่ตั้งฉากกับระนาบของประจุและมีทิศพุ่งออกจากระนาบประจุ จะได้

$$E = \frac{\rho_s}{2\epsilon_0} a_x$$

จะพบว่าสนามมีขนาดและทิศทางคงที่ ไม่ว่าจะพิจารณาในที่ห่างไกลจากแผ่นระหว่างพิวของประจุออกไปไกลแคร์ไหนก์ตาม ในกรณีของแผ่นประจุที่กว้างยาวอนันต์อิกแพ่นหนึ่งมีประจุเป็นลบและมีความหนาแน่นประจุผิวเป็น $-\rho_s$ วางอยู่ที่ระยะ $x = a$ เราอาจจะหาค่าสนามรวมได้โดยรวมสนามที่ได้จากประจุเต็ลະแพ่นที่ระยะ $x > a$

$$E_+ = \frac{\rho_s}{2\epsilon_0} a_x \quad E_- = -\frac{\rho_s}{2\epsilon_0} a_x \quad E = E_+ + E_- = 0$$

ส่วนที่ $x < 0$

$$E_+ = -\frac{\rho_s}{2\epsilon_0} a_x \quad E_- = -\frac{\rho_s}{2\epsilon_0} a_x \quad E = E_+ + E_-$$

เมื่อ $0 < x < a$

$$E_+ = \frac{\rho_s}{2\epsilon_0} a_x \quad E_- = \frac{\rho_s}{2\epsilon_0} a_x$$

แล้ว

$$E = E_+ + E_- = \frac{\rho_s}{\epsilon_0} a_x$$

ซึ่งเป็นค่าตอบของสนามที่อยู่ระหว่างแผ่นตัวนำคู่ที่นานสองตัวของตัวเก็บประจุแบบมีช่องว่างเป็นอากาศ มีความกว้างและยาวของแผ่นตัวนำมากกว่าระยะห่างระหว่างตัวนำทั้งสองซึ่งมีช่องว่างเป็นอากาศจึงพิจารณาได้ว่าไม่มีสนามใดๆ ระหว่างตัวนำทั้งสองซึ่งในความเป็นจริงสนามภายนอกของตัวเก็บประจุไม่เป็นศูนย์ แต่การวิเคราะห์ข้างต้นพิจารณาในทางอุดมคติเรามักคิดว่าสนามภายนอกมีค่าน้อยจนสามารถ忽ตัดทิ้งได้

2.2.6 สนามเส้นกระแสงและการเขียนรูปแทนเส้นสนาม(Streamlines and Sketches of Fields)

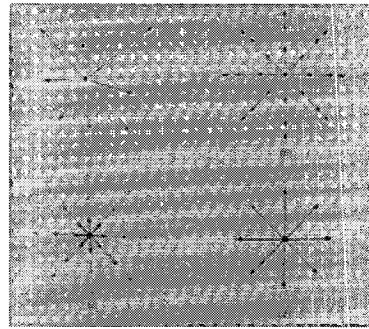
หลังจากที่ได้วิเคราะห์สมการผลลัพธ์ของความสัมพันธ์ทางเวกเตอร์ของสนามไฟฟ้าสำหรับประจุรูปแบบต่างๆแล้ว ในการหาขนาดและทิศทางของสนามจากสมการซึ่งสามารถทำได้ง่าย เราไม่สามารถนำเอาวิธีนี้ไปใช้ได้เสนอไปเนื่องจากการแก้ปัญหาโดยใช้รูปแบบประจุอย่างง่ายไม่สามารถใช้

กับรูปแบบการกระจายประจุแบบอื่นได้ เพราะเมื่อรูปแบบของตัวเก็บประจุมีความซับซ้อนมากขึ้นจะทำให้ mong เห็นภาพสนามได้ยาก เมื่อพิจารณาประจุเส้น

$$E = \frac{\rho_L}{2\pi\epsilon_0\rho} a_\rho$$

จากรูปแสดงหน้าตัดด้านบนของเส้นประจุซึ่งพยายามเขียนรูปของสนามโดยใช้ส่วนของเส้นที่เป็นตัวแทนของสนามที่มีความยาวเปรียบเท่าขนาดของสนาม และชี้ไปตามทิศทางของสนาม E และเมื่อวัดโดยเน้นให้มีความสมมาตรในเส้นแนวตำแหน่งต่างๆ และเขียนเส้นให้มีความยาวมากในตำแหน่งที่มีความหนาแน่นมาก ในการบรรยายถึงรูปแบบจะแสดงเพียงแค่ทิศทางของ E โดยจะเขียนเส้นตรงบางต่อเนื่องจากประจุไปในทุกทิศทางที่บานกว้างกับสนาม E การกระจายของเส้นตรงเป็นไปอย่างสมมาตรและแสดงให้เห็นความสมมาตรในแกนตั้งและหัวลูกศรใช้แสดงทิศทาง บางครั้งเรียกเส้นที่ว่า "เส้นสนามเส้น" กระแส(Streamline)และเส้นฟลักซ์และทิศทางของเส้นยังคงใช้เหมือนกัน หากมีประจุบวกทดสอบแล้ว ว่างอยู่ที่ขุดใจๆ กายในสนามนี้จะทำให้มันเคลื่อนที่ด้วยอัตราเร่งที่มีทิศทางไปตามสนามเส้นกระแสที่ลากผ่านจุดนั้นๆ จะพบว่าในเรื่องขนาดของสนามจะมีขนาดแปรผันกับระยะห่างระหว่างเส้นกระแสซึ่งถ้าเส้นกระแสซิดกันมากแสดงว่ามีความเข้มของสนามไฟฟ้าสูงและในกรณีของสนามเส้นกระแสของประจุแบบบุคคลการวัดแสดงการเปลี่ยนแปลงของสนามที่ด้านເຂົ້າຫວືອออกจากกระดาษจะมีความยุ่งยาก ดังนั้นการร่างภาพสนามของเส้นกระแสจึงมีเพียงสองมิติซึ่งจำเป็นที่จะต้องกำหนดตัวแปรที่ระนาบได้ระนาบที่นี่ให้คงที่ เช่น $E_z = 0$ สนามเส้นกระแสก็จะถูกจำกัดไว้ที่ระนาบที่ z มีค่าคงที่แล้วทำการร่างภาพสนามเส้นกระแสที่เปรียบเท่ากับอัตราเร่งที่ E_x และ E_y ชี้ไปตามจุดต่างๆ ด้วยรูปร่างที่คาดมาได้นั้นหมายได้จาก

$$\frac{E_y}{E_x} = \frac{dy}{dx}$$



ภาพที่ 2.14 แบบร่างของเส้นกระแสสนามแบบต่างๆ

จากการที่ฟังก์ชันของ E_x และ E_y (และค่าคงที่อื่นๆ ตามที่ได้จากสมการอนุพันธ์) ทำให้สามารถนำไปหาสมการของสนามเส้นกระแสได้ เมื่อพิจารณาถึงสนามที่ได้จากประจุเส้นที่มีความหนาแน่นประจุ

$$\rho_L = 2\pi\varepsilon_0$$

$$E = \frac{1}{\rho} a_p$$

กรณีที่เขียนในพิกัด直角

$$E = \frac{x}{x^2 + y^2} a_x + \frac{y}{x^2 + y^2} a_y$$

ดังนั้นสมการเชิงอนุพันธ์คือ

$$\frac{dy}{dx} = \frac{E_x}{E_y} = \frac{y}{x} \quad \text{หรือ} \quad \frac{dy}{y} = \frac{dx}{x}$$

ดังนั้น

$$\ln y = \ln x + C_1$$

จากสมการเราจะหาสนามเส้นกระแสได้จาก $y = Cx$

หากต้องการหาสมการของสนามเส้นกระแสเฉพาะที่หนึ่งโดยผ่านจุดใดๆ สามารถหาได้โดยการแทนพิกัดของจุดนั้นลงในสมการแล้วคำนวณหาค่าคงที่ C สนามเส้นกระแสแต่ละเส้นจะสัมพันธ์กับค่า C เช่นเดียวกัน

ความหนาแน่นฟลักซ์ไฟฟ้า กวูของเกาส์และไดเวอร์เจนซ์

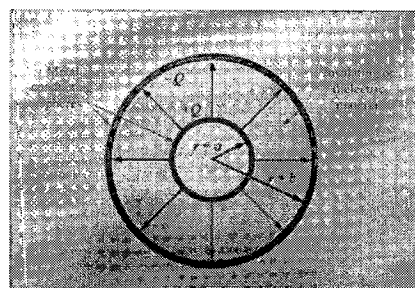
จากแนวความคิดของสنانามเส้นกระแสหรือเส้นแรงดึงดูดซึ่งแสดงทิศทางของแรงที่จุดต่างๆ บนประจุ ทดสอบเส้นแรงเหล่านี้มักเรียกว่าเส้นฟลักซ์หรือฟลักซ์(Flux) การสร้างเส้นฟลักซ์ที่ไม่ออกมากจากประจุจุดอย่างสมมาตรสามารถทำได้ เช่น เดียวกันกับสنانามเส้นกระแสและแสดงให้เห็นว่าฟลักซ์นี้จะปรากฏในบริเวณที่มีสنانามไฟฟ้าอยู่

2.2.7 ความหนาแน่นฟลักซ์ไฟฟ้า(Electric Flux Density)

การทดลองของฟาราเดย์ที่ใช้เครื่องมือซึ่งประกอบด้วยครึ่งทรงกลม 2 อันที่ยึดติดหรือถอดออกกันได้ช่องระหว่างทรงกลมทั้งสองนั้นมีจำนวนหรือไดอิเล็กตริกแทรกรอยู่ ฟาราเดย์พบว่าประจุไฟฟ้าทั้งหมดที่เปลือกผิวของทรงกลมชั้นนอกนั้นมีขนาดเท่ากับประจุไฟฟ้าเริ่มต้นที่ใส่เข้าไปในทรงกลมชั้นในโดยไม่ต้องคำนึงถึงจำนวนที่ใส่กันไว้ระหว่างทรงกลมทั้งสองซึ่งสามารถสรุปได้ว่า นิพลักซ์จากทรงกลมชั้นในพุ่งออกไปยังทรงกลมชั้นนอกและการทดลองยังแสดงให้เห็นว่าประจุบนขนาดใหญ่ค่าหนึ่งที่อยู่ภายในทรงกลมนั้นจะเหนี่ยวแน่นประจุบนค่าเท่ากันนั้นลงบนผิวทรงกลมชั้นนอกทำให้เกิดการแปรผันโดยตรงระหว่างฟลักซ์ไฟฟ้าและประจุไฟฟ้าบนทรงกลมชั้นในถ้าฟลักซ์ไฟฟ้านั้นใช้สัญลักษณ์ ψ (psi) และประจุไฟฟ้าทั้งหมดบนทรงกลมชั้นในใช้สัญลักษณ์ Q ดังนั้นจากการทดลองจึงพบว่า

$$\psi = Q$$

ฟลักซ์ไฟฟ้า ψ วัดในหน่วยคูลอมบ์(Coulomb) ส่วนทางต่างๆ ของฟลักซ์ไฟฟ้าที่สร้างจากประจุไฟฟ้า Q คูลอมบ์เป็นไปอย่างสม่ำเสมอทั่วผิวที่มีพื้นที่ $4\pi a^2$ ดังนั้นความหนาแน่นฟลักซ์ไฟฟ้าที่ผิวนี้จึงมีค่า $\psi / 4\pi a^2$ หรือ $Q / 4\pi a^2 C/m^2$ ความหนาแน่นฟลักซ์ไฟฟ้า(Electric flux density)แทนด้วย D เป็นสنانามเวคเตอร์



ภาพที่ 2.15 ฟลักซ์ไฟฟ้าบริเวณระหว่างทรงกลม 2 ชั้นที่มีจุดศูนย์กลางร่วมกันซึ่งมีประจุไฟฟ้า ทิศทางและขนาดของ D ไม่เป็นพังก์ชันของไดอิเล็กตริกที่แทรกอยู่ระหว่างทรงกลมทั้งสอง

จากรูปจะเห็นว่าความหนาแน่นฟลักซ์ไฟฟ้ามีพิเศษทางตามแนวรัศมีโดยมีค่าเท่ากับ

$$D]_{r=a} = \frac{Q}{4\pi a^2} a_r \quad \text{ทรงกลมชั้นใน}$$

$$D]_{r=b} = \frac{Q}{4\pi b^2} a_r \quad \text{ทรงกลมชั้นนอก}$$

และที่ระยะ r ระหว่างผิวทรงกลมทั้งสองหรือ $a \leq r \leq b$

$$D = \frac{Q}{4\pi r^2} a_r$$

ถ้าลองให้ทรงกลมชั้นในมีขนาดเล็กลงเรื่อยๆ จนกลายเป็นจุดแต่ยังคงมีประจุ Q เท่าเดิมความหนาแน่นฟลักซ์ไฟฟ้าที่ระยะทาง r เมตรจากจุดนั้นจะมีค่าเท่ากับ

$$D = \frac{Q}{4\pi r^2} a_r$$

ฟลักซ์จำนวน Q คือเส้นที่ผ่านออกมานาจากประจุไฟฟ้าอย่างสมมาตรผ่านผิวทรงกลมที่จินตนาการขึ้นมาโดยมีพื้นที่ $4\pi a^2$ เมื่อเปรียบเทียบผลที่ได้กับความเข้มสนามไฟฟ้าที่แผ่ออกมานาจากประจุจุดไฟฟ้าในที่ว่างอิสระในสมการก่อนหน้า

$$E = \frac{Q}{4\pi\epsilon_0 r^2} a_r$$

จะได้ความหนาแน่นของฟลักซ์ไฟฟ้าในที่ว่างอิสระเป็น

$$D = \epsilon_0 E$$

แม้สมการข้างบนจะใช้กับอว拉斯แต่ก็ไม่ได้จำกัดเฉพาะสำหรับประจุจุดไฟฟ้าเท่านั้นในกรณีสำหรับการกระจายประจุเชิงปริมาตรหัวไปในที่ว่างอิสระจะได้สมการเป็น

$$E = \int \frac{\rho dv}{4\pi\epsilon_0 R^2} a_R$$

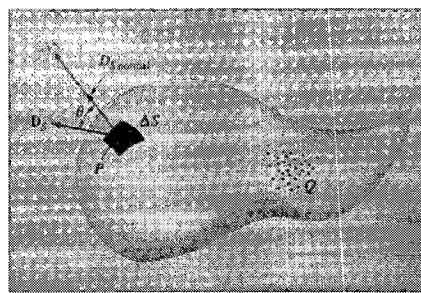
ความสำพันธ์ได้พัฒนามาจากประจุไฟฟ้าเดียวทำให้สมการข้างต้น หาค่า D ได้เป็น

$$D = \int \frac{\rho dv}{4\pi R^2} a_R$$

สมการข้างต้นจึงเป็นจริงสำหรับรูปแบบต่างๆ ของประจุไฟฟ้าในที่ว่างอิสระเรานิยามสมการข้างบนว่า เป็นนิยามของ D ในที่ว่างอิสระ เนื่องจาก D เป็นตัวแปรที่แปรผันตรงกับ E ในที่ว่างอิสระแต่เพราะ เนื่องจาก D เกิดขึ้นมาจากการแปรความคิดของฟลักซ์ซึ่งเป็นแนวความคิดใหม่ที่สำคัญและเพราะ D ที่ได้มา มีขนาดเล็กมากเมื่อเทียบกับสนาม E เนื่องจากค่าของ ϵ_0 น้อยมากและอิกประการหนึ่งคือจะเป็นการ ดีกว่าถ้าได้ทราบถึงค่า D ก่อนที่จะนำมาใช้กับสาร ไดอิเล็กตริก

2.2.8 กฎของเกาส์ (Gauss's Law)

การทดลองของฟาราเดียสรุปได้ว่าสนามไฟฟ้าที่ผ่านผิวทรงกลมในจินตนาการที่สร้างอยู่ ระหว่างทรงกลมร่วมทั้งสองจะเท่ากับประจุที่บรรจุอยู่ในผิวทรงกลมที่จินตนาการนั้นประจุที่บรรจุอยู่ภายในนี้จะกระจายออกมานี้ที่ผิวทรงกลมชั้นในหรืออาจจะรวมกันเป็นประจุจุดไฟฟ้าที่จุดศูนย์กลางของ ทรงกลมที่จินตนาการขึ้นมาแล้วก็ได้ย่างไรก็ตามเนื่องจากฟลักซ์ไฟฟ้า $1 \text{ คูลอมบ์}^2/\text{ steradian}$ จากประจุไฟฟ้า 1 คูลอมบ์^2 ดังนั้นที่ตัวนำไฟฟ้าชั้นในอาจจะเป็นรูปคลูกบาศก์หรือแท่งก็ได้และประจุทั้งหมดที่ถูกแทนที่ นำออกมานี้ที่ผิวทรงกลมชั้นนอกนั้นยังคงมีค่าเท่าเดิมແเนื่องจากความหนาแน่นฟลักซ์ไฟฟ้านั้นจะเปลี่ยน จากการกระจายที่สมมาตรไปยังรูปทรงที่ไม่ทราบค่านั้นแต่ประจุ $+Q$ บนแท่งประจุไฟฟ้าจะเหลือ $Q - Q = 0$ เส้นฟลักซ์ที่หนึ่งนำ $-Q$ คูลอมบ์บนผิวค้านอกนั้นจากการวิเคราะห์ตามกฎของฟาราเดียนำมาซึ่งกฎ ของเกาส์ซึ่งนิยามว่าฟลักซ์ไฟฟ้าที่ผิวปิดใดๆ จะมีค่าเท่ากับประจุไฟฟ้าทั้งหมดที่อยู่ภายในพื้นที่ผิวปิด นั้นหากจินตนาการว่าการกระจายของประจุไฟฟ้าที่อยู่เป็นกลุ่มของประจุจุดไฟฟ้าล้อมรอบด้วยผิวปิด ในรูปแบบใดๆ ผิวปิดนั้นอาจจะเป็นผิวปิดของเนื้อสารจริงๆ แต่ความจริงแล้วจะเป็นพื้นผิวปิดใดๆ ก็ได้ ประจุไฟฟ้าอยู่ภายในทั้งหมด Q จะมีเส้นฟลักซ์ไฟฟ้า Q คูลอมบ์ผ่านผิวที่ปิดล้อมเวกเตอร์ความ หนาแน่นฟลักซ์ไฟฟ้า D ที่จุดทุกจุดบนผิวนั้นมีขนาด D_s โดยตัวอักษร s แสดงให้เห็นว่า D จะต้อง พิจารณาบนผิวโดยทั่วไปแล้ว D_s จะแบรเปรเปลี่ยนไปตามขนาดของทิศทางจากจุดหนึ่งไปยังอีกจุดหนึ่ง บนพื้นผิวปิดนั้นๆ



ภาพที่ 2.16 ความหนาแน่นฟลักซ์ไฟฟ้า D_s ที่จุด P อันเนื่องมาจากประจุ Q

เมื่อพิจารณาถึงองค์ประกอบที่เพิ่มเข้ามาของผิว ΔS ซึ่งใกล้จะเป็นส่วนประกอบของระบบและการอธิบายองค์ประกอบผิวนี้ต้องทราบถึงขนาด ΔS และการจัดวางในอว拉斯หรืออีกนัยหนึ่งคือองค์ประกอบผิวที่เพิ่มเข้ามานี้เป็นปริมาณเวกเตอร์โดย ΔS จะมีทิศทางตั้งฉากกับระบบที่สัมผัสทั้งหมดและมีทิศตั้งฉากและผูกอุกมาจากผิวปิด การผูกอุกจากผิวปิดและการผูกอุกซึ่งเป็นนิยามที่ถูกกำหนดไว้ การพิจารณาองค์ประกอบพื้นผิว ΔS ที่จุด P โดยให้ D_s ทำมุม θ กับ ΔS

$$\Delta\psi = \text{ฟลักซ์ไฟฟ้าที่ผ่าน } \Delta S = D_{s_normal} \Delta S = D_s \cos \theta \Delta S = D_s \cdot \Delta S$$

จากนิยามของผลคูณแบบจุดจะพบว่า ฟลักซ์ไฟฟ้าทั้งหมดที่ผ่านผิวปิดนั้นจะได้มาจากผลรวมของเส้นฟลักซ์ที่องค์ประกอบผิว ΔS

$$\psi = \int d\psi = \iint_{\substack{\text{closed} \\ \text{surface}}} D_s \cdot dS$$

ผลรวมที่ได้จากการอนทิเกรตคือการอนทิเกรตผิวปิด (Closed surface integration) เนื่องจากว่าองค์ประกอบผิว ΔS เกี่ยวข้องกับอนุพันธ์ 2 พิกัดเส้นอเร้น $dxdy \rho d\phi d\rho$ หรือ $r^2 \sin \theta d\theta d\phi$ โดยมีผลการอนทิเกรตเป็นอนทิเกรตสองชั้นตัว

อักษรย่อ S เป็นตัวบ่งบอกว่าเป็นอนทิเกรตเชิงพื้นผิวและเรียกพื้นผิวปิดนี้ว่าพื้นผิว gauss เซียน (Gaussian Surface) ดังนั้นสมการคณิตศาสตร์บนผิวปิดตามกฎของเกาส์คือ

$$\psi = \iint_S D_s \cdot dS = \text{ประจุที่อยู่ภายในผิวปิด} = Q$$

โดยที่ประจุที่อยู่ในนั้นอาจจะเป็นประจุจุดไฟฟ้าหลายตัว หรือเส้นประจุไฟฟ้า แผ่นประจุไฟฟ้า หรือก้อนประจุไฟฟ้าก็ได้ ซึ่งรูปแบบสมการที่นิยมใช้จะเป็น

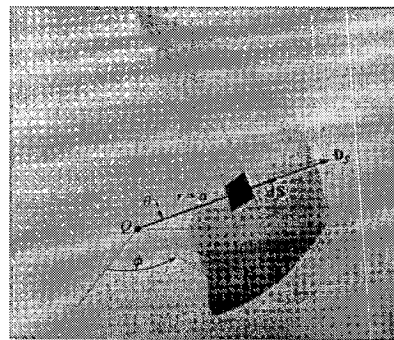
$$Q = \iiint_{vol} \rho_v dv$$

หรืออาจจะนำกฎของเก้าส์มาเขียนในรูปแบบการกระจายประจุแบบทั่วไปได้คือ

$$\oint_s D_s dS = \int_{vol} \rho_v dv$$

ความหมายทางคณิตศาสตร์คือฟลักซ์ไฟฟ้าที่ผ่านพิวปิดใดๆ จะเท่ากับประจุที่อยู่ภายในพิวปิดนั้น การใช้กฎของเก้าส์ในการทดลองของฟาราเดย์คือการวางประจุจุดไฟฟ้า Q ที่ชุดกำเนิดในพิวปิดทรงกลมแล้วเลือกพิวปิดเป็นทรงกลมที่มีรัศมี a สนามไฟฟ้าของประจุจุดที่ได้พิจารณาแล้วจะมีค่า

$$E = \frac{Q}{4\pi\epsilon_0 r^2} a_r$$



ภาพที่ 2.17 การประยุกต์กฎของเก้าส์ในการหาสนามไฟฟ้าที่พุ่งออกมานอกประจุ Q บนพิวปิดทรงกลม

ดังนั้น

$$D = \epsilon_0 E$$

ก่อนหน้านี้เราจะได้ว่า

$$D = \frac{Q}{4\pi r^2} a_r$$

ดังนั้นที่พิวทรงกลมนี้มีค่า

$$D_s = \frac{Q}{4\pi a^2} a_r$$

จะได้ของค์ประกอบเชิงอนุพันธ์ของพื้นที่พิวทรงกลมนี้ค่าเป็น

$$dS = r^2 \sin \theta d\theta d\phi = a^2 \sin \theta d\theta d\phi$$

หรือ

$$dS = a^2 \sin \theta d\theta d\phi a_r$$

ดังนั้น

$$D_s \cdot dS = \frac{Q}{4\pi a^2} a^2 \sin \theta d\theta d\phi a_r \cdot a_r = \frac{Q}{4\pi} \sin \theta d\theta d\phi$$

จึงทำให้การอินทิเกรตบนผิวปิดเขียนเป็นสมการได้เป็น

$$\int_{\phi=0}^{\phi=2\pi} \int_{\theta=\phi}^{\theta=\pi} \frac{Q}{4\pi} \sin \theta d\theta d\phi$$

เมื่อเลือกขอบเขตของการอินทิเกรตเพื่อให้คลองคูลมผิวปิดทั้งหมดของทรงกลมจะได้การอินทิเกรตเท่ากับ

$$\int_{\phi=0}^{\phi=2\pi} \frac{Q}{4\pi} (-\cos \theta)_0^\pi d\phi \int_0^{2\pi} \frac{Q}{2\pi} d\phi = Q$$

จากผลที่ได้แสดงว่าฟลักซ์ไฟฟ้า Q คูลอมบ์ที่ผ่านผิวปิดนั้นมีค่าเท่ากับประจุที่อยู่ภายในผิวปิดนั้น

2.2.9 ไดเวอร์เจนซ์(Divergence)

ไดเวอร์เจนต์เป็นโอเปอเรเตอร์ที่ใช้ในการสืบหาค่าทางฟิสิกส์ มีนิยามว่า

ไดเวอร์เจนต์ของ

$$A = \operatorname{div} A = \lim_{\Delta v \rightarrow 0} \frac{\oint A \cdot dS}{\Delta v}$$

และนักจะเขียนย่อด้วย $\operatorname{div} A$ ไดเวอร์เจนซ์ของเวกเตอร์ใดๆ จะมีความหมายทางฟิสิกส์คือเป็น โอเปอเรเตอร์ที่แสดงถึงด้วยเทอมทางขาวมือของสมการข้างบนเมื่อพิจารณา A เป็นสมาชิกในตระกูลของ ความหนาแน่นฟลักซ์ของเวกเตอร์เพื่อช่วยในการแปลความหมายทางฟิสิกส์ ไดเวอร์เจนซ์ของความ หนาแน่นฟลักซ์ของเวกเตอร์ A จะเป็นฟลักซ์ที่ไหลออกมานอกพื้นที่ผิวบ่อปิดต่อหน่วยปริมาตร เมื่อ ปริมาตรลดลงจนมีค่าเป็นศูนย์ ไดเวอร์เจนต์ที่เป็นบวกสำหรับปริมาณเวกเตอร์นั้นบ่งบอกถึงการเป็น แหล่งจ่าย(Source)ของปริมาณเวกเตอร์ที่จุดนั้น ในทำนองเดียวกัน ไดเวอร์เจนต์ที่เป็นค่าลบแสดงว่ามีการ ดึง(Sink)ของเวกเตอร์นั้น เมื่อเขียนสมการใหม่จะได้

$$\operatorname{div} D = \left(\frac{\partial D_x}{\partial x} + \frac{\partial D_y}{\partial y} + \frac{\partial D_z}{\partial z} \right)$$

ความสัมพันธ์ที่ได้มีได้อยู่ในรูปของประจุไฟฟ้าเลยแต่เป็นรูปแบบที่ได้จากนิยามทางฟิสิกส์ของไคเวอร์เจนซ์กับองค์ประกอบเชิงอนุพันธ์ของปริมาตรในพิกัด笛卡尔 ถ้าใช้ส่วนประกอบของปริมาตรในเชิงอนุพันธ์ของระบบพิกัดแบบต่างๆจะได้สมการเป็น

$$\operatorname{div} D = \left(\frac{\partial D_x}{\partial x} + \frac{\partial D_y}{\partial y} + \frac{\partial D_z}{\partial z} \right) \quad (\text{พิกัด笛卡尔})$$

$$\operatorname{div} D = \frac{1}{\rho} \frac{\partial}{\partial \rho} (\rho D_\rho) + \frac{1}{\rho} \frac{\partial D_\theta}{\partial \theta} + \frac{\partial D_z}{\partial z} \quad (\text{พิกัดทรงกระบอก})$$

$$\operatorname{div} D = \frac{1}{r^2} \frac{\partial}{\partial r} (r^2 D_r) + \frac{1}{r \sin \theta} \frac{\partial}{\partial \theta} (\sin \theta D_\theta) + \frac{1}{r \sin \theta} \frac{\partial D_\phi}{\partial \phi} \quad (\text{พิกัดทรงกลม})$$

ไคเวอร์เจนซ์นี้เป็น โอเปอเรเตอร์สำหรับเวกเตอร์แต่มีผลลัพธ์เป็นปริมาณสเกลาร์ในลักษณะที่คล้ายกับผลคูณจุดหรือผลคูณสเกลาร์ที่เป็นการคูณของเวกเตอร์สองตัวแล้วให้ปริมาณสเกลาร์ออกมาน ความจริงแล้วไคเวอร์เจนซ์ออกให้เราทราบว่ามีฟลักซ์ไฟฟ้าจำนวนเท่าไรที่ออกมาจากปริมาตรย่อยบนพื้นฐานต่อหน่วยปริมาตรโดยไม่ได้รวมถึงทิศทางการไหลของ ฟลักซ์นั้นๆ

2.2.10 โอเปอเรเตอร์ทางเวกเตอร์ ∇ และทฤษฎีไคเวอร์เจนซ์

(The vector operator ∇ and The divergence theorem)

เนื่องจากไคเวอร์เจนซ์เป็น โอเปอเรเตอร์ทางเวกเตอร์ที่ให้ผลลัพธ์ออกมานเป็นปริมาณสเกลาร์ เช่นเดียวกันกับผลคูณจุดของเวกเตอร์ซึ่งมีความเป็นไปได้ว่าจะหาอะไรบางอย่างมาดอทกับ D แล้วให้ค่าผลลัพธ์ออกมานเป็น

$$\frac{\partial D_x}{\partial x} + \frac{\partial D_y}{\partial y} + \frac{\partial D_z}{\partial z}$$

จะพบว่าค่าดังกล่าวไม่สามารถหาได้จากผลคูณจุดแต่จะต้องเป็น โอเปอเรเตอร์อย่างหนึ่งมาดอท ด้วยเหตุนี้เราจึงกำหนดให้ ∇ เป็น โอเปอเรเตอร์ทางเวกเตอร์นี้

$$\nabla = \frac{\partial}{\partial x} a_x + \frac{\partial}{\partial y} a_y + \frac{\partial}{\partial z} a_z$$

โดยเปอร์โตร์ทางสเกลาร์ที่คล้ายกันนี้มีอยู่ 2-3 วิธีสำหรับใช้ในการแก้สมการอนุพันธ์เช่นเรามักจะใช้ D แทน $\frac{d}{dx}$, D^2 แทน $\frac{d^2}{dx^2}$ และ D^n แทน $\frac{d^n}{dx^n}$ เป็นต้น เราสามารถว่า ∇ สามารถใช้แทนโดยเปอร์ต่างๆได้ โดยมีข้อยกเว้นที่สำคัญข้อหนึ่งคือจะให้คำเป็นอนุพันธ์ย่อยแทนที่จะเป็นผลคูณสเกลาร์ เมื่อพิจารณา $\nabla \cdot D$ จะกำหนดด้วย

$$\nabla \cdot D = \left(\frac{\partial}{\partial x} a_x + \frac{\partial}{\partial y} a_y + \frac{\partial}{\partial z} a_z \right) \cdot (D_x a_x + D_y a_y + D_z a_z)$$

เมื่อตัดเทอมของเวกเตอร์หน่วยที่เป็นศูนย์ออกไปจะได้สมการเป็น

$$\nabla \cdot D = \frac{\partial D_x}{\partial x} + \frac{\partial D_y}{\partial y} + \frac{\partial D_z}{\partial z}$$

ซึ่งเรียกว่าเป็นไดเวอร์เจนซ์ของ D จะได้

$$\operatorname{div} D = \nabla \cdot D = \frac{\partial D_x}{\partial x} + \frac{\partial D_y}{\partial y} + \frac{\partial D_z}{\partial z}$$

ประโยชน์ของ $\nabla \cdot D$ จะได้รูปสมการของอนุพันธ์ย่อยที่ถูกต้องและเขียนได้เร็วกว่าในเชิงพิกัดจากเท่านั้น ในอีกแห่งหนึ่ง $\operatorname{div} D$ ทำให้ทราบถึงการเปลี่ยนแปลงความหมายของไดเวอร์เจนซ์ นอกจากนี้โดยเปอร์ของเวกเตอร์ ∇ ไม่ได้ใช้เพียงเดียวไดเวอร์เจนซ์เท่านั้นแต่ยังใช้กับโดยเปอร์อื่นด้วยเช่น ∇u เมื่อ u คือปริมาณสเกลาร์ใดๆที่ทำให้

$$\nabla u = \left(\frac{\partial}{\partial x} a_x + \frac{\partial}{\partial y} a_y + \frac{\partial}{\partial z} a_z \right) u = \frac{\partial u}{\partial x} a_x + \frac{\partial u}{\partial y} a_y + \frac{\partial u}{\partial z} a_z$$

โดยเปอร์ ∇ ไม่มีรูปแบบเชิงพิกัดในระบบพิกัดอื่นถ้าเราพิจารณา ∇ ในพิกัดทรงกระบอกดังนี้ $\nabla \cdot D$ ซึ่งใช้แทนไดเวอร์เจนซ์ของ D ในพิกัดทรงกระบอกคือ

$$\nabla \cdot D = \frac{1}{\rho} \frac{\partial}{\partial \rho} (\rho D_\rho) + \frac{1}{\rho} \frac{\partial D_\theta}{\partial \theta} + \frac{\partial D_z}{\partial z}$$

จะพบว่าเราไม่มีรูปแบบเชิงพิกัดสำหรับ ∇ เพียงแบบเดียวที่จะให้ผลรวมของค่าอนุพันธ์ย่อยซึ่งหมายความว่ายังไม่สามารถเขียน ∇u เป็นสมการได้ ทฤษฎีไดเวอร์เจนซ์เป็นทฤษฎีที่สำคัญในการพิจารณาความหนาแน่นพลัง磁ไฟฟ้า เมื่อพิจารณาโดยเริ่มจากกฎของเกลส์

$$\oint_S D \cdot dS = Q$$

จาก

$$Q = \int_v \rho_v d\nu$$

แทน

$$\rho_v \text{ ด้วย } \nabla \cdot D = \rho_v$$

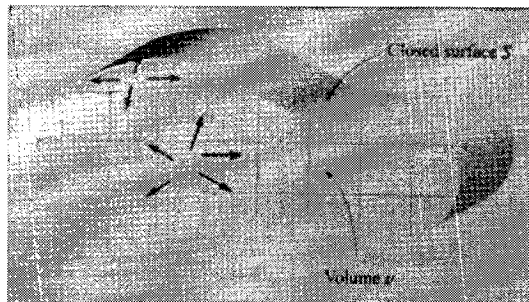
จะได้

$$\iint_S D \cdot dS = Q = \int_v \rho_v d\nu = \int_v \nabla \cdot D d\nu$$

สมการความสัมพันธ์ระหว่างเทอมแรกกับเทอมสุดท้ายคือ ทฤษฎีไดเวอร์เจนซ์

$$\iint_S D \cdot dS = \int_v \nabla \cdot D d\nu$$

ซึ่งมีนิยามว่า ผลการอินทิเกรตของส่วนประกอบตั้งฉากของสนามเวคเตอร์ใดๆ บนผิวปิดนั้นจะเท่ากับผลการอินทิเกรตของไดเวอร์เจนซ์ของสนามเวคเตอร์ที่พุ่งออกมานอกปริมาตรที่ปิดล้อมโดยผิวปิดนั้น



ภาพที่ 2.18 แสดงทฤษฎีไดเวอร์เจนซ์สำหรับฟลักซ์ทั้งหมดที่พุ่งผ่านผิวปิด

ทฤษฎีไดเวอร์เจนซ์เป็นจริงสำหรับสนามเวคเตอร์ใดๆ ถึงแม้ว่าเราจะหาได้จากการคำนวณแบบนี้ แต่เราสามารถนำไปประยุกต์กับสนามอื่นได้ ประโยชน์ของการแปลงระหว่างอินทิเกรต 3 ชั้นในปริมาตรก้อนหนึ่งมาเป็นอินทิเกรต 2 ชั้นของผิวที่ปิดล้อมปริมาตรนั้น ซึ่งทำให้การแก้ปัญหาทำได้ง่ายขึ้นมาก ประโยชน์ของทฤษฎีไดเวอร์เจนซ์ทำให้เห็นภาพทางกายภาพได้มากขึ้น หากเราพิจารณาปริมาตร v ซึ่ง(แสดงตามรูป)ล้อมรอบด้วยผิวปิด s การแบ่งปริมาตรออกมานี้เป็นส่วนประกอบเด็กๆ ขนาดต่างๆ กันจำนวนมากและพิจารณาแค่ 1 เซลล์ แสดงให้เห็นว่าฟลักซ์จากเซลล์นี้ ไหลเข้าหรือพุ่งออกจากเซลล์ไปยังเซลล์ข้างเคียงถ้าเซลล์นี้ไม่มีส่วนของผิวภายนอก สรุปได้ว่าไดเวอร์เจนซ์ของความหนาแน่นของฟลักซ์ที่ผ่านปริมาตรนี้จะให้ผลเช่นเดียวกันกับการพิจารณาฟลักซ์สุทธิที่ตัดผ่านผิวนี้

2.2.11 พลังงานและศักย์ไฟฟ้า

การศึกษากฎของคูลอมบ์เพื่อจะนำมาใช้ในการหาความเข้มสนามไฟฟ้าที่บริเวณใดๆ สำหรับสนามเนื่องจากประจุอย่างง่ายชนิดต่างๆ และใช้กฎของเกาส์ในการประยุกต์ใช้คำนวณหาสนามที่ได้จากประจุที่มีการกระจายเป็นรูปทรงสมมาตรการใช้กฎของเกาส์เป็นวิธีการที่ง่ายสำหรับกรณีประจุแบบสมมาตรโดยเฉพาะ เนื่องจากการอินทิเกรตจะกระทำเพียงพื้นที่ส่วนย่อยของพื้นที่ผิวปิดที่ได้เลือกไว้เท่านั้น กฎของคูลอมบ์มีความสามารถสูงที่จะนำไปใช้แก่ปัญหาต่างๆ ซึ่งกฎของเกาส์ไม่สามารถแก่ปัญหาได้การใช้กฎของคูลอมบ์นั้นมีความยุ่งยากและซับซ้อนในการใช้งานมากกว่าด้วยเหตุนี้จึงทำให้สามารถหาค่าความเข้มสนามไฟฟ้าได้อย่างแม่นยำสนามเวคเตอร์จะต้องหาได้โดยตรงจากการกระจายประจุ ถ้าเราสามารถหาฟังค์ชันสเกลาร์ซึ่งหาได้จากการอินทิเกรตเพียงชั้นเดียวแล้วนำมามาคำนวณหาสนามไฟฟ้า ฟังค์ชันสเกลาร์นี้เป็นที่รู้จักกันในนามของศักย์ไฟฟ้า(Potential)ซึ่งจะพบว่าศักย์ไฟฟ้าสามารถนำไปบรรยายทางกายภาพได้ดีกว่าการให้นิยามของตัวแปรในกลุ่มของสนามไฟฟ้า ศักย์ไฟฟ้า เป็นเครื่องมือสำหรับนำไปหาสนามไฟฟ้าด้วยการอินทิเกรตสเกลาร์

2.2.12 พลังงานที่ใช้ในการเคลื่อนประจุจุดภายในสนามไฟฟ้า

(Energy Expended in Moving a Point Charge in an Electric Field)

ความเข้มสนามไฟฟ้ามีนิยามเป็นแรงที่กระทำต่อประจุทดสอบ 1 หน่วยที่ติดแห่ง ซึ่งต้องการทราบค่าเวคเตอร์ของสนามนี้ ถ้าเราทำการเคลื่อนประจุทดสอบด้านหรือสวนทางกับทิศทางของสนามไฟฟ้าเราจะต้องใช้แรงที่มีทิศทางกันข้ามกับแรงที่ได้จากสนามนั้น จึงทำให้เกิดพลังงานหรือเกิดงานขึ้นจากการกระทำนี้ต้องการให้ประจุเคลื่อนที่ในทิศทางเดียวกับสนามไฟฟ้าพลังงานที่ได้จะถูกเป็นค่าติดลบคือเราไม่ได้งานหรือเราไม่ได้งานแต่สนามเป็นตัวกระทำแทน เช่นหากต้องการเคลื่อนประจุ Q ให้ได้ระยะทาง dL ภายใต้สนามไฟฟ้า E แรงที่กระทำต่อประจุ Q จากสนาม E มีค่าเป็น

$$F_E = QE$$

โดย F_E เป็นแรงที่เกิดจากสนามไฟฟ้า ส่วนประกอบของแรงในทิศทางเดียวกัน dL ซึ่งจะต้องหาค่าออกมาเป็น

$$F_{EL} = F \square a_L = Q E \square a_L$$

เมื่อ a_L เป็นเวคเตอร์หนึ่งหน่วยในทิศทาง dL แรงที่เราจะต้องใส่เข้าไปเพื่อเคลื่อนประจุนี้จะต้องมีค่าเท่ากับแรงจากสนามแต่มีทิศตรงกันข้ามเป็น

$$F_{appl} = -Q E \square a_L$$

และพลังงานที่ใช้ไปสำหรับการกระทำนี้เท่ากับผลคูณของแรงกับระยะทาง นั่นคือ งานเชิงอนุพันธ์ที่ได้จากแหล่งพลังงานภายนอกสำหรับการเคลื่อนประจุ $Q = -Q E \square a_L dL = -Q E \square H L$

$$\text{หรือ } dW = -Q E \square dL$$

เมื่อเราแทน $a_L dL$ ด้วยตัวแปรอย่างง่ายเป็น dL ปริมาณพลังงานเชิงอนุพันธ์อาจจะมีค่าเป็นศูนย์หากค่า Q_E หรือ dL เป็นศูนย์หรือในอิกรูปนึงคือ E กับ dL มีทิศทางตั้งฉากซึ่งกันและกันหรือประจุจะเคลื่อนไปในทิศซึ่งตั้งฉากกับสนามไฟฟ้า เมื่อพิจารณาประจุภายในสนามไฟฟ้าพลังงานที่ได้จากการเคลื่อนประจุในระยะทางจำกัดค่าหนึ่งสามารถคำนวณได้จากการอินทิเกรต พลังงานที่ได้โดยการเคลื่อนประจุภายในสนามไฟฟ้า

$$W = -Q \int_{initial}^{final} E \square dL$$

โดยที่เส้นทางการอินทิเกรตจะต้องถูกกำหนดด้วยก่อนการอินอิเกรตเพื่อหาค่างาน โดยสมมติว่าประจุนี้อยู่ในสถานะหยุดนิ่งตั้งแต่ตำแหน่งเริ่มต้นไปจนถึงตำแหน่งสุดท้ายของการอินทิเกรต

2.2.13 ความต่างศักย์และศักย์ไฟฟ้า(Definition of potential Difference and Potential)

เรา定义วิธีการหาความสัมพันธ์ของงานโดยแหล่งพลังงานจากภายนอกที่ใช้ในการเคลื่อนประจุ Q จากจุดหนึ่งไปยังอีกจุดหนึ่งภายในสนามไฟฟ้า E ค่าใดๆ ส่วนนิยามของความต่างศักย์และงานนั้นจะใช้วิธีการเช่นเดียวกันกับการนิยามความเข้มสนามไฟฟ้า ซึ่งเป็นแรงที่กระทำต่อประจุทดสอบ 1 หน่วยและความต่างศักย์ไฟฟ้า V คืองาน(จากแหล่งพลังงานภายนอก)ที่ใช้ในการเคลื่อนประจุทดสอบนวดหนึ่งหน่วยจากจุดหนึ่งไปยังอีกจุดหนึ่งภายในสนามไฟฟ้าดังนี้

$$\text{ความต่างศักย์} = V = - \int_{initial}^{final} E \square dL$$

ความต่างศักย์ V_{AB} หมายถึงความต่างศักย์ระหว่างจุด A กับจุด B ซึ่งเป็นงานในการเคลื่อนย้ายประจุหนึ่งหน่วยจากจุด B ที่เป็นจุดตั้งต้นไปยังจุด A ที่เป็นจุดปลายซึ่งเปรียบเสมือนว่าจุดตั้งต้น B เป็นจุดที่มักจะถูกกำหนดให้อยู่ใกล้ระยะอนันต์ในขณะที่จุด A เป็นตำแหน่งที่แน่นอนของประจุหนึ่งที่เราทำการพิจารณา เราวัดความต่างศักย์ในหน่วยจูลต่อคูลอมบ์ซึ่งเป็นการนิยามโวลต์ที่เป็นหน่วยร่วมกับแรงดันไฟฟ้าคือ V ดังนั้นความต่างศักย์ระหว่างจุด A ถึงจุด B จึงมีค่าเป็น

$$V_{AB} = - \int_B^A E \cdot dL$$

และงานนี้จะมีค่าเป็นบวกเมื่อการเคลื่อนประจุบวกจาก B ไป A ซึ่งหากพิจารณาเส้นประจุเราจะพบว่างานที่กระทำในการเคลื่อนประจุจาก $\rho = b$ จนถึง $\rho = a$ มีค่าเป็น

$$W = \frac{Q\rho_L}{2\pi\epsilon_0} \ln \frac{b}{a}$$

ดังนั้นความต่างศักย์ระหว่างจุดที่ $\rho = a$ ถึง $\rho = b$ จึงมีค่าเป็น

$$V_{ab} = \frac{W}{Q} = \frac{\rho_L}{2\pi\epsilon_0} \ln \frac{b}{a}$$

เราสามารถใช้นิยามนี้หาค่าความต่างศักย์โดยวิธีการอินTEGRATION ระหว่างจุด A และจุด B ที่ระยะรัศมี r_A และ r_B จากประจุ Q ตามลำดับ โดยเดี๋ยวว่างประจุ Q ไว้ที่จุดกำหนด

$$E = E_r a_r = \frac{\rho_L}{4\pi\epsilon_0 r^2} a_r$$

และ $dL = dra_r$

เราจะได้

$$V_{AB} = - \int_B^A E \cdot dL = - \int_{r_B}^{r_A} \frac{Q}{4\pi\epsilon_0 r^2} dr = \frac{Q}{4\pi\epsilon_0} \left(\frac{1}{r_A} - \frac{1}{r_B} \right)$$

ถ้า $r_A > r_B$ ความต่างศักย์ V_{AB} มีค่าเป็นบวกแสดงว่างานที่ได้นี้ต้องใช้พลังงานจากแหล่งพลังงานภายนอกมานำประจุบวกเคลื่อนจากระยะ r_B ไปยัง r_A โดยปกติแล้วจะกล่าวถึงศักย์ไฟฟ้าหรือศักย์ค่าสัมบูรณ์ที่จุดใดๆ มากกว่าความต่างศักย์ระหว่างจุด 2 จุด แต่จะต้องวัดเทียบกับจุดอ้างอิงที่พิจารณาว่าศักย์ไฟฟ้ามีค่าเป็นศูนย์ ซึ่งจุดอ้างอิงค่าศูนย์ในทางปฏิบัติหรือการวัดทางฟิสิกส์นั้นคือกราวน์ (Ground) ซึ่งหมายถึงศักย์ที่บริเวณผิวน้ำเลือกโลกนั้นเองในทางทฤษฎีมักจะขึ้นว่าผิวนี้เป็นระนาบอนันต์ที่มีศักย์ไฟฟ้าเป็นศูนย์ จุดอ้างอิงอีกแบบหนึ่งที่นิยมอ้างถึงคือ จุดอ้างอิงที่ระยะอนันต์การนำไปใช้มัก

ปรากฏอยู่ในทฤษฎีการประมาณสถานการณ์ทางฟิสิกส์ที่อยู่ห่างไกลจากผิวโลกมาก ในบางโอกาสได้มีการนำเอารัศมีของผิวทรงกระบอกมาเป็นจุดอ้างอิงศูนย์ถ้าเป็นทรงกระบอกแบบสมมาตรเนื่องจากการแสดงค่าที่จุดระยะอนันต์ไม่สะดวก เป็นต้น และเรามักจะนิยามความต่างศักย์ระหว่างจุด A กับจุด B เมื่อทั้งสองจุดมีศักย์อ้างอิงศูนย์ที่ต่างกัน

$$V_{AB} = V_A - V_B$$

2.2.14 สนามศักย์ไฟฟ้าของระบบประจุ(The Potential Field of a System of Charges)

ศักย์ไฟฟ้าที่จุดๆหนึ่งกำหนดโดยงานที่ได้รับเมื่อทำการเคลื่อนประจุทดลองหนึ่งหน่วยจากจุดอ้างอิงมายังบริเวณที่พิจารณาเราได้นำ用แรงเรนน์มานิยามเป็นศักย์ไฟฟ้าซึ่งไม่ขึ้นกับเส้นทางใดในการเคลื่อนย้ายประจุและสนามแปรเป็นเชิงเส้นกับประจุทำให้สามารถใช้หลักการซ้อนทับ(Superposition)มาประยุกต์ใช้ซึ่งในขั้นตอนต่อไปจะพิจารณาว่าศักย์ไฟฟ้าของระบบประจุที่มีค่าที่จุดใดๆไม่ขึ้นกับเส้นทางในการเคลื่อนที่ประจุทดลองไปยังจุดนั้นๆ ซึ่งในกรณีของสนามไฟฟ้าที่เกิดจากประจุจุดเดียวซึ่งหาค่ามาจากประจุ Q_1 ที่วางอยู่ที่ตำแหน่ง r_1 เมื่อหาระยะห่างจาก Q_1 ไปยังจุด r ได้เป็น $|r - r_1|$ เมื่อคำนวณค่าศักย์ไฟฟ้าโดยให้ค่าศักย์อ้างอิงศูนย์ที่จุดระยะอนันต์ได้ค่าเป็น

$$V(r) = \frac{Q_1}{4\pi\epsilon_0 |r - r_1|}$$

ศักย์ไฟฟ้ารวมที่เกิดจากประจุจุด 2 ค่า Q_1 ที่ r_1 และ Q_2 ที่ r_2 เป็นฟังก์ชันเพียง $|r - r_1|$ กับ $|r - r_2|$ เท่านั้น ซึ่งเป็นระยะของจุดที่พิจารณาห่างจาก Q_1 และ Q_2 ตามลำดับ

$$V(r) = \frac{Q_1}{4\pi\epsilon_0 |r - r_1|} + \frac{Q_2}{4\pi\epsilon_0 |r - r_2|}$$

จะพบว่าเมื่อเพิ่มประจุเข้าไปเรื่อยๆ ศักย์ไฟฟ้าจะมีค่าเพิ่มตามจำนวน n ของประจุจุดคือ

$$V(r) = \frac{Q_1}{4\pi\epsilon_0 |r - r_1|} + \frac{Q_2}{4\pi\epsilon_0 |r - r_2|} + \dots + \frac{Q_n}{4\pi\epsilon_0 |r - r_n|}$$

ถ้าประจุแต่ละจุดอ้างอิงถึงประจุในปริมาตรหนึ่งที่มีขนาดเล็กๆ โดยมีการกระจายความหนาแน่นอย่างสม่ำเสมอในปริมาตรนั้นมีค่าเป็น

$$V(r) = \frac{\rho_v(r_1)\Delta v_1}{4\pi\varepsilon_0|r-r_1|} + \frac{\rho_v(r_2)\Delta v_2}{4\pi\varepsilon_0|r-r_2|} + \dots + \frac{\rho_v(r_n)\Delta v_n}{4\pi\varepsilon_0|r-r_n|}$$

หากให้จำนวนประจุที่เพิ่มเข้าไปเป็น $\rho_v(r')$ ลักษณะนั้นต์สมการจะกลายเป็นความสัมพันธ์ทางอินทิกรัล

$$V(r) = \int \frac{\rho_v(r')dv'}{4\pi\varepsilon_0|r-r'|}$$

เมื่อต้องหาค่าสนามศักย์ที่ระยะห่างจากประจุแบบๆ จากสมการข้างต้นจะพบว่า ศักย์ไฟฟ้า $V(r)$ เทียบกับศักย์อ้างอิงศูนย์ที่จุดอนันต์และวัดจากการที่กระทำในการนำประจุหนึ่งหน่วยจากอนันต์ภายใต้สนามไฟฟ้ามาอยู่จุด r ที่จะหาค่าศักย์นั้นก้อนประจุที่มีความหนาแน่น $\rho_v(r')$ และส่วนของปริมาตรเชิงอนุพันธ์ dv' รวมกันกลายเป็นประจุที่อยู่ภายนอกที่พิจารณาสนามศักย์อินทิกรัลที่ได้เป็นแบบ 3 ชั้น(เชิงปริมาตร) ถ้าประจุกระจายอยู่ในรูปแบบเดือนประจุหรือกระจายออกเป็นแผ่นประจุแล้วศักย์ไฟฟ้าที่หาได้จะมาจากการอินทิเกรตไปตามแนวเดือนประจุหรือตามพื้นที่ผิวของประจุนั้นคือ

$$V(r) = \int \frac{\rho_v(r')dv'}{4\pi\varepsilon_0|r-r'|}$$

$$V(r) = \int \frac{\rho_s(r')dS'}{4\pi\varepsilon_0|r-r'|}$$

สมการการอินทิเกรตของศักย์ไฟฟ้าจะอยู่ในเทอมของการกระจายของประจุที่มีความคล้ายคลึงกันมาก เมื่อเทียบกับสมการความเข้มสนามไฟฟ้าคือ

$$E(r) = \int_{vol} \frac{\rho_v(r')dv'}{4\pi\varepsilon_0|r-r'|^2} \frac{r-r'}{|r-r'|}$$

และจากข้อกำหนดที่ว่าจะไม่มีงานไดๆเกิดขึ้นเมื่อทำการเคลื่อนประจุจนครบรอบในเส้นทางหนึ่ง

$$\oint E \cdot dL = 0$$

สมการข้างต้นจะเป็นจริงเสมอในเงื่อนไขสำหรับสนามสถิติ์ สนามใดที่เป็นสนามอนุรักษ์ (Conservative field) เมื่ออินทิเกรตตรงเส้นทางปิดของสนามจะมีค่าเป็นศูนย์

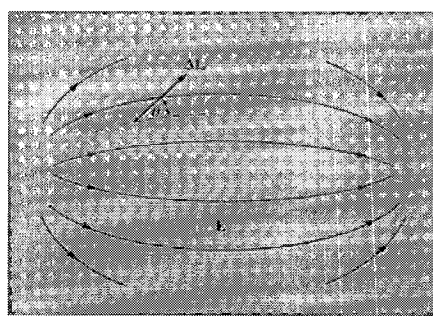
2.2.15 เกรเดียนต์ของศักย์ไฟฟ้า(Potential Gradient)

ในการคำนวณหาศักย์ไฟฟ้าเราสามารถหาได้โดยตรงจากความเข้มสนามไฟฟ้าด้วยการอินทิเกรตตามเส้นทางที่กำหนดและสามารถหาได้จากการกระจายอย่างจ่ายของประจุเองโดยการ

อินทิเกรตเชิงปริมาตรของประจุแต่ในทางปฏิบัติแล้วเราไม่สามารถทราบค่าของสนามและการกระจายของประจุได้เสมอไป จากข้อมูลที่บรรยายถึงผิวที่มีศักย์เท่ากัน 2 ผิวสมมติว่ามีแผ่นตัวนำคู่ขนานกันสองแผ่นที่มีหนาตัดเป็นวงกลมมีศักย์ไฟฟ้าที่ตรงข้ามกันหากต้องการทราบค่าของการเก็บประจุของตัวนำทั้งสองหรือตัวแปรประจุและกระแสที่กระจายอยู่บนตัวนำนั้น ปริมาณเหล่านี้อาจหาได้จากสนามศักย์ไฟฟ้าและเป้าหมายหลักคือการหาวิธีที่ง่ายสำหรับการหาค่าความเข้มสนามไฟฟ้าจากศักย์ไฟฟ้าโดยตรง จากสมการความสัมพันธ์ทางการอินทิเกรตเชิงเดินของปริมาณทั้งสอง

$$V = - \int E dL$$

จะง่ายกว่าถ้าเราพิจารณาค่าในทางกลับกันโดยหา V จาก E



ภาพที่ 2.19 เวคเตอร์ความยาวที่เพิ่มขึ้นเป็น ΔL ทำมุน θ กับสนาม E

จากสมการอาจจะใช้ทิศทางของ ΔL ไปตามสนาม E ที่มีค่าคงที่ค่าหนึ่งซึ่งอาจจะเป็นผลให้เกิดความต่างศักย์ ΔV ในย่านความยาวนี้เป็น

$$\Delta V = -E\Delta L$$

เมื่อพิจารณาพื้นที่ในปริมาตรหนึ่งดังรูปชี้ทั้ง E และ V มีค่าเปลี่ยนไปเมื่อเลื่อนจากจุดหนึ่งไปยังอีกจุดหนึ่งจากสมการให้เลือกเวคเตอร์ของความยาว $\Delta L = \Delta La_L$ ที่สนามไฟฟ้า E มีค่าเพิ่มขึ้นในทิศทาง a_L ถูกดึงขึ้นด้วยขนาดของสนาม(เป็นการคูณแบบจุด)เพื่อหาค่าความต่างศักย์ระหว่างจุดตั้งต้นและจุดสุดท้ายของ ΔL ถ้าเราให้มุนระหว่าง ΔL กับ E มีค่าเป็น θ จะได้

$$\Delta V = -E\Delta L \cos \theta$$

หากสมมติว่าจุดอ้างอิงเริ่มต้นอยู่ที่ศูนย์และจุดปลายอยู่ที่ (x, y, z) เราทราบว่าผลการอินทิเกรตได้เป็นฟังก์ชันเดียวกันกับจุดปลาย (x, y, z) เพราะว่าสนาม E เป็นสนามอนุรักษ์ดังนั้น V จึงมีค่าเป็นฟังก์ชันของ (x, y, z) อย่างเดียวกัน เราจะได้

$$\frac{dV}{dL} = -E \cos \theta$$

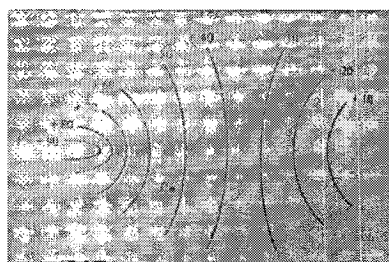
เราใส่ dL ในทิศทางใดเพื่อให้ได้ dV มีค่าสูงสุดและพึงระวังว่า E เป็นค่าที่เรากำหนดที่จุดที่เราทำงานอยู่โดยมีค่าขึ้นกับทิศของ dL แต่ขนาดของ dL เป็นค่าคงที่ ส่วนตัวแปรในที่นี้คือ a_L ซึ่งเป็นเวกเตอร์หนึ่งหน่วยของ dL จึงเห็นได้ว่าการเพิ่มค่าสูงสุดในทางบวกของศักย์ไฟฟ้า dV_{\max} จะเกิดขึ้นเมื่อ $\cos \theta$ เป็น -1 หรือที่จุด dL มีทิศทางตรงข้ามกับ E ซึ่งสามารถเขียนเงื่อนไขได้เป็น

$$\left. \frac{dV}{dL} \right|_{\max} = E$$

ซึ่งจะพบความสัมพันธ์ที่สำคัญ 2 ประการสำหรับ E กับ V ที่จุดใดๆ

1. ขนาดของความเข้มสนามไฟฟ้าหาได้จากอัตราการเปลี่ยนแปลงสูงสุดของศักย์ไฟฟ้าต่อระยะทาง
2. ขนาดสูงสุดนี้หาได้เมื่อระยะทางที่เพิ่มขึ้นมีทิศตรงข้ามกับทิศของ E หรือจากล่าวได้ว่าทิศของ E มีทิศตรงข้ามกับทิศของศักย์ไฟฟ้าที่มีค่าเพิ่มขึ้น

ความสัมพันธ์ของศักย์ไฟฟ้าแสดงดังรูป จากข้อมูลที่ได้ของสนามศักย์ไฟฟ้าคือเส้นหรือผิวสมศักย์ในสองมิติเราจะพิจารณาข้อมูลของความเข้มสนามไฟฟ้าที่จุด P โดยที่จุด P วางแนวการเพิ่มค่าระยะทางสั้นๆ dL ไปในทิศทางต่างๆ โดยเน้นเฉพาะแนวที่ศักย์มีค่าเปลี่ยนแปลงจากค่าที่ได้ศักย์มีค่าเพิ่มขึ้นไปในทิศทางด้านซ้ายและจากคุณสมบัติข้อ 2 ความเข้มสนามไฟฟ้าจะมีทิศจะมีทิศในทางตรงข้ามคือไปทางขวาเมื่อของจุด P ขนาดที่ได้จากการผลหารของศักย์ไฟฟ้าที่เปลี่ยนไปกับระยะทาง



ภาพที่ 2.20 สนามศักย์ไฟฟ้าที่แสดงโดยผิวสมศักย์ ที่จุดต่างๆ บนผิวสมศักย์

สนาณ E ตั้งจากกับผิวสมศักย์

ทิศทางที่ศักย์เพิ่มขึ้นนี้จะตั้งจากกับเส้นสมศักย์และจะเป็นจริงถ้าให้ ΔL วางบนแนวไปตามเส้นสมศักย์จะทำให้ $\Delta V = 0$ จากนิยามของผิวสมศักย์จะได้

$$\Delta V = -E \Delta L = 0$$

เนื่องจากไม่มีค่า E หรือ ΔL ที่เป็นศูนย์ดังนั้น E จะต้องตั้งจากกับ ΔL หรือตั้งจากกับผิวศักย์ไฟฟ้าที่เท่ากัน ดังนั้นจะต้องคำนวณหาข้อมูลของสนาณศักย์ไฟฟ้าก่อน และเมื่อจะพิจารณาทิศทางของ ΔL ที่ทำให้ศักย์ไฟฟ้ามีค่าเพิ่มขึ้นสูงสุด เทอมของสนาณศักย์ไฟฟ้าซึ่งเป็นไปได้มากกว่าเทอมของความเข้มสนาณไฟฟ้าดังนั้นจึงมีการใส่เวคเตอร์หน่วย a_N ซึ่งเป็นเวคเตอร์ที่ตั้งจากกับผิวสมศักย์ที่ชี้ตรงไปยังทิศทางที่มีศักย์ไฟฟ้าสูงกว่าความเข้มสนาณไฟฟ้าจึงเปลี่ยนในเทอมของศักย์ไฟฟ้าได้

$$E = \frac{dV}{dL} \Big|_{\max} a_N$$

แสดงว่าขนาดของ E ได้จากอัตราการเปลี่ยนแปลงต่อระยะทางสูงสุดของ V และทิศของ E เป็นทิศทางตั้งจากกับผิวสมศักย์(ในทิศที่ศักย์มีค่าลดลง) ดังนั้น $dV/dL|_{\max}$ จะเกิดขึ้นเมื่อ ΔL มีทิศทางเดียวกับ a_N เราอาจจะเขียนสมการนี้ได้เป็น

$$\frac{dV}{dL} \Big|_{\max} = \frac{dV}{dN}$$

$$E = \frac{dV}{dN} a_N$$

ซึ่งอธิบายความหมายทางฟิสิกส์เพื่อหาค่าความเข้มสนาณ E จากศักย์ไฟฟ้า กระบวนการหา V จาก E นี้ไม่มีความเป็นหนึ่ง(Unique) เพราะค่าทั้งสองไม่ได้เป็นชนิดเดียวกันแต่เนื่องจากว่าการหาความสัมพันธ์ระหว่างสนาณสเกลาร์กับสนาณเวคเตอร์นั้นสามารถใช้ได้กับการวิเคราะห์ทางเวคเตอร์ได้เสมอ การกระทำต่อ V เพื่อให้ได้ค่า $-E$ คือเกรเดียนต์(Gradient)โดยเกรเดียนต์ของสนาณสเกลาร์ T มีนิยามเป็น

$$\text{เกรเดียนต์ของ } T = \text{grad } T = \frac{dT}{dN} a_N$$

เมื่อ a_N คือเวคเตอร์หนึ่งที่ตั้งจากกับผิวสมศักย์ซึ่งมีการตั้งจากกับจุดที่เลือกในทิศทางที่ T มีค่าเพิ่มขึ้นด้วยการใช้เทอมใหม่นี้เราจึงเขียนความสัมพันธ์ระหว่าง V กับ E ได้เป็น

$$E = -\operatorname{grad} T$$

เนื่องจากเกยแสดงให้เห็นแล้วว่า V เป็นฟังก์ชันที่ແน่อนของ x, y, z จึงอาจใช้อนุพันธ์รวมได้เป็น

$$dV = \frac{\partial V}{\partial x} dx + \frac{\partial V}{\partial y} dy + \frac{\partial V}{\partial z} dz$$

แต่เราเคยมี

$$dV = -E_x dL = -E_x dx - E_y dy - E_z dz$$

ดังนั้นสมการทั้งสองจะเป็นจริงที่ทุกๆ ค่าของ dx, dy, dz

$$E_x = -\frac{\partial V}{\partial x}$$

$$E_y = -\frac{\partial V}{\partial y}$$

$$E_z = -\frac{\partial V}{\partial z}$$

เมื่อเอาผลลัพธ์นี้มารวมกันทางเวคเตอร์จะได้เป็น

$$E_z = -\left(\frac{\partial V}{\partial x} a_x + \frac{\partial V}{\partial y} a_y + \frac{\partial V}{\partial z} a_z \right)$$

เมื่อเปรียบเทียบสมการและจัดรูปใหม่จะได้เกรเดียนต์ของพิกัดจากเป็น

$$\operatorname{grad} V = \frac{\partial V}{\partial x} a_x + \frac{\partial V}{\partial y} a_y + \frac{\partial V}{\partial z} a_z$$

เกรเดียนต์ของสเกลาร์จะให้ค่าเป็นเวคเตอร์ ความสัมพันธ์ทางเกรเดียนต์เป็นคำอธิบายอย่างหนึ่งในทางพิสิกส์จากการแสดงให้เห็นว่าการเปลี่ยนแปลงตามระยะทางสูงสุดของปริมาณสเกลาร์และทิศทางที่ได้มีอค่าสูงสุดเกิดขึ้นนั้นก็เป็นธรรมชาติทางเวคเตอร์ของเกรเดียนต์เอง

2.2.16 โอเพอเรเตอร์เวคเตอร์

$$\nabla = \frac{\partial}{\partial x} a_x + \frac{\partial}{\partial y} a_y + \frac{\partial}{\partial z} a_z$$

เมื่อนำไปใส่เป็นโอบอเรเตอร์กระทำกับสเกลาร์ T เป็น ∇T จะได้

$$\nabla T = \frac{\partial T}{\partial x} a_x + \frac{\partial T}{\partial y} a_y + \frac{\partial T}{\partial z} a_z$$

เขียนได้เป็น $\nabla T = \text{grad } T$

ทำให้เขียนสมการระหว่าง E กับ V ได้เป็น

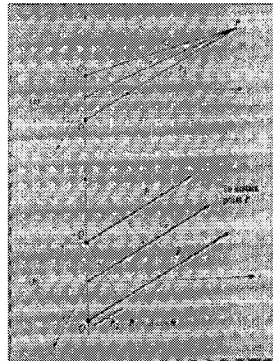
$$E = -\nabla V$$

นอกจากนี้เกรเดียนต์ยังสามารถเขียนได้ในเทอมของอนุพันธ์ย่อในระบบพิกัดอื่นๆ ทั้งพิกัดทรงกลมและพิกัดทรงกรวย

2.2.17 ไดโพล(Dipole)

สถานะเนื่องจากไดโพล เป็นสถานที่มีความสำคัญเนื่องจากเป็นพฤติกรรมพื้นฐานสำหรับสารไดอิเล็กทริกที่มีต่อสถานไฟฟ้า และได้มีการปรับให้เข้ากับวิธีการคำนวณโดยใช้วิธีภาพจำลองและได้นำจากการพิจารณาหลักการเรื่องของศักย์ไฟฟ้า ไดโพลไฟฟ้านั้นเป็นชื่อของระบุไฟฟ้าคู่หนึ่งที่มีขนาดเท่ากันแต่มีเครื่องหมายตรงกันข้ามว่างห่างกันด้วยระยะทางใกล้มากเมื่อเทียบกับระยะทางระหว่างประจุทั้งสองไปยังจุด P ที่เป็นจุดที่ต้องการหาค่าสถานะและศักย์ไฟฟ้าประจุไดโพลแสดงดังรูป ระยะห่างระหว่างประจุทั้งสองไปยังจุด P อธิบายได้โดยใช้หลักของระบบพิกัดทรงกลม r, θ และ $\phi = 90^\circ$ ซึ่งอยู่ในมุมมองที่สามารถแนวนอนประจุบวกและประจุลบทั้งสองมีระยะห่างต่อกัน d และมีพิกัดจากเป็น

$(0,0,d/2)$ และ $(0,0,-d/2)$ ตามลำดับ การจะหาความเข้มสถานไฟฟ้าโดยการรวมค่าของสถานที่ได้จากประจุที่ละประจุเข้าด้วยกันหรือหาค่าศักย์ไฟฟ้าก่อนเป็นอย่างแรกซึ่งจะง่ายกว่าวิธีแรก แต่ทั้ง 2 วิธีสามารถหาค่าหนึ่งจากอีกค่าหนึ่งได้



ภาพที่ 2.21 โครงสร้างของไดโอลไฟฟ้า ที่อยู่ในทิศ a , สำหรับระยะทางจากไดโอลไปยังจุด P

หากเลือกหาค่าสนาม E ก่อนเราจะเป็นต้องพิจารณา 2 ส่วนประกอบซึ่งอยู่ในระบบพิกัดทรงกลม(เพราะจากความสามารถทำให้ทราบว่า E_x มีค่าเป็นศูนย์) จักนั้นจะสามารถหาค่า V จาก E ด้วยการอินทิเกรตเชิงเส้นและในตอนสุดท้ายจะมีการกำหนดศักย์อ้างอิงศูนย์ด้วย เนื่องจากการอินทิเกรตเชิงเส้นสามารถหาได้จากผลพวงความต่างศักย์ที่จุด 2 จุดที่อยู่ที่ปลายของเส้นทางอินทิเกรตเท่านั้น ในอีกทางหนึ่งเราอาจจะเลือกคำนวณศักย์ไฟฟ้าก่อนซึ่งจะเป็นวิธีการที่ง่าย ที่เป็นเช่นนี้ก็เนื่องมาจากการหาศักย์ไฟฟ้าเป็นฟังก์ชันของตำแหน่งแต่ละจุดก่อน แล้วนำมารวมกันในเชิงสเกลาร์และเนื่องจากทิศทางของเวกเตอร์ E ที่ขึ้นกับตำแหน่งที่พิจารณานั้นจะคำนวณได้ง่ายโดยการใช้ค่าลบของเกรเดียนต์ V ซึ่งวิธีการนี้ทำได้ยากกว่าซึ่งจะให้ระยะจาก Q และ $-Q$ ไปยังจุด P ไปยัง R_1 และ R_2 ตามลำดับสามารถเขียนศักย์ไฟฟ้าได้เป็น

$$V = \frac{Q}{4\pi\epsilon_0} \left(\frac{1}{R_1} - \frac{1}{R_2} \right) = \frac{Q}{4\pi\epsilon_0} \frac{R_2 - R_1}{R_1 R_2}$$

จะสังเกตได้ว่าที่ระนาบ $z=0$ เป็นจุดกึ่งกลางระหว่างประจุหุ้งสองและเป็นจุดที่อยู่ในแนวซึ่ง $R_1 = R_2$ เสมอ ดังนั้นจึงมีศักย์ไฟฟ้ารวมเป็นศูนย์ที่ทุกๆ จุดตามแนวนี้จนถึงระยะอนันต์

สำหรับระยะซึ่งเป็นจุดที่ $R_1 = R_2$ และผลคูณของ $R_1 R_2$ ที่เป็นตัวหารอาจจะแทนได้ด้วย r^2 ซึ่งเหตุนี้ไม่อาจประมาณค่าได้เพื่อไม่ให้เกิดความผิดพลาดในคำตอบเมื่อศักย์ไฟฟ้าเข้าใกล้ศูนย์ขณะที่เราพิจารณาที่ระยะห่างไกลมากจากประจุไดโอลเมื่อพิจารณาจะเห็นว่า $R_1 - R_2$ อาจประมาณค่าอย่างง่ายๆ โดยให้ $R_1 R_2$ ขนาดกัน จะได้

$$R_1 - R_2 = d \cos \theta$$

จะได้ผลลัพธ์สุดท้ายเป็น

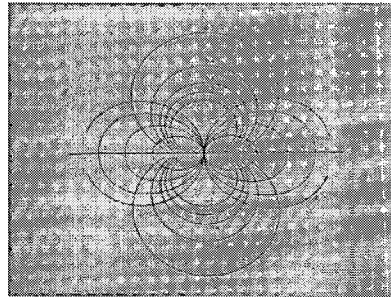
$$V = \frac{Qd \cos \theta}{4\pi\epsilon_0 r^2}$$

โปรดสังเกตอีกครั้งที่ระบบ $z=0(\theta=90^\circ)$ เป็นระบบที่มีศักย์เป็นศูนย์ โดยการใช้ความสัมพันธ์กรเดียนต์ในระบบพิกัดทรงกลม

$$E = -\nabla V = -\left(\frac{\partial V}{\partial r} a_r + \frac{1}{r} \frac{\partial V}{\partial \theta} a_\theta + \frac{1}{r \sin \theta} \frac{\partial V}{\partial \phi} a_\phi \right)$$

$$\text{จะได้ } E = -\left(\frac{Qd \cos \theta}{2\pi\epsilon_0 r^3} a_r - \frac{Qd \sin \theta}{4\pi\epsilon_0 r^3} a_\theta \right)$$

$$\text{หรือ } E = \frac{Qd}{4\pi\epsilon_0 r^3} (2\cos\theta a_r + \sin\theta a_\theta) \text{ ซึ่งเป็นสนามที่ระบะไดๆ จากไดโอล}$$



ภาพที่ 2.22 สนามไฟฟ้าสถิตของจุดไดโอลที่มีโมเมนต์อยู่ในทิศ a_z พร้อมกับผิวสมศักย์ 6 ค่า

สนามศักย์ไฟฟ้าที่จะนำไปวัดเป็นแบบร่างที่เลือกเฉพาะไดโอลที่มี $Qd/(4\pi\epsilon_0) = 1$ และจะได้ $\cos\theta = Vr^2$ เมื่อนำไปวัดเป็นเส้นดังรูปจะพบว่าแต่ละเส้นสองคลื่องกับเส้นสมศักย์สำหรับที่ $V = 0, +0.2, +0.4, +0.6, +0.8, +1$ แกนของไดโอลอยู่ในแนวตั้งซึ่งมีประจุบวกอยู่ด้านบน เส้นกระแสของสนามไฟฟ้าหาได้จาก

$$\frac{E_\theta}{E_r} = \frac{rd\theta}{dr} = \frac{\sin\theta}{2\cos\theta}$$

$$\text{หรือ } \frac{dr}{r} = 2\cot\theta d\theta$$

$$\text{จากนั้นจะได้ } r = C_1 \sin^2 \theta$$

เส้นกระแสในแนวอนในรูป นั้นคาดสำหรับค่า $C_1 = 1, 1.5, 2$ และ 2.5

สนาณศักย์ไฟฟ้าของไคโพลตามสมการอาจจะเขียนได้ง่ายขึ้น โดยการนิยามไคโพลโมเมนต์(dipole moment)ขึ้นมาใช้งานโดยในขั้นแรกการกำหนดเวคเตอร์ระยะห่างระหว่างประจุไคโพลมีทิศทาง จาก $-Q$ จนถึง $+Q$ เป็น d แล้วกำหนดให้ไคโพลโมเมนต์เป็น Qd โดยใช้สัญลักษณ์แทนด้วย p ดังนี้

$$p = Qd$$

หน่วยของ p คือ $C \cdot m$

เนื่องจากว่า $d \bar{a}_r = d \cos \theta$ จะได้

$$V = \frac{p \bar{a}_r}{4\pi\epsilon_0 r^2}$$

ผลลัพธ์ที่ได้อาจจะเขียนในรูปสมการทั่วไปได้เป็น

$$V = \frac{p \bar{a}_r}{4\pi\epsilon_0 |r - r'|^2} p \bar{a}_r \frac{r - r'}{|r - r'|}$$

เมื่อ r คือระยะห่างระหว่างจุด p ที่พิจารณาสนาณ และ r' คือระยะระหว่างจุดกึ่งกลางของไคโพล จาก สมการเป็นสมการที่ไม่เข้ากับระบบพิกัดใดๆ เมื่อไคโพลโมเมนต์ p นำมาใช้ในการพิจารณาอีกรอบใน สารไอดิเล็กตริก ทั้งไคโพลโมเมนต์และศักย์ไฟฟ้าจะไม่แปรตามค่า Q ที่เพิ่มขึ้นและ d ที่ลดลง เนื่องจากว่าเป็นผลคูณของประจุและระยะห่างระหว่างประจุ ทราบได้ที่ผลคูณนี้ยังเป็นค่าคงที่อยู่ ข้อจำกัด ของไคโพลแบบจุดคือเมื่อเราให้ระยะ d เข้าใกล้ศูนย์และขนาดของ Q เข้าใกล้ค่าอนันต์ เพราะว่าผลคูณ p ต้องเป็นค่าจำกัด

เมื่อย้อนกลับมาสนใจผลลัพธ์ของสนาณอีกรอบจะพบว่าสนาณศักย์ไฟฟ้าจะแปรผันกับ ระยะห่างไคโพลกำลังสอง ส่วนสนาณไฟฟ้าแปรผันกับระยะห่างจากไคโพลยกกำลังสาม สนาณทั้ง ส่องลดลงอย่างรวดเร็วเมื่อเปรียบเทียบกับสนาณที่ได้จากประจุแบบจุด แต่หากพิจารณาว่าประจุที่มี เครื่องหมายตรงกันข้ามวางแผนอยู่ใกล้กันมากถ้าพิจารณาระยะที่ห่างออกไปมากๆ จำนวนคล้ายกับว่าประจุ รวมมีค่าเป็นศูนย์คูลอมบ์ หากจัดให้มีประจุสมมาตรเป็นจำนวนมากจะทำให้สนาณแปรผันกับ ระยะทางยกกำลังสูงขึ้นไปเรื่อยๆ เรียกว่าการกระจายประจุแบบนี้ว่ามัลติโพล(Multipole)ซึ่งมีการคำนวณ ค่าประมาณโดยใช้อุปกรณ์สำหรับหาโครงสร้างประจุแบบนี้

2.2.18 สารไดอิเล็กต릭

เมื่อพิจารณาสารที่เป็นอนุวนหรือสารไดอิเล็กต릭(dielectrics) ซึ่งจะแตกต่างจากสารที่เป็นตัวนำในทางอุดมคติคือ ไม่มีประจุอิสระซึ่งสามารถเคลื่อนที่ได้ในเนื้อสารซึ่งจะทำให้เกิดกระแสเหนี่ยวนำ ดังนั้นประจุทั้งหมดจะถูกกักอยู่ในไมเลกุลหรือ โครงข่ายของ ไมเลกุลด้วยแรงคูลومบ์ดึงดันเมื่อใส่สนามไฟฟ้าเข้าไปในเนื้อสารจะทำให้ประจุเคลื่อนตัวหรือบิดตัวเพียงเล็กน้อยแต่ไม่เคลื่อนที่ออกนอกตำแหน่งปกติ ซึ่งจะสร้างเป็นชุดของโครงสร้าง ไดโพลไฟฟ้า(electric dipole) เกิดขึ้น สิ่งที่เกิดขึ้นนี้ สามารถอธิบายต่อไปถึงการวัดค่าความยินยอมทางไฟฟ้าสัมพัทธ์ (Relative Permeability) หรือค่าไดอิเล็กต릭 (Dielectric Constant) และเมื่อเกิดการแยกออกเป็นสองขั้วหรือโพลาไรเซชัน (Polarization) ของตัวกลางซึ่งจะทำให้เกิดการเปลี่ยนแปลงของสนามไฟฟ้าทั้งขนาดและทิศทางที่แตกต่างกันไปของชนิดสารไดอิเล็กต릭ที่ถูกกระตุ้นด้วยสนามไฟฟ้านั้น ค่าพารามิตอร์ที่ได้จะแตกต่างจากค่าที่วัดได้จากที่ว่างอิสระ นอกจากนั้นยังมีการสร้างเงื่อนไขของเขตต่างๆสำหรับสนามที่สัมผัสกันผิวที่บริเวณรอยต่อระหว่างสารไดอิเล็กต릭 2 ชนิดเพิ่มเติมเพื่อที่จะอธิบายความแตกต่างของสารเหล่านั้น

จากการเคลื่อนที่หรือการบิดตัวของประจุทำให้เกิดการสะสมพลังงานขึ้นและจากหลักการนี้ สามารถนำมาออกแบบสร้างตัวเก็บประจุ(Capacitor) และจากการตอบสนองของสารไดอิเล็กต릭 โดยเฉพาะอย่างยิ่งต่อสนามที่แปรตามเวลา ในคลื่นแม่เหล็กไฟฟ้ามีความสำคัญมากต่อการทำเข้าใจ ปรากฏการณ์ต่างๆทางพิสิกส์ ซึ่งจะนำไปสู่การพัฒนาเครื่องครื่องมือที่จะนำมาใช้ให้เกิดประโยชน์ต่อไป เนื่องจากสารส่วนใหญ่มีคุณสมบัติที่เป็นได้ทั้งไดอิเล็กต릭และตัวนำ ซึ่งแปลว่าสารไดอิเล็กต릭อาจจะมีความเป็นตัวนำแฟงอยู่เล็กน้อยและสารบางอย่างที่พิจารณาว่าเป็นตัวนำอาจจะมีคุณสมบัติของไดอิเล็กต릭แฟงอยู่ด้วยเช่นกันซึ่งจะมีประโยชน์ต่อการวิเคราะห์ปรากฏการณ์ที่เกิดขึ้นภายในเนื้อสารได้ จากการวิเคราะห์สารไดอิเล็กต릭สามารถนำไปสู่การพิจารณาตัวเก็บประจุโดยเฉพาะการหาค่าความจุไฟฟ้าจากโครงสร้างระหว่างตัวนำกับไดอิเล็กต릭

2.2.19 ธรรมชาติของสารไดอิเล็กต릭

เมื่อสารไดอิเล็กตريكอยู่ภายใต้สนามไฟฟ้าเราสามารถพิจารณาได้เช่นเดียวกันกับที่ว่างอิสระเมื่อมีการจัดเรียงตัวของไดโพลที่เล็กมาก ซึ่งเกิดจากประจุบวกและประจุลบของไดโพลที่ไม่เป็นระเบียบ เนื่องจากหากไม่มีประจุอิสระในเนื้อสารก็จะไม่สามารถเกิดการเหนี่ยวนำของกระแสเส้นมาได้ผลของ

กระแสไฟฟ้าภายนอกจะส่งผลกระทบต่อประจุที่ยึดเหนี่ยวกันทางอะตอมและโมเลกุล สามารถที่จะเคลื่อนที่ได้เล็กน้อย เรียกว่าเป็นประจุยึดเหนี่ยว (Bound Charge) ซึ่งมีค่าตรงข้ามกับประจุอิสระ ซึ่งสามารถนำมาคำนวณค่าความนำของสาร ประจุยึดเหนี่ยวจะทำตัวเป็นแหล่งจ่ายเสมือนที่จ่ายสนามไฟฟ้าสถิตได้ดังนั้นจึงจำเป็นจะต้องสนใจตัวแปรใหม่คือค่าคงที่โดยอิเล็กตริกหรือพิจารณาค่าความยินยอมไฟฟ้าจากกรณีของค่าความยินยอมไฟฟ้าในที่ว่างอิสระจากวิธีการที่ต่างออกไปเราสามารถนำໄไปใช้สร้างทดลองที่เกี่ยวข้องกับสาร โดยอิเล็กตริกโดยให้ความสำคัญกับโพลาไรเซชัน P ค่าความยินยอมไฟฟ้า ϵ และค่าความยินยอมไฟฟ้าสามพัทธ์ ϵ_r รวมทั้งการพัฒนาสมการความสัมพันธ์ระหว่างค่าเหล่านี้ สารโดยอิเล็กตริกทั้งหมดมีคุณสมบัติเป็นคุณสมบัติร่วมไม่ว่าจะเป็นสารที่มีสถานะของแข็ง กาชาดลึก คุณสมบัติเหล่านี้คือความสามารถในการเก็บพลังงานไฟฟ้า การเก็บพลังงานไฟฟ้านี้จะหมายถึง การเคลื่อนตำแหน่งภายในที่ประจุยึดเหนี่ยวกันที่ควบคุมอยู่นี้เปรียบเสมือนการยึดตัวของสนับริงเพื่อต้านพลังงานศักย์ แหล่งจ่ายพลังงานนี้คือสนามไฟฟ้าจากภายนอก ส่วนการเคลื่อนที่ของประจุเพียงเล็กน้อยนี้อาจจะเกิดขึ้นจากการกระแสที่กระชากจากแบตเตอรี่ซึ่งเป็นตัวกลางตัวสร้างสนาม กลไกที่ทำให้ประจุเคลื่อนที่จะแตกต่างกันไปตามความแตกต่างของสาร โดยอิเล็กตริกบางโมเลกุลที่อยู่ในเทอมของโมเลกุลแบบมีข้าวอาจจะมีการเคลื่อนตัวอย่างถาวรระหว่างศูนย์กลางแรงโน้มถ่วงของประจุบวกและลบจากนั้นประจุแต่ละคู่จะทำตัวเป็นไดโอลปรกติไดโอลจะจัดเรียงตัวกันอย่างอิสระในทิศทางที่ไม่เป็นระเบียบตลอดทั่วทั้งภายในเนื้อสารและจะมีการจัดเรียงโมเลกุลตามสนามที่จ่ายมาจากภายนอกในทิศทางเดียวกัน สนามที่มีความเข้มมากจะทำให้เกิดการเคลื่อนของประจุบวกและประจุลบมากขึ้น เมื่อโมเลกุลที่ไม่มีข้าว (non-polar molecule) จะไม่มีการจัดเรียงกันเป็นไดโอลจนกว่าจะมีการใส่สนามไฟฟ้าเข้าไปประจุทั่งบวกและลบจะเคลื่อนไปในทิศทางตรงกันข้ามตามทิศทางที่ส่วนกับการเหนี่ยวนำโดยสนามภายนอกนั้นและทำให้เกิดไดโอลขึ้นซึ่งจะจัดเรียงกันไปตามสนามไฟฟ้า ไดโอลชนิดต่างๆสามารถอธิบายได้ด้วยไดโอลโมเมนต์ (Dipole moment) p ที่ได้กำหนดขึ้นมาจากการ $p = Qd$

เมื่อ Q คือขนาดของประจุบวกในคู่ประจุที่จับกันเป็นไดโอล และ d คือเวคเตอร์ของระยะระหว่างประจุลบและประจุบวกซึ่ง p มีหน่วยเป็นคลอเมบ์-เมตร

หากพิจารณาปริมาตรในหนึ่งหน่วยมีจำนวนไดโอลอยู่ n ไดโอลจะพบว่าภายในปริมาตร ΔV มีจำนวนไดโอลทั้งหมด $n\Delta V$ ไดโอล ไดโอลโมเมนต์ทั้งหมดที่ได้เป็นผลรวมทางเวคเตอร์ดังนี้

$p_{total} = \sum_{i=1}^{n\Delta\nu} p_i$ ถ้าได้โพลทั้งหมดคุยกับเรียงอยู่ในทิศทางเดียวกัน p_{total} จะมีค่าขึ้นอยู่กับปริมาตรที่พิจารณาอย่างไรก็ตามในการจัดเรียงแบบไม่เป็นระเบียบก็ยังคงเป็นผลทำให้ p_{total} มีค่ารวมเป็นศูนย์ จากนิยามของโพลาไรเซชัน(Polarization) คือจำนวนไคลโพรโนเมนต์ต่อหนึ่งหน่วยปริมาตร

$$p = \lim_{\Delta\nu \rightarrow 0} \frac{1}{\Delta\nu} \sum_{i=1}^{n\Delta\nu} p_i$$

มีหน่วยเป็นคูลอมบ์ต่อตารางเมตร เมื่อให้ p เป็นสมือนสาระแบบสมำเสมอแม้ว่า p จะเป็นส่วนประกอบที่ไม่สามารถระบุออกมาก่อนย่างชัดเจน ณ จุดใดจุดหนึ่งภายในอะตอมหรือโมเลกุลใดๆ ก็ตาม ควรทำความเข้าใจว่าค่าของมันเป็นค่าเฉลี่ยในปริมาตรที่สุมขึ้นมาปริมาตรหนึ่งโดยให้เป็น $\Delta\nu$ ที่มีขนาดใหญ่เพียงพอสำหรับการเป็นที่อยู่ของโมเลกุลจำนวนหนึ่งและมีขนาดเล็กพอที่จะไม่ทำให้เกิดการเปลี่ยนแปลงค่าภายในปริมาตรนั้นได้ ในการแสดงถึงความหนาแน่นประจุยืดเห็นี่ยว่าในปริมาตรหนึ่งพิจารณาเช่นเดียวกับความหนาแน่นประจุอิสระภายในปริมาตรหนึ่งที่เป็นแหล่งกำเนิดของสารภายใน ภายนอกทำให้ได้ผลลัพธ์เช่นเดียวกับกับกฎของเก้าส์พิจารณาเช่นเดียวกับความหนาแน่นประจุอิสระภายในปริมาตรหนึ่งที่เป็นแหล่งกำเนิดของสารภายใน ภายนอกทำให้ได้ผลลัพธ์เช่นเดียวกับกับกฎของเก้าส์ การพิจารณาเช่นนี้จะต้องกำหนดให้ได้อิเล็กตริกมีโมเลกุลที่ไม่มีการเรียงข้าวไม่มีโมเลกุลใดที่มีไคลโพรโนเมนต์และโพลาไรเซชันมีค่าเท่ากับศูนย์ตลอดทั้งก้อนเนื้อสาร บริเวณใดๆ ในก้อนไคลอเล็กตริกเมื่อเลือกพื้นที่ผิวเล็กๆ ซึ่งกำหนดให้เป็น ΔS และใส่สารตามไฟฟ้า E เข้าไปสารตามไฟฟ้านี้จะทำให้เกิดไคลโพรโนเมนต์ $P = Qd$ ในแต่ละโมเลกุลโดยที่ทั้ง p และ d ทำมุม θ กับผิว ΔS จากนั้นจะพิจารณา การขยายส่วนที่มีการเคลื่อนที่ของประจุยืดเห็นี่ยว่าที่อยู่ระหว่างผิว ΔS แต่ละประจุเป็นส่วนประกอบที่ได้จากโครงสร้างของไคลโพรโนเมนต์ที่ด้วยระยะทาง $1/2d \cos\theta$ ในทิศทางตั้งฉากกับผิว ดังนั้น ประจุบวกได้ๆ มีตำแหน่งเริ่มต้นที่ขึ้นได้ผิว ΔS และเคลื่อนที่ขึ้นไปอยู่ภายในระยะ $1/2d \cos\theta$ ของผิวที่หน้าตัด ΔS ที่มีค่าเพิ่มขึ้น และประจุลบก็จะมีตำแหน่งเริ่มต้นที่ขึ้นเหนือผิว ΔS และเคลื่อนที่ลงไปอยู่ภายในระยะ $1/2d \cos\theta$ จากผิว ΔS ที่พื้นที่หน้าตัด ΔS มีค่าลดลงเนื่องจากว่ามีจำนวน n โมเลกุลต่อปริมาตรจึงทำให้จำนวนประจุทั้งหมดที่หน้าตัดของผิวค้านบนมีค่าเท่ากับ $nQd \cos\theta \Delta S$ หรือ $\Delta Q_b = nQd \Delta S$ เมื่อ Q_b เป็นตัวบ่งบอกว่ามันคือประจุยืดเห็นี่ยว่าซึ่งไม่ใช่ประจุอิสระเราจึงหาค่าในเทอนของโพลาไรเซชันได้เป็น $\Delta Q_b = P \cdot \Delta S$ ความหมายของ ΔS เป็นปริมาณแคร์เตอร์ของผิวปีกภายในสารไคลอเล็กตริกแล้ว ΔS จะมีทิศทางผูกออกและมีประจุที่เป็นประจุยืดเห็นี่ยร่วมที่เพิ่มขึ้นในผิวปีกนี้หากจากการอินทิเกรตภายในผิวปีกนั้น

$$Q_b = - \iint_s P.dS$$

จากสมการข้างต้นเราสามารถสร้างนิยามของความหนาแน่นพลังซึ่งมามาใหม่เพื่อนำไปใช้กับตัวกล่างต่างๆที่ไม่ใช่ที่ว่างอิสระ สามารถเริ่มจากการเขียนกฎของเก้าส์ในเทอมของ $\varepsilon_0 E$ และ Q_r ซึ่งเป็นประจุทึ้งหมดที่รวมทั้งประจุบีดเหนี่ยวและประจุอิสระที่อยู่ภายนอกได้เป็น $Q_r = \iint_s \varepsilon_0 E.dS$ เมื่อ $Q_r = Q_b + Q$

และ Q คือประจุอิสระรวมภายในผิวปิด S และเมื่อร่วมเอาสมการ 3 สมการข้างต้นเข้าด้วยกันจะได้สมการสำหรับประจุอิสระภายในผิวปิดนั้นได้เป็น

$$Q_r = Q_b + Q = \iint_s \varepsilon_0 (E + P).dS$$

เราสามารถกำหนดให้ D อยู่ในเทอมทั่วไปได้เป็น

$$D = \varepsilon_0 E + P$$

เมื่อนำเทอม D รวมกับสมการที่ใช้กับสารที่มีปรากฏการณ์โพลาไรซ์ เช่นภายในจะได้สมการเป็น

$$Q = \iint_s D.dS$$

เมื่อ Q เป็นประจุอิสระที่อยู่ภายนอก และหากแยกความหนาแน่นของประจุชนิดต่างๆในปริมาตรที่พิจารณาได้

$$Q_b = \int_v \rho_b d\nu$$

$$Q = \int_v \rho_v d\nu$$

$$Q_r = \int_v \rho_r d\nu$$

จากทฤษฎีไคเวอร์เจนซ์สามารถสร้างสมการข้างต้นให้อยู่ในรูปแบบสมการความสัมพันธ์ทางไคเวอร์เจนซ์ได้เป็น

$$\Delta P = -\rho_b$$

$$\Delta \cdot \varepsilon_0 E = -\rho_r$$

$$\Delta D = \rho_v$$

การนำสมการไปใช้งานจำเป็นจะต้องทราบถึงความสัมพันธ์ของความเข้มสนามไฟฟ้า E และโพลาไรเซชั่น P เสียก่อนซึ่งในความสัมพันธ์นี้ต้องเป็นฟังค์ชั่นของชนิดเนื้อสารแต่จะจำกัดการวิเคราะห์ให้อยู่ในกลุ่มของสารพากไอโซโทรปิก(isotropic)หรือพากที่มีคุณสมบัติเหมือนกันทุกทิศทางซึ่งเป็นสารพากที่มี E และ P ขึ้นแก่กันอย่างเชิงเส้นในสารไอโซโทรปิกนี้เวคเตอร์ของ E และ P จะขนานกันไปเสมอซึ่งเป็นไปตามการจัดทิศทางของสนามเอง ในการใช้งานนั้นนิยมใช้สารไดอิเล็กตริกที่เป็นเชิงเส้น การใส่สนามที่มีความเข้มพอประมาณจึงมีคุณสมบัติเป็นทิศทางเดียวแต่สารโครงผลึกเดียวอาจจะเป็นสารแอนไอโซโทรปิก(anisotropic)หรือมีคุณสมบัติขึ้นกับทิศทางเนื่องจากโครงสร้างของสารจะมีโครงสร้างที่ซ้ำกันเป็นช่วงๆ ในเนื้อสาร ซึ่งเป็นผลให้ได้โพลิโนเมนต์จัดเรียงตัวกันตามแกนของผลึกได้ยากกว่าแต่อาจจะไม่เรียงกันตามทิศทางของสนามที่ใส่เข้าไปก็ได้ สารพากเฟโรอิเล็กตริก(Ferroelectric) หรือสารที่จ่ายสนามไฟฟ้าได้ลงในตัวนั้นมีความสัมพันธ์ระหว่าง E กับ P ไม่เพียงแต่จะเป็นเชิงเส้นเท่านั้นแต่ยังมีปรากฏการณ์ไฮสเตเรซิส(Hysteresis)ซึ่งโพลาไรเซชั่นที่เกิดขึ้นจากความเข้มสนามไฟฟ้าที่ใส่เข้าไปจะขึ้นกับค่าคงที่คงที่อยู่ภายใต้แรงดึงดูดในสารนั้นด้วย ความสัมพันธ์เชิงเส้นระหว่าง E และ P คือ

$$P = \chi_e \varepsilon_0 E$$

เมื่อ χ_e เป็นปริมาณที่ไม่มีหน่วยเรียกว่า อิเล็กตริกซัลเชนบิลิตี้(Electric susceptibility)หรือสภาพความไฟฟ้าของสาร เมื่อปรับรูปสมการและหาความสัมพันธ์จะได้

$$D = \varepsilon_0 E + \chi_e \varepsilon_0 E = (\chi_e + 1) \varepsilon_0 E$$

$$\varepsilon_r = \chi_e + 1$$

เป็นปริมาณอีกค่าหนึ่งที่ไม่มีหน่วยเรียกว่าค่าความยินยอมไฟฟ้าสัมพัทธ์(Relative permittivity) หรือค่าคงที่ไอดิอิเล็กตริกของสาร(Dielectric constant)ของเนื้อสาร ดังนั้นจะได้

$$D = \varepsilon_0 \varepsilon_r E = \varepsilon E \quad \text{เมื่อ } \varepsilon = \varepsilon_0 \varepsilon_r$$

เมื่อ ε คือค่าความยินยอมไฟฟ้า(Permittivity) ของสาร

สารไดอิเล็กตริกที่ไม่ใช่สารเนื้อเดียวไม่สามารถเปลี่ยนบรรยากาศในท่อของสภาพความไฟฟ้าหรือความยินยอมทางไฟฟ้าอย่างง่ายได้เราพบว่าแต่ละส่วนประกอบของ D เป็นฟังค์ชั่นของทุกส่วนประกอบ

ของ E และ D ซึ่งมีค่าเท่ากับ ϵE ซึ่งมีลักษณะเป็นสมการของเมตริกซ์ ซึ่งแต่ละส่วนประกอบของ D และ E เป็นเมตริกซ์ที่มีขนาด 3×1 และ ϵ เป็นเมตริกซ์จักรัสขนาด 3×3

$$D_x = \epsilon_{xx}E_x + \epsilon_{xy}E_y + \epsilon_{xz}E_z$$

$$D_y = \epsilon_{yx}E_x + \epsilon_{yy}E_y + \epsilon_{yz}E_z$$

$$D_z = \epsilon_{zx}E_x + \epsilon_{zy}E_y + \epsilon_{zz}E_z$$

แต่ละส่วนของเมตริกซ์จะขึ้นอยู่กับการเลือกแนวแกนของพิกัดในสารที่ไม่ใช่เนื้อเดียวการเลือกแกนที่แน่นอนจะทำให้ได้เมตริกซ์อย่างง่ายอันหนึ่ง

เนื่องจาก D และ E และ P อาจจะไม่บานานกันเสมอไปถึงแม้ว่า $D = \epsilon_0 E + P$ จะเป็นสมการที่ใช้กับสารที่ไม่เป็นเนื้อเดียวกันตามเราจะยังคงใช้ $D = \epsilon_0 E$ เท่านั้น โดยแปรความหมายสมการให้เป็นแบบสมการเมตริกซ์

และจะเน้นไปที่สารเนื้อเดียวแบบเชิงเส้นเท่านั้น หากพิจารณาค่าความหนาแน่นฟลักซ์ไฟฟ้าซึ่งมีค่าขึ้นอยู่กับประจุอิสระถึงแม้ว่าจะเป็นความสัมพันธ์แบบจุดหรือแบบอินทิกรัลก็ตาม จากกฎของเกาส์

$$\nabla \cdot D = \rho_v$$

$$\oint D \cdot dS = Q$$

2.2.20 เงื่อนไขขอบเขตที่รอยต่อสำหรับสารไดอิเล็กทริกสมบูรณ์(Boundary Condition for Perfect Dielectric Material)

ในการวิเคราะห์สารไดอิเล็กทริกสองชนิดที่ต่างกันที่วางติดกันหรือสารไดอิเล็กทริกกับตัวนำ ในกรณีของสารไดอิเล็กทริกกับตัวนำสำหรับเงื่อนไขขอบเขต(Boundary Condition) ในบริเวณพื้นผิว ด้านหน้าของตัวนำซึ่งมีสนามในแนวนานา กับผิวมีค่าเป็นศูนย์ ความหนาแน่นฟลักซ์ในทิศทางตั้งฉากมีค่าเท่ากับประจุที่ผิวตัวนำนั้น การหาค่าตอบสนองสามารถพิจารณาจากพฤติกรรมของสนามที่ผิวสัมผัสของสารไดอิเล็กทริก เมื่อพิจารณาผิวสัมผัสระหว่างไดอิเล็กทริกสองชนิดที่มีค่าความยินยอมทางไฟฟ้าเป็น

ε_1 และ ε_2 ในบริเวณของสารชนิดแรกและสารชนิดที่สองตามลำดับเมื่อพิจารณาตามรูป จะได้ส่วนประกอบในแนวโน้มเป็น

$$\int E \cdot dL = 0$$

เมื่อวนรอบเส้นทางปิดเด็กๆ ทางด้านซ้ายของรูปจะได้ผลลัพธ์เป็น

$$E_{\tan 1} \Delta w - E_{\tan 2} \Delta w = 0$$

ส่วนของเส้นทางย่อยที่อินทิกรัลเชิงเส้นมีส่วนประกอบ E ในแนวตั้งจากตามทิศ Δh เราจะไม่พิจารณา เพราะ Δh มีค่าเข้าใกล้ศูนย์และเนื่องจากเส้นทางปิดนี้ครอบคลุมเฉพาะบริเวณที่ผิวสัมผัสเท่านั้น ทำให้ได้สมการเป็น

$$E_{\tan 1} = E_{\tan 2}$$

จากกฎแรงดันไฟฟ้าของเคอร์ชอฟฟ์จะสรุปได้ว่าความต่างศักย์ระหว่างจุดสองจุดที่ผิวสัมผัสที่ห่างกัน คือระยะทาง Δw มีค่าเท่ากันทั้งหนึ่งอันดับ ผิวสัมผัสและใต้ผิวสัมผัสของรอยต่อ ถ้าความเข้มสนามไฟฟ้าในแนวโน้มมีความต่อเนื่องเมื่อข้ามผิวรอยต่อแล้ว D ในแนวโน้มจะไม่ต่อเนื่อง เพราะ

$$\frac{D_{\tan 1}}{\varepsilon_1} = E_{\tan 1} = E_{\tan 2} = \frac{D_{\tan 2}}{\varepsilon_2}$$

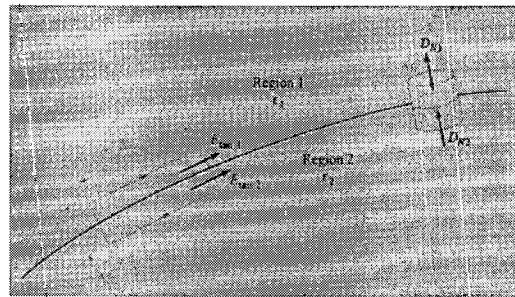
$$\frac{D_{\tan 1}}{D_{\tan 2}} = \frac{\varepsilon_1}{\varepsilon_2}$$

เนื่องจากแรงดันไฟฟ้าในด้านขวาของผิวสัมผัสโดยไห้แต่ละด้านของกล่องมีขนาดเล็กมาก โดยมีฟลักซ์ไฟฟ้าเท่ากันด้านบนและด้านล่างของกล่องมีค่าผลต่างเป็น

$$D_{N1} \Delta S - D_{N2} \Delta S = \Delta Q = \rho_s \Delta S$$

จากนั้นจะได้

$$D_{N1} - D_{N2} = \rho_s$$



ภาพที่ 2.23 ผิวสัมผัสที่อยู่ต่อระหว่างสาร ไดอิเล็กตริกสมบูรณ์ 2 ชนิดที่มีค่าความยินยอมไฟฟ้า ϵ_1, ϵ_2

เราจะไม่พิจารณาความหนาแน่นประจุที่พิวเพราระ ได้กำหนดให้โลลาไรด์ เช่นนี้ของสาร ไดอิเล็กตริกที่ได้รับผลมาจากการเปลี่ยนค่าคงที่ไดอิเล็กตริกดังนั้นจึงพิจารณาค่าคงที่ไดอิเล็กตริกแทนการพิจารณาประจุขึ้นโดยผลที่ได้จึงเปรียบเสมือนไม่มีประจุที่พิว และไม่มีประจุอิสระที่พิวของไดอิเล็กตริกสมบูรณ์ประจุที่ว่านี้จะเกิดขึ้นได้เมื่อมีการใส่ประจุเพิ่มเข้าไปดังนั้นจะเกิดความไม่สมดุลของประจุรวมขึ้นภายในสาร ไดอิเล็กตริกเราจึงสามารถสมมติให้ ρ_s มีค่าเป็นศูนย์ที่ผิวสัมผัส ได้ซึ่งจะเป็นข้อยกเว้นพิเศษในการพิจารณาครั้นี้เท่านั้น และจะได้

$$D_{N1} = D_{N2}$$

ในส่วนประกอบของ D มีความต่อเนื่องในแนวตั้งจากผลที่ได้คือ

$$\epsilon E_{N1} = \epsilon E_{N2}$$

และจะพบว่าส่วนประกอบของ E ในแนวตั้งจากมีความไม่ต่อเนื่อง จากเงื่อนไขดังกล่าวเมื่อนำมาพิจารณาร่วมกันจะแสดงให้เห็นการเปลี่ยนแปลงของเวกเตอร์ D และ E ที่ผิวสัมผัส ถ้าให้ D_1 (และ E_1) วางทำมุม θ_1 กับเส้นตั้งฉากของระนาบผิวสัมผัสดังในรูปเนื่องจากส่วนประกอบของ D ในแนวตั้งจากมีความต่อเนื่อง

$$D_{N1} = D_1 \cos \theta_1 = D_2 \cos \theta_2 = D_{N2}$$

อัตราส่วนของส่วนประกอบในแนวนานาในสมการจะมีค่าเป็น

$$\frac{D_{\tan 1}}{D_{\tan 2}} = \frac{D \sin \theta_1}{D \sin \theta_2} = \frac{\epsilon_1}{\epsilon_2}$$

หรือ

$$\epsilon_2 D_1 \sin \theta_1 = \epsilon_1 D_2 \sin \theta_2$$

หารและจัดรูปสมการจะได้

$$\frac{\tan \theta_1}{\tan \theta_2} = \frac{\varepsilon_1}{\varepsilon_2}$$

จากสมการหากสมมติให้ $\varepsilon_1 > \varepsilon$ เพราะฉะนั้น $\theta_1 > \theta_2$

ทิศทางของ E บนแต่ละด้านของผิวสัมผัสจะมีทิศทางเดียวกันกับ D เพราะว่า $D = \varepsilon E$ ขนาดของ D ในบริเวณที่สองอาจจะหาได้โดยตรงจากสมการ

$$D_2 = D_1 \sqrt{\cos^2 \theta_1 + \left(\frac{\varepsilon_2}{\varepsilon_1}\right)^2 \sin^2 \theta_1}$$

และขนาดของ E_2 จะเป็น

$$E_2 = D_1 \sqrt{\sin^2 \theta_1 + \left(\frac{\varepsilon_2}{\varepsilon_1}\right)^2 \cos^2 \theta_1}$$

จากการวิเคราะห์สมการแสดงว่า D มีค่ามากกว่าในบริเวณที่มีค่าขินยอมทางไฟฟ้าสูงกว่า(ยกเว้นในกรณีที่ $\theta_1 = \theta_2 = 0^\circ$ ซึ่งขนาดจะไม่มีการเปลี่ยนแปลง) และ E มีค่าสูงกว่าในบริเวณที่มีค่าความขินยอมไฟฟ้าต่ำกว่า(ยกเว้นในกรณีที่ $\theta_1 = \theta_2 = 90^\circ$ ซึ่งขนาดจะไม่มีการเปลี่ยนแปลง) จากเงื่อนไขรอยต่อสมการความสัมพันธ์ของขนาดและทิศทางทำให้เราสามารถหาสถานที่รอยต่อด้านใดด้านหนึ่งได้ถ้าหากทราบสถานที่รอยต่ออีกด้านหนึ่ง เงื่อนไขที่ผิวสัมผัสรอยต่อของสารได้อิเล็กตริกเป็นเงื่อนไขที่ง่ายเริ่มจากการที่เราทราบ D และ E เป็นคุณย์ทึ้งคู่ภายในตัวนำและพบว่าส่วนประกอบขนาดของทึ้ง E และ D จะต้องเป็นคุณย์ค่วยทึ้งคู่ของสมการ

$$\oint E \cdot dL = 0 \quad \text{และ} \quad D = \varepsilon E$$

จากกฎของเกาส์

$$\iint_s E \cdot dS = Q$$

ทำให้ทราบว่าทึ้ง E และ D ตึ้งจากกันผิวตัวนำแล้ว $D_N = \rho_s$ และ $E_N = \rho_s / \varepsilon$ เราจะเห็นว่าเงื่อนไขรอยต่อที่ได้พัฒนามาจากเงื่อนไขที่ແล็วสามารถนำมาพิจารณาใช้กับรอยต่อของตัวนำมีว่างอิสระสอดคล้องกับเงื่อนไขสำหรับรอยต่อของตัวนำได้อิเล็กตริกค่วยโดยแทนค่า ε_0 ค่วย ε ดังนั้น

$$D_t = E_t = 0$$

$$D_N = \varepsilon E_N = \rho_s$$

การเปลี่ยนแปลงภายในตัวนำและที่ผิวตัวนำมีประจุที่ผิวได้อย่างไร จากกฎของโอล์ม

$$J = \sigma E$$

และจากสมการความต่อเนื่องของกระแส

$$\nabla \cdot J = -\frac{\partial \rho_v}{\partial t}$$

เนื่องจากทั้ง J และ ρ_v ต่างก็เป็นปริมาณที่ประกอบด้วยประจุอิสระ เราจะได้

$$\nabla \cdot \sigma E = -\frac{\partial \rho_v}{\partial t}$$

หรือ

$$\nabla \cdot \frac{\sigma}{\varepsilon} D = -\frac{\partial \rho_v}{\partial t}$$

เมื่อพิจารณาตัวกลางเป็นสารเนื้อเดียวกันนั่นทั้ง σ และ ε จะไม่เป็นพิษค์ชั้นของตำแหน่งที่วิเคราะห์

$$\nabla \cdot D = -\frac{\varepsilon}{\sigma} \frac{\partial \rho_v}{\partial t}$$

เมื่อนำสมการของแมกซ์เวลล์มาช่วยพิจารณาจะได้ว่า

$$\rho_v = -\frac{\varepsilon}{\sigma} \frac{\partial \rho_v}{\partial t}$$

สมมติ σ ไม่เป็นพิษค์ชั้นของ ρ_v แต่ในความเป็นจริงแล้ว σ แปรตามทั้ง ρ_v และความสามารถในการเคลื่อนที่ (Mobility) ของมันแต่เราจะสมมติให้สมการมีความง่ายขึ้น เมื่ออินทิเกรตโดยตรงจะได้

$$\rho_v = \rho_0 e^{-(\sigma/\varepsilon)t}$$

เมื่อ ρ_0 คือความหนาแน่นของประจุที่เวลา $t=0$ สมการนี้แสดงถึงการลดลงของความหนาแน่นของประจุแบบэкซ์โพเนนเชียลทุกขณะที่เวลาเปลี่ยนไปด้วยค่าเวลาคงตัวเป็น σ/ε ซึ่งมักจะเรียกว่าเวลาในการผ่อนคลายประจุ (Relaxation time) ซึ่งสามารถคำนวณเพื่อพิจารณาว่าวัสดุเป็นตัวนำที่ดี ดีหรือชนิดเลวๆ การลดลงอย่างรวดเร็วของประจุในวัสดุเป็นตัวบ่งชี้ว่าวัสดุเป็นตัวนำที่ดี และความหนาแน่นประจุจะมีค่าเป็นศูนย์ภายในตัวนำที่ดี

สารที่นำมาใช้ทางพิสิกส์นั้นจะไม่มีสาร ไดอิเล็กตริกชนิดใดเลยที่ปราศจากประจุอิเล็กทรอนิกส์ ทั้งหมด มีค่าความนำที่ไม่เป็นศูนย์และประจุที่อยู่ภายในตัวกลางเหล่านั้นจะเคลื่อนที่ออกมาที่ผิวในที่สุด

2.2.21 ค่าความจุไฟฟ้า

เมื่อพิจารณาตัวนำสองแผ่นภายในที่ว่างระหว่างตัวนำทั้งสองมีสาร ไดอิเล็กตริกเนื้อดีயูบอร์จูอยู่ (ดังรูป) ตัวนำ M_2 ใส่ประจุไว้ด้วย Q และตัวนำ M_1 ก็ใส่ประจุตรงข้ามที่มีจำนวนเท่ากันลงไปด้วยไม่มีประจุอื่นนอกจากนี้ จะพบว่าประจุรวมทั้งหมดมีค่าเป็นศูนย์ เนื่องจากประจุจะกระจายอยู่บนผิwtนำ เป็นความหนาแน่นประจุที่ผิวและสนามไฟฟ้าจะมีทิศตั้งฉากกับผิwtนำเสมอตัวนำแต่ละด้านจะเป็นผิวสมศักย์เนื่องจาก M_1 เป็นประจุบวก ดังนั้นฟลักซ์ไฟฟ้าจึงมีทิศชี้จาก M_2 ไปยัง M_1 และ M_2 มีศักย์เป็นบวกมากกว่าด้วยด้วยงานที่ได้เป็นการเคลื่อนประจุจาก M_1 ไปยัง M_2 และเมื่อกำหนดให้ความต่างศักย์ระหว่าง M_2 และ M_1 เป็น V_0 เราจะนิยามให้ค่าการเก็บประจุหรือความจุไฟฟ้าฟ้า (Capacitance) ของระบบตัวนำไฟฟ้าทั้งสองเป็นอัตราส่วนระหว่างขนาดของประจุรวมบนตัวนำแต่ละตัวนำกับความต่างศักย์ระหว่างตัวนำทั้งสองนี้เป็น

$$C = \frac{Q}{V_0}$$

เมื่อคำนวณค่า Q จากอินทิกรัลเชิงผิวของตัวนำประจุบวกและห้าค่า V_0 โดยการเคลื่อนประจุบวกหนึ่งหน่วยจากผิwtนำตัวนำลบไปยังตัวนำบวกสามารถนำเอาสมการมาเขียนในเทอมของอินทิกรัลได้เป็น

$$C = \frac{\int \varepsilon E \cdot dS}{-\int E \cdot dL}$$

ค่าความจุไฟฟ้าจะไม่ขึ้นกับศักย์และประจุรวมเมื่ออัตราส่วนของค่าทั้งสองเป็นค่าคงที่ ถ้าค่าความหนาแน่นประจุมีค่าเพิ่มขึ้นตามแฟคเตอร์ N แล้วกฎของเก้าส์จะชี้ให้เห็นว่าความหนาแน่นฟลักซ์หรือความเข้มสนามไฟฟ้าก็มีค่าเพิ่มขึ้นตาม N ไปด้วยในขณะที่ค่าความต่างศักย์ก็เป็นเช่นเดียวกัน ค่าความจุไฟฟ้าเป็นฟังก์ชันของเพียงขนาดและรูปทรงกายภาพของระบบตัวนำและค่าความยินยอมทางไฟฟ้าของสาร ไดอิเล็กตริกชนิดเนื้อดีယูเท่านั้น ค่าความจุไฟฟ้าจะนิยมวัดกันในหน่วยฟารัด (Farad, F) โดยที่ฟารัดนิยามมาจากหน่วยคูลومบ์โดยทั่วไปแล้วค่าความจุไฟฟ้ามักมีค่าเป็นปริมาณที่เล็กมากของหน่วยฟารัด

ดังนั้นค่าที่ใช้งานจริงมักอยู่ในช่วงของหน่วยไมโครฟาร์ด (μF) นาโนฟาร์ด (nF) และพิโคฟาร์ด (pF) เป็นส่วนใหญ่

กรณีระบบตัวนำสองชิ้นที่มีรูปทางแบบง่ายที่มีลักษณะเหมือนกันทุกประการ เช่น ตัวนำแผ่นคู่ขนาน กว้าง y ยาว z อนันต์ที่ห่างกันเป็นระยะเท่ากับ d ดังแสดงในรูป กำหนดให้แผ่นตัวนำล่างวางที่ระนาบ z เท่ากับศูนย์และแผ่นตัวนำบนวางที่ระนาบ z เท่ากับ d มีประจุกระจายอย่างสม่ำเสมอบนตัวนำแต่ละด้าน เท่ากับ $\pm \rho_s$ ที่ตัวนำแต่ละแผ่นจึงมีสนามสม่ำเสมอ

$$E = \frac{\rho_s}{\epsilon} a_z$$

เมื่อค่าความยินยอมทางไฟฟ้าของสาร ไดอิเล็กตริกเนื้อเดียวนี้เป็น ϵ และ

$$D = \rho_s a_z$$

ประจุที่ระนาบของแผ่นตัวนำล่างต้องมีค่าเป็นบวกเนื่องจาก D มีทิศชี้ขึ้นและค่าในส่วนประกอบดังน้ำหนักของ D คือ

$$D_N = D_z = \rho_s$$

เป็นค่าที่เท่ากับความหนาแน่นประจุที่ผิวนั้นเอง ส่วนที่ระนาบตัวนำแผ่นบน

$$D_N = -D_z$$

และความหนาแน่นประจุที่ผิวนี้มีเครื่องหมายตรงกันข้ามกับที่ระนาบผิвл่าง ความต่างศักย์ระหว่าง ระนาบผิวนกับผิвл่างเป็น

$$V_0 = - \int_{upper}^{lower} E \cdot dL = - \int_d^0 \frac{\rho_s}{\epsilon} dz = \frac{\rho_s}{\epsilon} d$$

เนื่องจากผลรวมค่าของค่าประจุที่ผิวของแผ่นตัวนำแต่ละตัวมีค่าเป็นอนันต์ ค่าความจุไฟฟ้าจึงมีค่าเป็นอนันต์ด้วย การนำไปประยุกต์ใช้งานเพิ่มเติมคือการหาค่าตอบจากการพิจารณาให้พื้นที่ของแผ่นตัวนำแต่ละแผ่นมีค่าจำกัดเป็น s ซึ่งมีขนาดกว้างมากกว่า d สนามไฟฟ้าและประจุยังคงกระจายอยู่อย่างสม่ำเสมอที่ทุกจุดบนแผ่นตัวนำทั้งสองโดยละเอียดเร้นการกระจายที่ขอบของแผ่นตัวนำ ซึ่งบริเวณที่พิจารณา

นี้มีการกระจายของสนามไฟฟ้าและประจุ ทำให้ค่าประจุไฟฟาร่วมที่ได้มีเปอร์เซ็นต์ความผิดพลาดน้อยมากทำให้ผลลัพธ์สามารถหาได้จากชุดสมการต่อไปนี้

$$Q = \rho_s S$$

$$V_0 = \frac{\rho_s}{\epsilon} d$$

หรือเราอาจพิจารณาให้สมการคือค่าความจุไฟฟ้าของส่วนของระบบที่มีพื้นที่ s ในระบบกว้าง邪า ประมาณันต์และสามารถหาค่าพลังงานสะสมในตัวเก็บประจุได้ค่าเป็น

$$W_E = \frac{1}{2} \int_v \epsilon E^2 dv = \frac{1}{2} \int_0^s \int_0^d \frac{\epsilon \rho_s^2}{\epsilon^2} dz dS = \frac{1}{2} \frac{\rho_s^2}{\epsilon} S d = \frac{1}{2} \frac{\epsilon S}{d} \frac{\rho_s^2}{\epsilon^2}$$

$$W_E = \frac{1}{2} C V_0^2 = \frac{1}{2} Q V_0 = \frac{1}{2} \frac{Q^2}{C}$$

จะพบว่าพลังงานสะสมในตัวเก็บประจุที่ได้จากการคำนวณต่างศักย์ที่คงที่ต่อกันร่วมตัวเก็บประจุนั้นมีค่าเพิ่มขึ้นตามค่าคงที่โดยเล็กตริกของสารตัวกลางที่ใช้

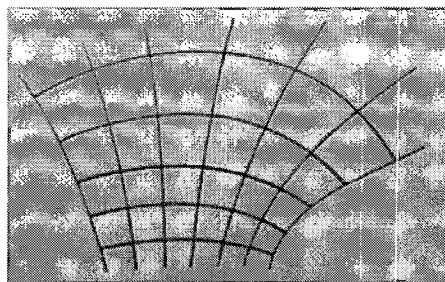
2.2.22 การใช้ภาพร่างของสนามในการประมาณค่าความจุไฟฟ้าสำหรับกรณีสองมิติ

ในการหาค่าความจุไฟฟ้าของระบบตัวนำแบบต่างๆ หากไม่สามารถอธิบายในระบบพิกัดเดียวได้ดังนั้นจำเป็นที่จะต้องใช้การวิเคราะห์แบบอื่นเข้ามาช่วย วิธีที่นิยมใช้กันมากคือวิธีการแบบคำนวณเชิงเลข(Numerical Determination)ของค่าสนามหรือศักย์ไฟฟ้านคร่างภายในบริเวณที่พิจารณา และวิธีใช้ภาพร่างเส้นสนามและผิวสมศักย์โดยให้อยู่ในรูปอ่ายง่ายในการวิเคราะห์แบบนี้จะให้ค่าความแม่นยำอย่างมากเมื่อเทียบกับวิธีที่รัดกุมยิ่งกว่า แต่ข้อดีของวิธีนี้คือสามารถคำนวณค่าความจุไฟฟ้าได้อย่างรวดเร็ว ขณะที่รูปแบบทางกายภาพของโครงสร้างสนามยังคงเป็นไปตามเงื่อนไข

คำตอบที่ได้มีค่าความแม่นยำพอสมควรเมื่อผู้ร่างภาพมีความชำนาญสามารถหาค่าความจุไฟฟ้าได้ถูกต้อง พอสมควร(มีความผิดพลาดอยู่ระหว่าง 5 ถึง 10 เปอร์เซ็นต์)ในการวิเคราะห์จำเป็นต้องทำตามกฎและขั้นตอนการคำนวณอย่างเคร่งครัดในวิธีนี้จะใช้กับกรณีที่สนามไม่แปรไปตามทิศทางที่ตั้งฉากกับระบบ ที่สำคัญที่สุดคือต้องคำนวณทุกจุดในระบบโดยไม่มีจุดใดขาดหายไป ขั้นตอนการพิจารณาเกี่ยวกับพื้นฐานหลักการประการได้แก่

1. ขอบหรือผิวของตัวนำเป็นผิวสมศักย์

2. ความเข้มสนามไฟฟ้าและความหนาแน่นฟลักซ์ไฟฟ้าตั้งฉากกับผิวสมศักย์ทั้งคู่
3. ทั้ง E และ D ตั้งฉากกับผิวของตัวนำจึงทำให้ขนาดของส่วนประกอบทางแนวนานาภัยเป็นศูนย์
4. เส้นฟลักซ์ไฟฟ้าหรือเส้นกระแส(Streamlines) มีจุดเริ่มต้นที่ตัวประจุ โดยพุ่งออกจากประจุดังนั้นในที่ว่างอิสระหรือสารไดอิเล็กตริกซ์เนื้อเดียวกัน ไม่มีประจุนั้นจะมีจุดเริ่มต้นและพุ่งออกจากรอยต่อผิwtัวนำทั้งสิ้น



ภาพที่ 2.24 ภาพวาดตัวอย่างเส้นฟลักซ์ไฟฟ้า

จากนั้นจะรวมเอาข้อกำหนดข้างต้นนำมาเขียนเส้นกระแสลงบนภาพร่างที่แสดงเป็นผิวสมศักย์ในรูปแสดงผิวอยต่อตัวนำสองผิวและเส้นสมศักย์ต่างๆที่มีค่าความต่างศักย์ระหว่างกันคงที่เราควรจำไว้ว่าเส้นเหล่านี้เป็นเพียงภาคตัดขวางของผิวสมศักย์เท่านั้นซึ่งเป็นรูปทรงกรวยบอก(แต่อาจจะไม่กลม)เนื่องจากไม่มีการเปลี่ยนแปลงใดๆในทิศทางตั้งฉากจากพื้นผิวพร่างที่ว่าด เมื่อถูกเลือกเส้นกระแสหรือเส้นฟลักซ์ที่จุด A บนผิวของตัวนำที่มีศักย์เป็นบวกมากกว่ามันจะพุ่งออกตั้งฉากกับผิวสมศักย์และต้องตัดผ่านผิวสมศักย์ระหว่างตัวนำแต่ละตัว ด้วยมุมที่เป็นจริงดังที่แสดงในรูปเส้นฟลักซ์นี้จะลากต่อไปยังอีกตัวนำหนึ่งตามกฎเพียงข้อเดียวจะได้เส้นตัดขวางกับเส้นสมศักย์เป็นรูปจัตุรัสไม่ว่าจะหมุนกระดายไปด้านไหนก็ตาม การที่จะหาค่าได้เที่ยงตรงที่สุดขึ้นอยู่กับว่าจะต้องหาดเส้นให้ได้ตัดกันตั้งฉากที่สุด ดังวิธีการเดียวกันหากจะเริ่มวดที่จุด B ถ้าจะหาดเส้นกระแสแล้วอีกเส้นหนึ่งที่มีจุดปลายอยู่ที่ B' และแบรความหมายของเส้นกระแสทั้งสองนี้นิยามของเส้นกระแสคือเส้นที่บนกันไปตลอดกับความเข้มสนามไฟฟ้าหรือความหนาแน่นฟลักซ์ไฟฟ้า เนื่องจากเส้นกระแสบนกับความหนาแน่นฟลักซ์ ดังนั้นอีกความหมายหนึ่งความหนาแน่นฟลักซ์ก็บนกับเส้นกระแสและจะไม่มีฟลักซ์ไฟฟ้าได้ตัดกับเส้นกระแสโดยถ้ามีประจุ $5 \mu C$ บนผิวระหว่างจุด A กับ B จะปรากฏว่ามีฟลักซ์ $5 \mu C$ ในบริเวณนี้และฟลักซ์ที่หมุนก็จะเชื่อมอยู่ระหว่าง A' กับ B' ด้วยคันน้ำเส้นกระแสคู่หนึ่งอาจจะเรียกว่าเป็นหลอดฟลักซ์ (Flux tube) เพราะว่าโครงสร้างทางกายภาพซึ่งทำหน้าที่เหมือนกับหลอดที่นำเอาฟลักซ์พุ่งออกจากตัวนำหนึ่งไปยังอีกตัวนำหนึ่งโดยไม่มีการรั่วไหลออกไปนอกหลอดนี้เลย ต่อไปจะวาดเส้นกระแสที่สามโดย

เริ่มต้นที่จุด C ซึ่งจะวัดได้ง่ายในความหมายทางคณิตศาสตร์ว่าจะให้จำนวนฟลักซ์ในหลอด BC เท่ากับฟลักซ์ในหลอด AB ความเข้มสนามไฟฟ้าที่จุด C ถึงกลางของเส้นที่เชื่อมระหว่างจุด A กับจุด B อาจจะหาได้จากการประมาณค่าโดยสมมติให้ค่าของฟลักซ์ในหลอด AB เป็น $\Delta\psi$ ซึ่งจะเป็น $\Delta\psi$ ความสัมพันธ์ความหนาแน่นฟลักซ์ได้เป็น $\Delta\psi / \Delta L$ เมื่อหลอดนี้มีความลึกเท่าไปในเนื้อกระดาษ 1 m ส่วน ΔL คือความยาวของเส้นที่เชื่อมจาก A ไปยัง B ขาดของ E ได้เป็น

$$E = \frac{1}{\varepsilon} \frac{\Delta\psi}{\Delta L}$$

บางครั้งอาจจะหาขนาดค่าความเข้มสนามไฟฟ้าได้โดยหารความต่างศักย์ระหว่างจุด A กับ A_1 ถ้าสมมติให้ระยะที่ว่านี้เป็น ΔL_N และหาค่าความต่างศักย์ที่มีค่าเพิ่มขึ้นสมมติเป็น ΔV ดังนั้นจะได้

$$E = \frac{\Delta V}{\Delta L_N}$$

ค่าที่หาได้นี้จะมีความเที่ยงตรงสูงสุดที่ตำแหน่งตรงกลางระหว่างจุด A กับ A_1 ในขณะที่ค่าที่มาได้ก่อนหน้านี้จะมีความเที่ยงตรงสูงสุดที่จุดกึ่งกลางระหว่างส่วนอย่างของ A ถึง B ถ้าเส้นสมศักย์ที่ว่าด้วยไอล์กันมาก (ΔV มีค่าน้อย) และเส้นกระแสเมื่อระยะห่างกันน้อยด้วย ($\Delta\psi$ มีค่าน้อย) จะพบว่าความเข้มสนามไฟฟ้าจากห้องวิธีมีค่าเท่ากัน ดังนั้น

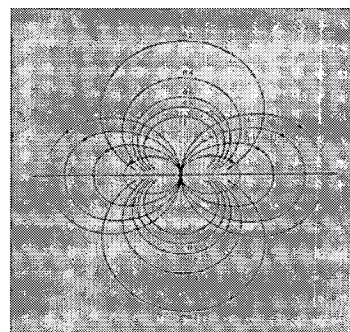
$$\frac{1}{\varepsilon} \frac{\Delta\psi}{\Delta L} = \frac{\Delta V}{\Delta L_N}$$

การวัดภารพลังที่ผ่านมาเราสมมติว่าอยู่ภายในตัวกลางของสารเนื้อเดียว (ε เป็นค่าคงที่) จะได้ความต่างศักย์ระหว่างผิวสมศักย์สองผิวใดๆ เป็นค่าคงที่และจำนวนฟลักซ์ต่อหลอดฟลักซ์เป็นค่าคงที่ด้วย ($\Delta\psi$ เป็นค่าคงที่) ด้วยความสอดคล้องจากเงื่อนไขทั้งหมดนี้จะพบว่า

$$\frac{\Delta L}{\Delta L_N} = \text{ค่าคงที่} = \frac{1}{\varepsilon} \frac{\Delta\psi}{\Delta V}$$

ตัวแปรที่เท่ากันนี้เกิดขึ้นทุกๆ จุดที่เราภาคดังนี้จึงสรุปได้ว่าอัตราส่วนที่เป็นค่าคงที่นี้จะเป็นส่วนที่ประกอบขึ้นจากระยะห่างระหว่างเส้นกระแสที่วัดจากระยะผิวสมศักย์กับระยะระหว่างเส้นสมศักย์ที่วัดตามเส้นกระแส อัตราส่วนนี้จะต้องเป็นค่าเดียวกันที่ทุกๆ จุดที่พิจารณาไม่ใช่เป็นที่ค่าความยาวระหว่างตำแหน่งใดตำแหน่งหนึ่ง ระยะความยาวที่ว่านี้จะต้องมีค่าลดลงในบริเวณที่มีความเข้มสนามมากกว่าเนื่องจาก ΔV เป็นค่าคงที่ ค่าอัตราส่วนอย่างง่ายที่นิยมใช้คือหนึ่งและเส้นกระแสจากจุด B ไปยัง B' ดังในรูปหากเริ่มต้นที่จุดซึ่งมี $\Delta L = \Delta L_N$ เนื่องจากอัตราส่วนของระยะเหล่านี้ถูกทำให้เป็นหนึ่งเส้นกระแส

และเส้นสมศักย์หารด้วยสنانที่อยู่ในบริเวณช่องสี่เหลี่ยมจัตุรัส เทอมที่มีความหมายเป็นภาพร่างเชิงระบบซึ่งแตกต่างไปจากรูปสี่เหลี่ยมจัตุรัสที่จริงเพราแต่ละด้านเป็นเส้นโค้งและมีขนาดแตกต่างกันเล็กน้อยแต่ก็จะมองเห็นเป็นสี่เหลี่ยมจัตุรัสได้ถ้าหากทำให้มีขนาดเด็กลงผิวเหล่านี้มีจำนวนเพิ่มมากขึ้นในระบบสามแคนซึ่งจะทำให้รูปแบบระบบเดียวกองเรากลายเป็นรูปจัตุรัสฐานโค้ง(Curvilinear squares) เมื่อทำการร่างเส้นกระแเสเส้นอื่นให้ครบโดยวัดให้เป็นช่องสี่เหลี่ยมจัตุรัสเพิ่มมากที่สุดเท่าที่จะทำได้ตามรูป ความแตกต่างระหว่างผลที่ได้จากแผนภาพสنانที่ใช้วิธีการวัดรูปให้เป็นจัตุรัสฐานโค้งในตัวอย่างคือการเขียนผิวศักย์ไฟฟ้าที่อยู่ตรงกลางรูปเหลี่ยมไว้ ทั้งเส้นกระแเสและเส้นสมศักย์จะต้องเขียนไว้บนภาพตอนเริ่มต้นซึ่งคาดไว้เฉพาะรอยต่อของผิwtัวนำเท่านั้น มีคำอุบเดียวที่เป็นไปได้ซึ่งอาจจะพิสูจน์ได้ในเวลาต่อมาคือทฤษฎีความเป็นหนึ่งเดียว(uniqueness theorem) สำหรับสมการคลาปลาชและกฎเริ่มต้นเมื่อเริ่มเขียนเส้นกระแเสขึ้นมาเส้นหนึ่งก็จะมีเส้นสมศักย์ลากอยู่ข้างในเมื่อลากเส้นกระแเสอื่นเพิ่มเข้าไปก็จะประกอบกันเข้าเป็นรูปจัตุรัสฐานโค้งอย่างสมบูรณ์ซึ่งอาจจะพบว่าไม่สามารถทำจัตุรัสได้อย่างถูกต้องบริเวณมุมความผิดพลาดจากการวัดจะถูกแก้ไขต่อไป



ภาพที่ 2.25 ภาพวัดเส้นกระแเสที่วัดให้ตั้งฉากกับตัวนำและประกอบเข้าเป็นจัตุรัสฐานโค้ง

2.2.23 การแพร่กระจายในตัวนำ: ปรากฏการณ์ความลึกผิว

(Propagation in good conductor : Skin effect)

ในการแพร่กระจายคลื่นแบบมีความสูญเสีย พฤติกรรมของตัวนำที่ดี(Good conductor)เมื่อมีค่าในระบบสมำ่เสมอเคลื่อนที่อยู่ในตัวมัน สารที่มีการสูญเสียสูงคือมีแทนเจนต์การสูญเสียที่ $\epsilon''/\epsilon' \gg 1$ เมื่อเอากลบที่การตัดสินนี้มาใช้กับตัวนำที่ดีจะทำให้ได้กลบที่การตัดสินเพิ่มเข้ามาคือ $\sigma/\omega\epsilon' \gg 1$ เช่นเดียวกันกับที่ได้พิจารณาการลดตอนที่เกิดขึ้นกับคลื่นที่เคลื่อนที่ผ่านเข้าไปในตัวนำที่ดี การประมาณ

ค่าแบบใหม่ในการ สำหรับการลดthon ค่าอิมพิดเอนซ์ภายในเนื้อสาร ซึ่งเป็นการปรับปรุงจากการวิเคราะห์ในตัวนำที่ดี คลื่นที่เกี่ยวข้องกับสนามแม่เหล็กไฟฟ้าที่ใส่เข้าไปในไดอิเล็กตริกซึ่งแบบติดกันที่ผิwtัวนำนี้ในกรณีคลื่นจะมีการแพร่กระจายไปตามผิว ส่วนสนามที่ปรากฏอยู่ภายในตัวนำนี้จะสูญเสียไปกับการลดthonที่กระจายออกไปในรูปของการก่อตัวเป็นสร้างเป็นค่าความนำขึ้นมา สนามทึ้งหมดนี้จะถูกลดthonเพิ่มขึ้นตามระยะทางที่เดินทางไปตามระยะทางที่เดินทางไปตามผิว ซึ่งตัวอย่างที่เห็นได้คือกลไกการสูญเสียทางความต้านทานของสายส่ง ซึ่งทำให้เกิดเป็นพารามิเตอร์ความต้านทาน R ขึ้นมา จากการพิจารณาว่าตัวนำที่ดีควรมีค่าความนำสูง และนำกระแสได้มาก พลังงานที่เกิดขึ้นในการเดินทางของคลื่นเมื่อเดินทางผ่านสารที่มีความไม่ต่อเนื่องโดยการแพร่กระจายของคลื่นนี้มีผลทำให้เกิดการสูญเสียทางค้านความต้านทาน หากพิจารณาค่าแทนเจนต์การสูญเสีย จะเห็นว่าอัตราส่วนของความหนาแน่นกระแสนำต่อกระแสกระแสจัดต่อสารตัวนำนี้กำหนดโดย σ / ω และสมการทั่วไปของค่าคงที่ในการแพร่กระจายคือ

2.3 หลักการวัดค่าทางไฟฟ้าและส่วนประมวลผล

2.3.1 การวัดค่าความจุไฟฟ้าของตัวเก็บประจุ แบบอาศัยการชายประจุของตัวเก็บประจุ(RC Time constant)

การต่อวงจรตัวเก็บประจุอนุกรมกับตัวต้านทานจะทำให้ตัวเก็บประจุ decay ประจุผ่านตัวต้านทานเมื่อสับสวิตช์จากค่าเวลาที่วัดได้จะเป็นไปตามสมการ

การประจุกระแสไฟฟ้าผ่านตัวต้านทาน R ไปยังตัวเก็บประจุ C จะเกิดขึ้นเมื่อสับสวิตช์ประจุไฟฟ้าจะมีค่าเพิ่มขึ้นและมีค่าคงที่สูงสุดอยู่ที่ค่าหนึ่งและหากให้ประจุไฟฟ้ามีค่า q ที่เวลาหนึ่ง (transient charge) เมื่อสับสวิตช์ไปอีกทางหนึ่งตัวเก็บประจุจะชายประจุผ่านตัวต้านทาน R ซึ่งทำให้กระแสไฟฟ้า I ไหลผ่านตัวต้านทาน ค่ากระแสจะหาได้จาก dq/dt จะได้ความสัมพันธ์ระหว่างความต่างศักย์ กระแสได้เป็น

$$E = V_c + iR$$

$$E = \frac{q}{C} + R \frac{dq}{dt}$$

$$\frac{dq}{dt} = \frac{E - q/C}{R} = \frac{(CE - q)}{RC}$$

$$\frac{dq}{(CE - q)} = \frac{dt}{RC}$$

ที่เวลา $t=0$, $q=0$ เมื่อเวลาผ่านไป ที่ t ใดๆ ประจุที่ตัวเก็บประจุ C มีค่าเท่ากับ q จะพบว่า

$$\int_0^q \frac{dq}{(CE - q)} = \int_0^t \frac{dt}{RC}$$

$$\int_0^q \frac{d(CE - q)}{CE - q} = -\frac{1}{RC} \int_0^t dt$$

$$\int_{CE}^{CE-q} \frac{du}{u} = -\frac{t}{RC}$$

$$\ln(CE - q) - \ln(CE) = -\frac{t}{RC}$$

$$\ln \left[\frac{CE - q}{CE} \right] = -\frac{t}{RC}$$

$$CE - q = CE e^{-t/RC}$$

$$q = CE(1 - e^{-t/RC})$$

$$V_c = E(1 - e^{-t/RC})$$

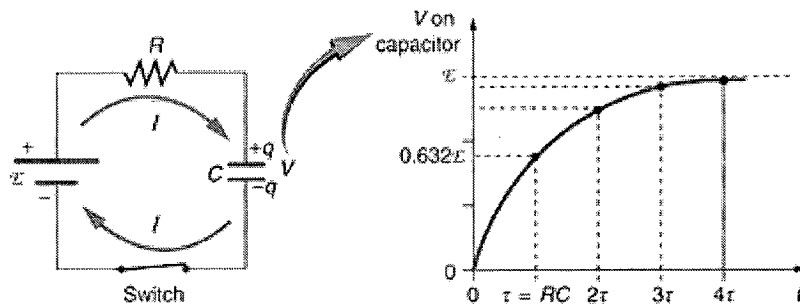
จากสมการพบว่า RC มีเทอมในส่วนของเวลา ค่า RC จะมีค่าคงที่สำหรับวงจรไฟฟ้าในแต่ละวงจรซึ่งจะเขียนค่า RC ด้วย T ซึ่งเป็นค่า time constant เมื่อ $t=RC$ จะได้สมการ

$$V_c = E(1 - e^{-1})$$

$$V_c = \frac{E(e-1)}{e}$$

$$V_c = 0.632E$$

เมื่อประจุไฟฟ้าเคลื่อนผ่านตัวต้านทาน R มาออกันอยู่ในตัวเก็บประจุเป็นเวลา $t = RC$ จะมีตัวเก็บประจุสะสมอยู่จะพบว่าความต่างศักย์คร่อมตัวเก็บประจุมีค่าเป็น $0.632E$ จากรูปจะเห็นการเปลี่ยนแปลงของ V_c ที่เวลาใดๆ



ภาพที่ 2.26 การคายประจุของตัวเก็บประจุ

ขณะที่ตัวเก็บประจุมีประจุอยู่เต็มที่จะได้ค่าความต่างศักย์คร่อมตัวเก็บประจุเท่ากับ $V_c = E$ เมื่อเกิดการคายประจุผ่านจากตัวเก็บประจุผ่าน ตัวต้านทาน R จะเกิดการไหลของกระแสไฟฟ้า $i = dq/dt$ และมีค่าความต่างศักย์คร่อมตัวเก็บประจุเท่ากับ $q/C = V_c$ จะได้ความสัมพันธ์

$$V_c + iR = 0$$

$$\frac{q}{C} = -R \frac{dq}{dt}$$

$$\frac{dq}{q} = -\frac{dt}{RC}$$

ที่เวลาเริ่มต้น $t = 0$ ประจุภายในตัวเก็บประจุมีค่าเท่ากับ Q เมื่อเวลาผ่านไป t ประจุที่สะสมที่ตัวเก็บประจุจะมีค่าเป็น q จากค่าตอบของสมการจะหาค่าได้เช่นเดียวกันกับสมการข้างต้นจะได้สมการเป็น

$$q = Q e^{-t/RC}$$

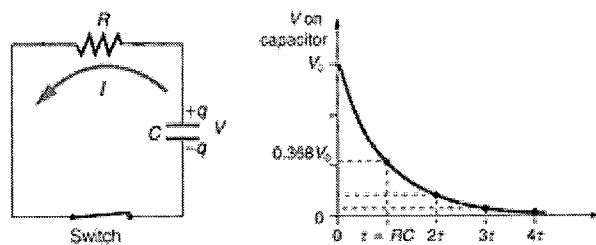
หารสมการด้วย C ทั้งสองข้างของสมการ

$$V_c = E e^{-t/RC}$$

ที่ $t = RC = T$ จะได้

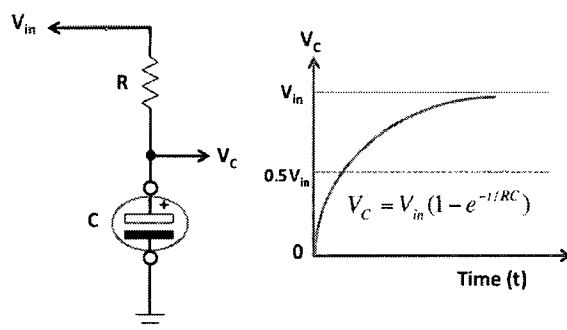
$$V_c = 0.368E$$

จะได้กราฟความสัมพันธ์ดังรูป



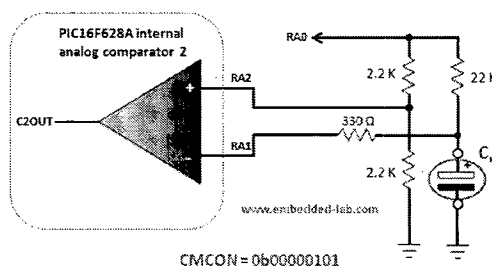
ภาพที่ 2.27 แสดงการคายประจุเมื่อสับสวิทช์

จากการเปลี่ยนแปลงของค่าประจุภายในตัวเก็บประจุข้างต้นสามารถนำมาออกแบบวงจรสำหรับวัดค่าความจุของตัวเก็บประจุได้



ภาพที่ 2.28 แสดงค่าแรงดันเมื่อทำการชาร์ทประจุ

วงจรด้านล่างเป็นหลักการวัดค่าตัวเก็บประจุโดยอาศัยวงจรคอมพาร่าเตอร์ภายในตัวไมโครคอนโทรลเลอร์ร่วมกับโมดูลไทม์เมอร์เพื่อจับเวลาและคำนวณค่าความจุของตัวเก็บประจุ



ภาพที่ 2.29 แสดงการต่อวงจรคอมพาร่าเตอร์ในขาไมโครคอนโทรลเลอร์

หลักการวัดค่าความจุไฟฟ้าโดยอาศัยการวัดค่าไฟฟ้ากระแสสลับร่วมกับวงจรบีดจ์

ในการวัดค่าความจุไฟฟ้าโดยใช้แรงดัน ac นั้นอาศัยวิธีการวัดค่าแบบบีดจ์ร่วมกับการวัดค่าโดยกระบวนการจะใช้การจ่ายไฟฟ้ากระแสสลับผ่านเข้าไปยังตัวเก็บประจุซึ่งในที่นี้อาจจะเป็นโครงสร้างแบบอินที่มีลักษณะของตัวเก็บประจุโดยการต่อขา

2.3.2 ระบบไมโครคอนโทรลเลอร์และการสั่งงาน

ในไมโครคอนโทรลเลอร์ PIC18F458 เป็นไมโครคอนโทรลเลอร์อิกเบอร์หนึ่งของตระกูล PIC (Peripheral Interface Controller) ในปัจจุบันซึ่งมีศักยภาพในการทำงานสูงและในคุณสมบัติของไมโครคอนโทรลเลอร์เบอร์นี้คือประกอบไปด้วยความสามารถหรือฟังก์ชันในการใช้งานต่างๆ ไว้ในตัวมันเอง เช่น มีโมดูล (Module) แปลงสัญญาณอะโนดลอกเป็นดิจิตอล (Analog To Digital Converter)

USART, SPI, I²C, PWM อื่นๆ มีโมดูลที่เพิ่มเติมขึ้นมาใหม่คือ Can Module, ECCP ซึ่งเป็นคุณสมบัติใหม่ของไมโครคอนโทรลเลอร์ตระกูล PIC โดยมีในไมโครคอนโทรลเลอร์ PIC18F458 และเบอร์อื่นๆ ของไมโครคอนโทรลเลอร์ตระกูล PIC 18FXXX และยังเหมาะสมต่อการใช้งานตรงที่หน่วยความจำโปรแกรมเป็นหน่วยความจำแบบแฟลช (Flash Program Memory) ซึ่งสามารถเขียนและลบข้อมูลได้ด้วยสัญญาณไฟฟ้าได้นับหลายพันครั้ง ข้อเด่นอีกประการหนึ่งของไมโครคอนโทรลเลอร์เบอร์นี้ในเรื่องความเร็ว PIC18F458 สามารถทำงานได้ที่ความถี่สัญญาณนาฬิกาสูงถึง 40 เมกะเฮิรตซ์ (MHz) มีวงจร PLL (Phase Lock Loop) ซึ่งเป็นวงจรคุณความถี่อยู่ภายในโดยสามารถเลือกโดยการโปรแกรมซอฟต์แวร์ ซึ่งสามารถคุณค่าความถี่ที่รับเข้ามาได้ถึง 4 เท่าของสัญญาณนาฬิกาจากภายนอกทั้งยังทำงานในลักษณะของไบพาส (Pipe Line) ทำให้มีความเร็วในการทำงานมากกว่าซีพียูทั่วไปที่มีค่าความถี่เดียวกัน โดยลักษณะการทำงานจะใช้สัญญาณนาฬิกาเพียง 1 หรือ 2 ไซเคิล (Cycle) ต่อคำสั่งเท่านั้น และหน่วยความจำไม่ถูกแบ่งเป็นเพจ (Page) อีกต่อไปในการเขียนโปรแกรมจึงง่ายโดยไม่ต้องเลือกแบงค์ (Bank)

คุณสมบัติของไมโครคอนโทรลเลอร์ PIC18F458

สามารถสรุปคุณสมบัติของไมโครคอนโทรลเลอร์ PIC18F458 ได้ดังนี้

มีชุดคำสั่ง 75 คำสั่ง

1. ซีพียูเป็นแบบ RISC (Reduce Instruction Set Computer)
2. เป็นซีพียู 16 บิต
3. หน่วยความจำ SRAM 1536 ไบต์ (Byte)
4. หน่วยความจำโปรแกรม 32 กิโลไบต์ (Kbyte)
5. หน่วยความจำอีพรอม 256 ไบต์
6. รับความถี่สัญญาณนาฬิกาตั้งแต่ไฟตรงถึง 40 เมกะเฮิรตซ์
7. มีวงจร PLL (Phase Lock Loop) ซึ่งคุณค่าความถี่ของสัญญาณนาฬิกา 4 เท่าของสัญญาณอินพุต
8. ตอบสนองการอินเตอร์รัพต์ (interrupt) ได้ถึง 21 แห่ง
9. มีขารับสัญญาณอินเตอร์รัพต์จากภายนอก 3 ขา คือ RB0/INT0, RB1/INT1, RB2/INT2
10. เลือกคำดับความสำคัญของการอินเตอร์รัพต์จากอุปกรณ์ต่อพ่วงได้
11. กระแสซิงก์ (Synchronous) และซอร์ส (Source) ของพอร์ต (Port) สูงสุด 25 มิลลิแอมป์
12. มีโมดูลไทเมอร์ 4 ตัวดังนี้
 - 12.1 ไทเมอร์ 0 ขนาด 8/16 บิต เป็นไทเมอร์ / เคาน์เตอร์พร้อมปรีสเกลเลอร์ 8 บิต
 - 12.2 ไทเมอร์ 1 ขนาด 16 บิต เป็นไทเมอร์ / เคาน์เตอร์พร้อมปรีสเกลเลอร์ 8 บิต
 - 12.3 ไทเมอร์ 2 ขนาด 8 บิต มีปรีสเกลเลอร์ โพสต์สเกลเลอร์ และรีจิสเตอร์ค่าบันทึก (Period Register) เป็นตัวเปรียบเทียบค่ากับไทเมอร์ 2 อ่ายุค�이ในตัว
 - 12.4 ไทเมอร์ 3 ขนาด 16 บิต เป็นไทเมอร์ / เคาน์เตอร์
13. มีโมดูล CCP (Capture/Compare/PWM) 1 ชุด ส่วนตรวจจับสัญญาณ (Capture) ขนาด 16 บิต ความละเอียดสูงสุด 6.25 นาโนวินาที ส่วนเปรียบเทียบสัญญาณ (Compare) ความละเอียดสูงสุด 100 นาโนวินาที และส่วนมอคูลชั้นทางความกว้างของพัลส์ (Pulse Width Modulation : PWM) ความละเอียดสูงสุดที่ 10 บิต
14. มีโมดูล ECCP (Enhanced Capture/Compare/PWM) 1 ชุด ทำงานคล้ายกับโมดูล CCP แต่จะต่างกันตรงที่จะใช้งานในการควบคุมมอเตอร์
15. มีโมดูล MSSP (Master Synchronous Serial Port) ใช้งานเป็นวงจรเชื่อมต่ออุปกรณ์อนุกรมทำงานได้ 2 โหมด คือ SPI และ I²C
16. มีโมดูลสำหรับอุปกรณ์ USART (Universal Synchronous Asynchronous Receiver Transmitter)

17. มีโมดูลแปลงสัญญาณแอนalog เป็นดิจิตอล (Analog To Digital Converter อยู่ภายในความละเอียด 8 บิต 8 ช่อง)

18. มีโมดูลเปรียบเทียบแรงดันแอนalog (Comparator Voltage Referent Module) ภายใน

19. สามารถเลือกโหมดการป้องกันข้อมูลได้ (Code Protection)

20. ทำงานที่ไฟเลี้ยง 2.0V ถึง 5.0V

21. สามารถโปรแกรมด้วยแรงดันไฟต่ำได้ LVP (Low Voltage Programming)

22. พิ้งก์ชั้นการทำงานโปรแกรมเป็นแบบ ICSP (In Circuit Serial Programming)

23. มีเพาเวอร์อ่อนรีเซ็ต (Power On Reset : POR) เพาเวอร์อัพไทเมอร์ (Power Up Timer : PWRT) และ ออสซิลเลเตอร์สตาร์ตอัพไทเมอร์ (Oscillator Start Up Timer : OST)

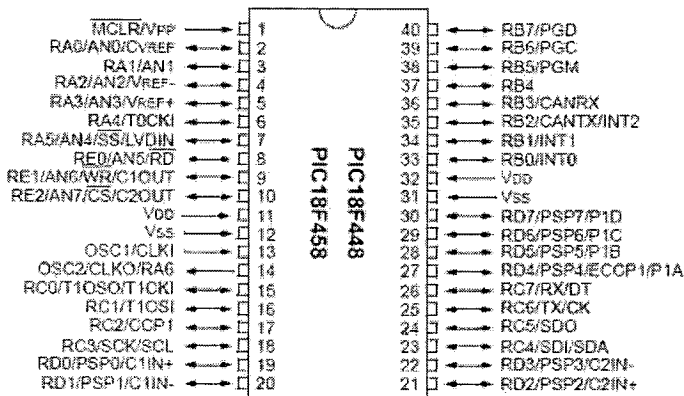
24. มีวอตช์ด็อกไทเมอร์ (Watch Dog Timer : WDT) ทำให้มีความเชื่อมั่นในการทำงานสูง

25. มีโหมดการประheyดพลังงาน (Sleep Mode)

26. มีพิ้งก์ชั้นตรวจสอบแรงดันไฟเลี้ยง (Brown Out Reset : BOR)

27. มีสแต็ก (Stack) 31 ระดับ มีพอร์ตอินพุตเอาต์พุต 5 พอร์ต คือ A,B,C,D และ E รวมแล้วพอร์ตการใช้งานทั้งหมด 34 บิต โดยพอร์ต A มีจำนวน 7 บิต RA0-RA6 พอร์ต B มี 8 บิต คือ RB0-RB7 พอร์ต C และ D มีจำนวน 8 บิต คือ RC0-RC7 และ RD0-RD7 พอร์ต E มีจำนวน 3 บิต คือ RE0-RE2

PIC18F458 มีขาทั้งหมด 40 ขาในตัวถังแบบ PDIP และ 44 ขาตัวถังแบบ TQFP ซึ่งแต่ละขาจะมีหน้าที่การใช้แตกต่างกันออกไปและมีขนาดขาอินพุตและเอาต์พุตทั้งหมด 34 ขา ซึ่งทั้ง 34 ขา สามารถเลือกใช้งานเป็นอินพุต ได้หมด ดังรูป แสดงการจัดขาตัวถังแบบ PDIP



ภาพที่ 2.30 แสดงโครงสร้างการจัดขาของไมโครคอนโทรลเลอร์ PIC18F458

ไมโครคอนโทรลเลอร์ PIC18F458 เป็นไมโครคอนโทรลเลอร์ที่พัฒนาสถาปัตยกรรมมาจากเบอร์อื่นๆ ของตระกูล PIC เช่น PIC16F877 ซึ่งถือว่ามีคุณสมบัติใกล้เคียงกันกับ PIC18F458 แต่จะต่างกันตรงมีพิกซ์ลและโมดูลต่างๆ ที่เพิ่มเติมเข้ามาและที่เห็นได้ชัดคือ PIC18F458 นี้เป็นไมโครคอนโทรลเลอร์ 16 บิต ที่มีชุดคำสั่งทั้งหมด 75 คำสั่ง ซึ่งบังไม่รวมคำสั่งไดเรกทีฟที่มากับโปรแกรม MPLAB ไมโครคอนโทรลเลอร์ PIC18F458 เป็นไมโครคอนโทรลเลอร์ที่มีสถาปัตยกรรมแบบฮาร์วาร์ด (Harvard Architecture) โดยมีลักษณะของสถาปัตยกรรมแบบนี้จะเป็นการแยกหน่วยความจำข้อมูลออกจากกันทำให้การทำงานได้เร็วขึ้นและนอกจากการจัดสถาปัตยกรรมแบบนี้จะเป็นการแยกหน่วยความจำข้อมูลออกจากกันทำงานได้เร็วขึ้นและนอกจากการจัดสถาปัตยกรรมแบบนี้แล้วในตระกูลไมโครคอนโทรลเลอร์ตระกูล PIC ยังมีลักษณะเด่นอีกอย่างหนึ่งคือมีการทำงานเป็นแบบเปปป์ไลน์ (Pipe Line) ซึ่งมีลักษณะการทำงานคือสามารถเฟลช (Fetch) คำสั่งถัดไปได้ในขณะที่กำลังอีกซิคิวต์ (Execute) อุปกรณ์ทำให้การทำงานของไมโครคอนโทรลเลอร์ PIC18F458 มีการทำงานที่เร็วขึ้น โครงสร้างจะมีบางส่วนที่คล้ายคลึงกับ PIC16F887 สิ่งที่เพิ่มเติมขึ้นมาอีกหนึ่งตัวมีขนาด 16 บิต คือไทเมอร์ 3 รวมแล้วเป็นจำนวน 4 ตัวและหน่วยความจำที่ได้เพิ่มขึ้นด้วย PIC 16F877 มีหน่วยความจำโปรแกรมเพียง 8 กิโลไบต์ หน่วยความจำข้อมูล 368 กิโลไบต์ ส่วน PIC18F458 มีมาถึง 32 กิโลไบต์ และมีหน่วยความจำข้อมูล 1536 ไบต์ สำหรับหน่วยความจำอีกหนึ่งตัวมีขนาด 256 กิโลไบต์ สถาปัตยกรรมและการทำงานของไมโครคอนโทรลเลอร์ตระกูล PIC โดยรวมแล้วจะมีส่วนการทำงานพื้นฐานที่เหมือนกัน

การทำงานของไมโครคอนโทรลเลอร์เริ่มจากการป้อนไฟล์ยังและป้อนสัญญาณนาฬิกาให้แก่ตัวมันจากนั้นซีพียูจะติดต่อกับหน่วยความจำโปรแกรม เพื่อที่จะอ่านข้อมูลคำสั่งแล้วทำงานตามคำสั่งที่บรรจุอยู่ในหน่วยความจำโปรแกรม เมื่อไมโครคอนโทรลเลอร์ทำงานตามคำสั่งที่กำหนดในข้อมูลของชุดคำสั่งจะถูกนำไปเก็บไว้ในรีจิสเตอร์คำสั่ง (Instruction Register) จากนั้นจะถูกส่งไปยังوحدةคณิตศาสตร์เพื่อทำการควบคุม ไทเมอร์ทั้งหมดภายในตัวไมโครคอนโทรลเลอร์ทำงานตามคำสั่ง (Instruction Register) จากนั้นจะถูกส่งไปควบคุมหน่วยคำนวณคณิตศาสตร์ (Arithmetic Logic Unit : ALU) โดยผ่านทางด้านวงจรแมตติเพล็กซ์ (Multiplex) ด้วยการกำหนดจังหวะการทำงานของไมโครคอนโทรลเลอร์ PIC18F458 เป็นหน้าที่ของส่วนกำหนดจังหวะการทำงาน (Timing Generation) ซึ่งจะทำงานสัมพันธ์กับไทเมอร์ 3 ตัว օอสซิลเลเตอร์สตาร์ทอปไทเมอร์ วอตซ์ดิจิตอลไทเมอร์ และเพาเวอร์ยัพไทเมอร์

การเขียนโปรแกรมบนไมโครคอนโทรลเลอร์

ในการเขียนโปรแกรมให้ไมโครคอนโทรลเลอร์ทำงานนั้นจะมีรูปแบบและเงื่อนไขในการเขียนโปรแกรมเฉพาะ โดยรูปแบบและเงื่อนไขนั้นคือภาษาที่ใช้เขียนโปรแกรมทำงานซึ่งในปัจจุบันก็มีให้เลือกใช้หลากหลายภาษาเหล้าแต่เราจะเลือกใช้ให้เหมาะสมกับงาน

ความรู้เบื้องต้นเกี่ยวกับโปรแกรมบนไมโครคอนโทรลเลอร์

ในการเขียนโปรแกรมให้ไมโครคอนโทรลเลอร์ทำงานนั้นจะมีรูปแบบและเงื่อนไขในการเขียนโปรแกรมเฉพาะ โดยรูปแบบและเงื่อนไขนั้นคือภาษาที่ใช้ในการเขียนโปรแกรมการทำงานซึ่งในปัจจุบันก็มีให้เลือกใช้หลากหลายภาษาเหล้าแต่เราจะเลือกใช้ให้เหมาะสมกับงาน

2.3.3 ภาษาของการเขียนโปรแกรม

1. ภาษาเครื่อง

ภาษาเครื่องหรือแมชชีนโคด (Machine Code) เป็นภาษาของราชฐานการทำงานของไมโครคอนโทรลเลอร์จะเป็นรหัสเลขฐาน 2 ที่บรรจุอยู่ในพื้นที่ข้อมูลภายในตัวไมโครคอนโทรลเลอร์ เป็นรหัสที่ส่วนประมวลผลจะแปลงเป็นขั้นตอนการทำงาน ซึ่งหากเราจะทำความเข้าใจถึงโครงสร้างภายใน และข้อมูลชุดคำสั่งจากโรงงานผลิตด้วย แต่โชคดีที่เราไม่เครื่องมือที่ทำให้เราแปลงจากภาษาเครื่องได้นั้นคือ ภาษาแอสเซมบลีซึ่งเราจะอธิบายถัดไป

2. ภาษาแอสเซมบลี

ภาษาแอสเซมบลี (Assembly language) เป็นภาษาที่มีระดับสูงกว่าภาษาเครื่อง โดยเราจะใช้ในการเขียนโปรแกรมเพื่อหลีกเลี่ยงการเขียนรหัสภาษาเครื่อง หมายความว่าในการเขียนโปรแกรมเราจะมีคำสั่งที่คล้ายกับภาษาของมนุษย์ในการเขียนโปรแกรม ไมโครคอนโทรลเลอร์ให้ทำงานตามขั้นตอน ซึ่งตัวโปรแกรมภาษาแอสเซมบลีจะทำหน้าที่แปลงภาษาที่มนุษย์เขียนภาษาเครื่องทำให้มีความสะดวกมากขึ้น

3. ภาษาเบสิก

ภาษาเบสิก (basic language) เป็นภาษาระดับสูงกว่าภาษาแอสเซมบลี เนื่องจากการเขียนโปรแกรมด้วยภาษาแอสเซมบลีนั้นผู้เขียนจำเป็นต้องมีความรู้การทำงานภายในของตัวไมโครคอนโทรลเลอร์อยู่บ้างทำให้ผู้จะพัฒนาโปรแกรมต้องมาศึกษาการทำงานภายใน

ไม่icrocon โทรลเลอร์ก่อนซึ่งต้องอาศัยเวลา และพื้นฐานความรู้ดังนั้นภาษาเบสิกจึงเป็นทางเลือกเพื่อ อำนวยความสะดวกในการเขียนโปรแกรม เพราะเป็นภาษาที่ง่ายมากเหมาะสมกับผู้ที่จะเริ่มก่อต้นแต่ข้อด้วย สำหรับภาษาเบสิกคือความเร็วในการทำงานของโปรแกรมค่อนข้างช้าและไม่มีค่าหยุดในการทำงาน ทำให้ในปัจจุบันไม่นิยมนำภาษาเบสิกมาเขียนโปรแกรมเพื่อพัฒนาระบบควบคุมด้วยไมโครคอนโทรลเลอร์

4. ภาษาซี

ภาษาซี (C language) เป็นภาษาระดับสูงคล้ายกับภาษาเบสิกแต่ภาษาซีจะเป็นภาษาที่มีลักษณะ เป็นโครงสร้างทำให้เกิดความมีค่าหยุดในการเขียนโปรแกรมมากกว่าภาษาเบสิก อีกทั้งความสามารถใช้ภาษาซีในการเข้าใจโครงสร้างภายในของไมโครคอนโทรลเลอร์เร็วกว่าภาษาเบสิก แต่ผู้เขียนโปรแกรม จำเป็นต้องมีความรู้และมีประสบการณ์ในการเขียนโปรแกรมแบบโครงสร้าง

จากที่กล่าวมาข้างต้นเป็นเพียงแค่ตัวอย่างของภาษาที่ใช้ในการเขียนโปรแกรมอย่างแพร่หลาย ซึ่งในปัจจุบันก็มีอีกหลายภาษาที่ถูกคิดค้นขึ้นมา หากเรามีความสนใจก็สามารถศึกษาหาข้อมูลเพิ่มเติมได้ ซึ่งในอนาคตก็คงจะมีการพัฒนาภาษาโปรแกรมใหม่มีสมรรถนะเพิ่มมากขึ้น

2.3.4 งานวิจัยที่เกี่ยวข้อง

1. การพัฒนาโตรามาตรตรวจวัดความชื้นในดินแบบอัตโนมัติ (Development of Automatic Soil Moisture Telemetry) วิชญ์ ศรีวงศ์ การประชุมวิชาการ มหาวิทยาลัยเกษตรศาสตร์ วิทยาเขต กำแพงแสน ครั้งที่ 6

2. การพัฒนาเครื่องวัดความชื้นในดินทดสอบการนำเข้าจากต่างประเทศ เพื่อจัดการดินและน้ำคลุประ ทานในดินรายอย่างมีประสิทธิภาพ (Development of Soil Moisture Meter for Improvement of Soil and Irrigation Water Management in Sandy Soil)

สมบูรณ์ มั่นความดี, ผจงจิตต์ ศรีสุข, สุภัตรา นุชนารถ

กลุ่มงานดินด้านวิทยาศาสตร์ กลุ่มวิจัยและพัฒนาด้านวิทยาศาสตร์ สำนักวิจัยและพัฒนากรมชลประทาน

3. การพัฒนาเครื่องมือวัดความชื้นในดินแบบวัดความต้านทานไฟฟ้าเพื่อการเกษตร (Development of Instrument to Measure Soil Moisture by Evaluating Electrical Resistance for Agricultural Purpose) ศักดิ์ชัย เล้าภากรณ์ วิศวกรรมทรัพยากรน้ำ มหาวิทยาลัยเกษตรศาสตร์

4. การพัฒนาอุปกรณ์สำหรับการวัดความชื้นของเนื้อลำไย โดยใช้วงจรสร้างสัญญาณนาฬิกา (Development of a Device for Moisture Measurement of Longan Flesh Using Clock Generator) คุณณัช มงคลเกิด สาขาวิชาศวกรรนพลังงาน ภาควิชาวิศวกรรมเครื่องกล คณะวิศวกรรมศาสตร์ มหาวิทยาลัยเชียงใหม่
5. โรงเพาเวอร์เดคฟางควบคุมความชื้นและอุณหภูมิด้วยไมโครคอนโทรลเลอร์ ชั้บสิทธิ์ ระดับ 1, นวัตกรรมสิงห์โภน 2, ศักดิ์ศรี แก่นสม 3, จักรตรา ใจมะสรานนท์ สาขาเทคโนโลยีไฟฟ้า คณะเทคโนโลยีอุตสาหกรรม มหาวิทยาลัยราชภัฏพระนคร